

CENTRE DE PHYSIQUE THÉORIQUE – ÉCOLE POLYTECHNIQUE

THÈSE DE DOCTORAT DE L'ÉCOLE POLYTECHNIQUE

Spécialité : **PHYSIQUE THÉORIQUE**

présentée par

Sylvain RIBAUT

pour obtenir le grade de

Docteur de l'École Polytechnique

Sujet :

*Cordes et D-branes
dans les espaces-temps courbes*

Soutenue le 20 juin 2003 devant le jury composé de :

MM. Costas Bachas,
Marios Petropoulos, directeur de thèse,
Augusto Sagnotti, rapporteur,
Volker Schomerus,
Paul Windey, rapporteur ,
& Jean-Bernard Zuber. président du jury.

Remerciements

Je suis reconnaissant à I. Antoniadis, M. Petropoulos et à tous les membres du Centre de Physique Théorique de l'École Polytechnique de m'avoir accueilli. Je remercie mon directeur de thèse, M. Petropoulos, de m'avoir suivi et encouragé tout au long de la thèse, et notamment de m'avoir donné la possibilité de modifier l'orientation des recherches dans une direction moins phénoménologique qu'initialement prévu.

Je voudrais remercier les personnes avec qui j'ai collaboré au cours de mes recherches, que ces collaborations aient donné lieu à publication ou non : C. Bachas, P. Bordalo, A. Fotopoulos, M. Petropoulos, V. Schomerus, C. Schweigert. En particulier je suis reconnaissant à C. Bachas pour ses encouragements.

Je voudrais aussi mentionner tous ceux qui, outre les rapporteurs A. Sagnotti et P. Windey, ont bien voulu me donner leur avis sur tout ou partie de ce mémoire : P. Bordalo, B. Dumézil, A. Fotopoulos, S. Fredenhagen, P. Grange, E. Kohlprath, H. Partouche, M. Petropoulos et P. Vanhove.

Enfin, je suis reconnaissant aux membres du jury de leur intérêt pour cette thèse.

Introduction

Le but de cette thèse est d'étudier les D-branes dans les espaces courbes. Cette étude doit contribuer à une meilleure compréhension de la théorie des cordes, dont les principes physiques fondamentaux restent à découvrir.

Statut de la théorie des cordes. La théorie des cordes est une tentative d'unification des interactions fondamentales de la physique, dont l'idée de base est de quantifier des objets étendus plutôt que des particules ponctuelles. Si ces objets étendus ont une taille typique bien inférieure aux échelles observables, la théorie des cordes n'en conduit pas moins à la prédiction (ou plutôt la *rétrodictio*n) de l'existence d'une force gravitationnelle obéissant à l'échelle macroscopique à la théorie de la relativité générale, et à des théories de jauge dont la structure est similaire à celles qui régissent les interactions électrofaible et forte.

Cependant, la théorie des cordes ne prédit pas de manière univoque le Modèle Standard. En effet, sa formulation dépend du choix d'un état du vide, déterminé en partie par la donnée d'un espace-temps à dix dimensions, et de nombreux choix sont cohérents dans le cadre de la théorie. Même si l'on se restreint aux choix compatibles avec la géométrie observée de l'espace-temps, avec 3+1 grandes dimensions presque plates, il en reste un nombre immense, qui correspondent à une grande diversité de théories de jauge. L'étude de tous ces vides en vue d'en sélectionner un qui correspondrait à l'univers observé, serait une tâche extrêmement fastidieuse pour autant qu'elle soit réalisable.

Le manque de prédictivité de la théorie est bien illustré par les recherches portant sur la réalisation de l'espace de de Sitter en théorie des cordes. Alors qu'il semblait exister des obstacles fondamentaux à cette réalisation, une construction à base de D-branes d'un vide de de Sitter a été proposée en janvier dernier par Kachru, Kallosh, Linde et Trivedi. La théorie des cordes semble donc pouvoir s'accommoder de la positivité de la constante cosmologique, comme de n'importe quelle autre observation physique.

La nécessité de formuler la théorie dans un espace-temps donné est également insatisfaisante au plan théorique, pour une théorie qui cherche à quantifier la théorie de la relativité générale. En effet, si l'invariance par reparamétrisation correspondant au principe d'équivalence était explicitement respectée, les degrés de liberté fondamentaux d'une telle théorie de la gravitation quantique ne devraient pas être définis dans une géométrie donnée, mais engendrer eux-mêmes la géométrie d'espace-temps comme un

concept *effectif*, valable seulement à une échelle (de longueur) suffisamment grande.

Cependant, malgré la multiplicité des problèmes ouverts, la théorie des cordes a réussi à calculer avec précision l'entropie de certains trous noirs extrémaux en les réalisant au moyen de D-branes. Ces D-branes sont des objets non perturbatifs qui ont joué un rôle essentiel dans les développements récents de la théorie, en particulier dans la formulation de conjectures de dualité qui nous ont donné accès à certains régimes non perturbatifs de la théorie des cordes. De plus, les S-branes ou branes de genre espace, qui généralisent les D-branes, sont à la base de progrès récents dans le domaine de la théorie des cordes dépendant du temps. Les D-branes pourraient donc contribuer à la formulation ultime de la théorie, au même titre que les cordes qui ont servi à la définir en premier lieu et qui lui ont donné son nom. Cependant, leur définition dépend encore de la notion de géométrie, comme l'indique l'étymologie : «brane» provient de «membrane»^{‡1}, ces membranes sont des sous-variétés de l'espace-temps où les cordes ouvertes peuvent aboutir. Toutefois, en tant qu'objets fondamentaux de la gravitation quantique, les D-branes devraient être définies indépendamment du choix d'un vide. Un premier pas dans cette direction consiste à étudier leur comportement dans divers espaces-temps courbes.

Espaces courbes et D-branes. L'étude des cordes et des D-branes n'est techniquement accessible que par un développement autour d'états du vide possédant certaines symétries. La cohérence même de la théorie exige qu'elle soit supersymétrique, et ses vides sont d'autant plus accessibles au calcul qu'ils respectent plus de supersymétries. Nous nous intéresserons dans cette thèse principalement à une autre classe de symétries, définies par un groupe continu G d'isométries de l'espace-temps et du vide en général (il ne s'agit pas ici de symétries de jauge).

La théorie des cordes dans un groupe compact G peut être résolue au moyen d'une théorie conforme rationnelle. Cette théorie décrit la dynamique de la surface d'univers (bidimensionnelle) d'une corde ; la rationalité correspond au fait que le nombre d'états physiques est fini, à cause de la compacité du groupe G . Certaines D-branes dans ce groupe, dites symétriques, peuvent être construites au moyen de résultats dus à Cardy et valables pour les théories conformes rationnelles avec bord. Ces constructions s'étendent à des D-branes présentant moins de symétries, et à des modèles quotients G/H .

^{‡1}Le D, lui, est l'initiale de Dirichlet ; on définit en effet les D-branes à partir de conditions au bord de Dirichlet pour des cordes ouvertes.

Dans le cas des groupes compacts, la géométrie des D-branes et leur dynamique sont bien comprises. Elles peuvent être étudiées au moyen de théories effectives telles que la théorie de Born-Infeld, et on peut déterminer en détail la façon dont un objet intrinsèquement «dispersé» ou «flou» acquiert une localisation géométrique précise dans la limite semi-classique. On comprend la dynamique des D-branes avec suffisamment de détail pour pouvoir espérer réaliser les différentes charges prédites par la K-théorie, dont des arguments généraux assurent qu'elle classifie les charges des D-branes.

La situation est beaucoup plus compliquée dans le cas des groupes non compacts, à cause de l'existence d'un continuum d'états asymptotiques. La théorie des cordes elle-même n'est bien comprise que dans le cas le plus simple de $SL(2, \mathbb{R})$. Ce cas est par ailleurs extrêmement intéressant, car le recouvrement universel de $SL(2, \mathbb{R})$ est AdS_3 , qui apparaît dans des vides intéressants de la théorie des cordes. AdS_3 fournit ainsi un exemple de la conjecture AdS/CFT , qui réalise dans le cadre de la théorie des cordes le principe général de la dualité holographique entre la physique dans un espace Anti-de Sitter et une théorie conforme sur son bord.

Pour étudier les D-branes dans AdS_3 , on peut d'abord généraliser les idées géométriques issues du cas compact. Par exemple, on peut s'intéresser à des D-branes préservant le même genre de symétries, ce qui permet de déterminer leur géométrie dans la limite semi-classique, pour autant que ces D-branes existent. Pour aller plus loin, il faut recourir à des théories conformes non rationnelles. Dans le cadre de ces théories, on peut formuler des contraintes qui déterminent (de manière unique) les propriétés des D-branes AdS_2 dans AdS_3 , à défaut de prouver leur existence. Cependant, le caractère minkowskien de $SL(2, \mathbb{R})$ provoque des complications supplémentaires, liées à l'existence d'états d'énergie négative.

On peut éviter ce problème en étudiant les D-branes dans le quotient euclidien $SL(2, \mathbb{R})/U(1)$. La procédure de définition d'un tel quotient est en effet la même que dans le cas compact, et on s'attend à l'existence d'une correspondance entre les D-branes dans $SL(2, \mathbb{R})/U(1)$ et les D-branes dans $SL(2, \mathbb{R})$. Ce quotient $SL(2, \mathbb{R})/U(1)$ présente par ailleurs d'autres attraits : il apparaît tout comme AdS_3 dans des vides intéressants de la théorie des cordes (des espaces créés par des NS5-branes), qui réalisent leur propre version de la correspondance holographique (qui les relie non pas à des théories conformes, mais à la «Petite Théorie des Cordes»).

Dans cette thèse, j'exposerai mes contributions aux recherches récentes sur ces sujets, dont certaines ont fait l'objet de publications reproduites en appendice. Ces contributions mettent en oeuvre des techniques géométriques ainsi que des construc-

tions de théorie conforme avec bord; elles comparent les résultats de ces deux approches pour fournir une image cohérente de certaines D-branes dans les groupes compacts, le groupe $SL(2, \mathbb{R})$, le quotient $SL(2, \mathbb{R})/U(1)$, et d'autres espaces courbes.

Plan de cette thèse. Nous commencerons par rappeler «quelques idées de théorie des cordes»(chapitre 1), et introduirons quelques propriétés essentielles des D-branes en partant d'une analogie avec les trous noirs chargés de la théorie d'Einstein-Maxwell. Nous expliquerons aussi la définition des D-branes à partir de conditions au bord de la théorie des cordes ouvertes, après avoir déduit ces conditions au bord d'un principe variationnel. Cependant, un exposé plus détaillé des techniques de la théorie conforme avec bord sera reporté au chapitre 3. En passant, nous mentionnerons quelques résultats marquants de la théorie des cordes fermées que nous utiliserons par la suite, notamment les dualités S et T. Enfin, nous présenterons l'action de Born-Infeld, qui décrit la dynamique des D-branes dans le régime géométrique.

Cette action de Born-Infeld nous servira à étudier les D-branes dans les groupes compacts et dans $SL(2, \mathbb{R})$ (chapitre 2). Nous présenterons à cette occasion les résultats publiés dans [BRS01, PR01]. Après avoir rappelé quelques propriétés des cordes fermées dans les groupes, sans omettre les complications propres à $SL(2, \mathbb{R})$, nous analyserons en détail la géométrie, la stabilité, et les positions (quantifiées) des D-branes symétriques dans les groupes compacts. Nous mentionnerons les difficultés que pose la généralisation de ces résultats aux groupes non-compacts, et traiterons explicitement l'exemple de $SL(2, \mathbb{R})$. Nous rencontrerons alors une D-brane dont la géométrie est AdS_2 , dont nous expliquerons pourquoi elle est particulièrement intéressante. Nos méthodes semi-classiques ne produisant que des résultats partiels, il deviendra nécessaire de se tourner vers la théorie conforme au bord.

C'est donc du point de vue de la théorie conforme que nous reconsidérerons les D-branes dans les groupes (chapitre 3). Nous exposerons des résultats déjà présents dans la littérature, ainsi que des contributions personnelles [Rib03b] à l'étude des D-branes AdS_2 , et une synthèse finale inspirée de [Rib02]. Après avoir exposé des résultats bien connus sur les D-branes symétriques dans les groupes compacts, dont on verra explicitement qu'ils étaient correctement reproduits par l'analyse semi-classique du chapitre précédent, nous entrerons dans le domaine de la théorie conforme non rationnelle. Nous résumerons les quelques résultats solides déjà connus au sujet des D-branes AdS_2 dans la version euclidienne d' AdS_3 (en omettant de nombreuses contributions moins convaincantes), et exploiterons ces méthodes pour déterminer le spectre

des cordes ouvertes s'étirant entre deux D-branes AdS_2 distinctes. Ce calcul sera confirmé par l'évaluation de l'amplitude du cylindre correspondante. Il nous fournira l'occasion d'évaluer la portée des hypothèses d'analyticité qui sont à la base des résultats connus sur les théories conformes non rationnelles.

Le résultat du calcul du spectre des cordes ouvertes étirées entre certaines D-branes AdS_2 suggère une interprétation naturelle en termes de «D-branes dans $SL(2, \mathbb{R})/U(1)$ » (chapitre 4). Les résultats que nous présenterons dans ce chapitre n'ont pas encore été publiés, à l'exception bien sûr des faits standard sur les modèles de Wess-Zumino-Witten jaugés et leurs D-branes, que nous rappellerons. Pour étudier les D1-branes et les D2-branes dans $SL(2, \mathbb{R})/U(1)$, dont l'existence est révélée par l'analyse semi-classique, nous supposerons qu'elles «descendent» des D-branes AdS_2 dans l' AdS_3 Euclidien traitées dans le chapitre précédent. Nous préciserons bien sûr en quoi consiste cette «descente», avant d'en déduire les états de bord et le spectre des D-branes en question. Nous verrons notamment comment les complications potentielles dues aux états discrets sont évitées.

Une application naturelle de ces constructions concerne les D3-branes dans certains espaces de NS5-branes (chapitre 5). Nous présenterons des résultats sur ces D3-branes en partie publiés dans [Rib03a]. En chemin, nous ferons une digression technique pour reformuler géométriquement la dynamique semi-classique des D-branes. Cette reformulation était à l'origine motivée par le problème de l'évaluation des corrections dérivatives à l'action de Born-Infeld, et nous servira à étudier les D3-branes dans le contexte général d'espaces créés par des NS5-branes. La dynamique de Born-Infeld équivaut dans ce cas à une condition de préservation de la supersymétrie, ce qui nous conduira à une relation générale entre ces D3-branes et certaines D1-branes, que nous attribuerons à l'effet Myers. Enfin, nous indiquerons lesquelles de ces D3-branes sont reliées à nos D-branes dans $SL(2, \mathbb{R})/U(1)$.

Le chapitre 6 sera consacré à la conclusion et présentera des perspectives ouvertes par les résultats de cette thèse.

La présente introduction est suivie d'un Lexique, qui rappelle la traduction anglaise de certains termes techniques peu courants dans la littérature francophone.

Lexique

<i>une théorie cohérente</i>	a consistent theory
<i>une condition de collage</i>	a gluing condition
<i>le bord</i>	the boundary
<i>la masse</i>	the bulk
<i>la symétrie de croisement</i>	crossing symmetry
<i>une coupure</i>	a branch cut
<i>un état tordu</i>	a twisted state
<i>la Petite Théorie des Cordes</i>	Little String Theory
<i>un espace de NS5-branes</i>	an NS5-brane background

Table des matières

1	Quelques idées de théorie des cordes	15
1.1	Théorie des cordes et supergravité	15
1.1.1	Des généralisations supersymétriques de la Relativité Générale	15
1.1.2	Les cordes fondamentales	18
1.1.3	Dualités perturbatives et non-perturbatives	21
1.2	Branes et trous noirs	23
1.2.1	Solitons, singularités et objets étendus	23
1.2.2	Quelques propriétés des p -branes noires	25
1.3	D-branes et bouts de cordes ouvertes	26
1.3.1	Le bord de la surface d'univers	26
1.3.2	L'action effective des D-branes	29
1.3.3	D-branes superposées	30
2	Groupes, D-branes et action de Born-Infeld	33
2.1	Cordes fermées dans les variétés de groupes	34
2.1.1	Le modèle de Wess-Zumino-Witten	34
2.1.2	Les cordes fermées dans $SL(2, \mathbb{R})$	37
2.2	D-branes symétriques dans les groupes compacts	40
2.2.1	D-branes et classes de conjugaison	41
2.2.2	Topologie des D-branes et quantification	44
2.2.3	Propriétés physiques et stabilisation par le flux	49
2.3	Quelques généralisations	53
2.3.1	Groupes non compacts, le cas de $SL(2, \mathbb{R})$	53
2.3.2	Propriétés des D-branes AdS_2 dans AdS_3	57
2.3.3	Cordes ouvertes sur les D-branes AdS_2	59

3	Groupes, D-branes et théorie conforme	63
3.1	D-branes symétriques dans les groupes compacts (II)	64
3.1.1	Groupes compacts et théorie conforme rationnelle	64
3.1.2	Solutions de Cardy et branes symétriques	66
3.2	D-branes dans l' AdS_3 Euclidien	70
3.2.1	Cordes fermées dans H_3	70
3.2.2	États de bord des D-branes AdS_2	72
3.2.3	Les branes compactes dans H_3	75
3.3	Cordes ouvertes et D-branes AdS_2 dans H_3	76
3.3.1	La contrainte de factorisation	77
3.3.2	Le spectre des cordes ouvertes	78
3.3.3	Le diagramme du cylindre	81
3.3.4	Application aux D-branes AdS_2 dans AdS_3	83
4	D-branes dans le cigare $SL(2, \mathbb{R})/U(1)$	85
4.1	Les modèles de Wess-Zumino-Witten jaugés	85
4.1.1	Constructions générales	86
4.1.2	Cordes fermées dans $SL(2, \mathbb{R})/U(1)$	87
4.1.3	Cordes et D-branes dans les quotients compacts	91
4.2	Résultats semi-classiques sur les D-branes dans $SL(2, \mathbb{R})/U(1)$	93
4.2.1	La géométrie des D-branes	94
4.2.2	Les états liés D2-D0	98
4.2.3	Le spectre et les enroulements demi-entiers	98
4.3	Construction d'états de bord	101
4.3.1	Les D1-branes	101
4.3.2	Les D2-branes qui recouvrent le cigare	103
5	Variations sur le thème D3/NS5	107
5.1	D-branes et jeux de construction	107
5.1.1	Branologie	108
5.1.2	Constructions à base de NS5-branes	109
5.2	Actions effectives et géométrie	110
5.2.1	Géométrie riemannienne des surfaces plongées	111
5.2.2	Corrections gravitationnelles et courbure extrinsèque	112

5.2.3	Une généralisation non commutative de la seconde forme fon- mentale	113
5.3	L'origine des D3-branes	116
5.3.1	Les espaces de NS5-branes	116
5.3.2	Le cas des D3-branes	117
5.3.3	Le comportement qualitatif des D3-branes	120
5.4	Des D-branes remarquables	122
6	Conclusion	127

Chapitre 1

Quelques idées de théorie des cordes

Nous allons présenter dans ce chapitre les notions essentielles de théorie des cordes dont nous aurons besoin par la suite. Nous ne donnerons pas de références, l'essentiel de ces notions étant bien connu et traité dans le livre de Polchinski [Pol98]. Un autre texte d'introduction, plus spécifiquement orienté vers les cordes ouvertes qui nous intéresseront particulièrement, est l'article d'Angelantonj et Sagnotti [AS02].

Notre présentation sera beaucoup plus fonctionnelle qu'historique : ainsi, alors que la théorie des cordes est née d'une tentative de décrire les interactions fortes, nous insisterons plus sur les aspects gravitationnels dont la découverte est pourtant ultérieure.

L'attraction gravitationnelle se manifeste géométriquement par la courbure de l'espace-temps. Les espace-temps courbes peuvent être remarquables pour leurs propriétés algébriques, comme les symétries de groupes, ou pour des propriétés analytiques, comme des singularités et des horizons. Ces singularités et ces horizons sont déjà prédits par la théorie de la relativité générale, que la théorie des cordes englobe, tout comme elle entend englober le Modèle Standard, qui décrit les autres interactions fondamentales. Nous allons donc brièvement introduire ces phénomènes gravitationnels dans le cadre de la relativité générale, avant de passer à la théorie des cordes.

1.1 Théorie des cordes et supergravité

1.1.1 Des généralisations supersymétriques de la Relativité Générale

La théorie de la Relativité Générale décrit la force de gravitation au moyen de la *métrique de l'espace-temps*, un tenseur symétrique à deux indices $g_{\mu\nu}$. Les fluctuations

de la métrique décrivent les ondes gravitationnelles, qui transmettent l'attraction gravitationnelle, et la structure de tenseur permet d'écrire des équations invariantes par reparamétrisation, ce qui réalise le principe d'équivalence. Ainsi, la dynamique de la métrique est dictée par la seule action invariante par reparamétrisation que l'on puisse construire avec au maximum deux dérivées de la métrique, ^{‡1}

$$S^{\text{RG}}(g_{\mu\nu}) = \frac{1}{16\pi G} \int d^4x^\mu \sqrt{-\det g_{\mu\nu}} (R(g_{\mu\nu}) - 2\Lambda). \quad (1.1)$$

Nous n'avons pas omis la *constante cosmologique* Λ , que nous nous empresserons cependant d'oublier car nous ne traiterons pas de cosmologie. L'expression $R(g_{\mu\nu})$ désigne la *courbure scalaire* de la métrique $g_{\mu\nu}$, c'est-à-dire la courbure associée à la *connection métrique* ∇

$$\Gamma_{\mu\nu}^\rho(g) = \frac{1}{2} g^{\rho\sigma} (\partial_\mu g_{\nu\sigma} + \partial_\nu g_{\mu\sigma} - \partial_\sigma g_{\mu\nu}). \quad (1.2)$$

On peut tenir compte de la présence de matière dans l'espace-temps en ajoutant des termes à l'action S^{RG} . Par exemple, le champ électromagnétique $F_{\mu\nu} = \nabla_\mu A_\nu - \nabla_\nu A_\mu$ est décrit par l'action d'Einstein-Maxwell,

$$S^{\text{EM}} = \frac{1}{16\pi G} \int d^4x^\mu \sqrt{-\det g_{\mu\nu}} R(g_{\mu\nu}) - \frac{1}{4} \int d^4x^\mu \sqrt{-\det g_{\mu\nu}} F_{\mu\nu} F^{\mu\nu}. \quad (1.3)$$

Notons que les coefficients des deux termes de cette action sont indépendants.

Une bonne façon d'étudier les propriétés physiques d'un espace-temps défini par sa métrique $g_{\mu\nu}$ est de considérer les trajectoires de particules-test, c'est-à-dire de points matériels dont on néglige qu'ils courbent l'espace-temps sur leur passage. Une telle particule de masse m et de charge q , se mouvant sur une ligne de l'espace-temps paramétrée par $x^\mu(\tau)$, est décrite par l'action ^{‡2}

$$S^{\text{test}}(x^\mu(\tau)) = m \int d\tau \sqrt{-\det \hat{g}} + q \int d\tau \hat{A}. \quad (1.4)$$

Le fait qu'il s'agisse d'une particule-test signifie que l'on utilise seulement S^{EM} pour déterminer la configuration des champs $g_{\mu\nu}$ et A_μ , et non $S^{\text{EM}} + S^{\text{test}}$. Autrement dit, m et q sont suffisamment petits.

La théorie de la relativité générale est cependant notoirement difficile à quantifier. Techniquement, elle est non-renormalisable. Comme sa structure est dictée de manière

^{‡1}Dans cette équation, l'espace-temps à quatre dimensions est muni de coordonnées x^μ , la métrique a pour signature $(-1, 1, 1, 1)$ donc son déterminant est négatif, et G est la constante de la gravitation.

^{‡2}Les tenseurs et formes induits sur la ligne d'univers de la particule-test sont désignés par \hat{g} et \hat{A} .

essentiellement unique par des principes de symétrie, on ne peut la modifier de façon fondamentale qu'en changeant ces mêmes principes. Sous des hypothèses physiques raisonnables, la seule extension possible de la symétrie locale de Lorentz est la supersymétrie. Les extensions supersymétriques connues de la théorie de la relativité générale comportent d'ailleurs des champs de jauge et sont donc des extensions de la théorie d'Einstein-Maxwell. Par exemple, l'action du secteur bosonique des théories de supergravité de type II à dix dimensions est ^{‡3}

$$\begin{aligned}
S^{\text{IIA/IIB}} &= \frac{1}{G_{(10)}} \int d^{10}x^\mu \sqrt{-\det g} e^{-2\Phi} \left(R(g) + 4(\partial\Phi)^2 - \frac{1}{12}(dB)^2 \right) \\
&- \frac{1}{G_{(10)}} \int d^{10}x^\mu \sqrt{-\det g} \sum_{p \text{ pair/impair}} \frac{1}{2(p+2)!} (dC^{(p+1)})^2. \quad (1.5)
\end{aligned}$$

Dans ces théories de supergravité, la supersymétrie se traduit d'abord par la présence, outre la métrique, d'autres champs bosoniques : le dilaton Φ , la deux-forme de NS-NS $B_{\mu\nu}$, et les champs de Ramond-Ramond $C^{(p+1)}$ (où $p+1$ est le degré). Nous avons omis tout le secteur fermionique : $S^{\text{IIA/IIB}}$ est l'action des configurations dont les champs fermioniques sont nuls. Une autre conséquence notable de la supersymétrie est l'égalité des coefficients des deux termes de l'action. Alors que les couplages gravitationnels et de jauge étaient indépendants dans l'action d'Einstein-Maxwell, les secteurs analogues de la supergravité ont le même couplage, que nous avons noté $G_{(10)}$. Plus précisément, nous faisons ici une analogie entre les champs de Ramond-Ramond $C^{(p+1)}$ et le potentiel électromagnétique A_μ , et nous considérons le dilaton et la forme $B_{\mu\nu}$ comme faisant partie du secteur gravitationnel, au même titre que la métrique. Cette interprétation sera justifiée par la structure du spectre des cordes fermées, les transformations de T-dualité et autres effets de cordes. En outre, une interprétation géométrique du champ $B_{\mu\nu}$ est suggérée par l'égalité

$$R(g) - \frac{1}{12}(dB)^2 = R(\Gamma) \quad , \quad \Gamma_{\mu\nu}^\rho = \Gamma(g)_{\mu\nu}^\rho - \frac{1}{2}(dB)_{\mu\nu}^\rho. \quad (1.6)$$

Autrement dit, la contribution du champ $B_{\mu\nu}$ dans l'action de la supergravité peut être prise en compte au moyen d'un terme de torsion ajouté à la connexion métrique.

L'algèbre de supersymétrie des théories de supergravité de type II est engendrée par 32 générateurs (au même titre que les translations sont engendrées par 10 générateurs).

^{‡3}Nous omettons ici les termes de Chern-Simons. Nous ignorons aussi des subtilités liées à l'auto-dualité de la 5-forme $dC^{(3+1)}$ dans le cas de la théorie de type IIB.

Une solution donnée des équations du mouvement de ces théories préserve ou non une partie de cette algèbre. La préservation de certaines supersymétries se traduit par des conditions sur les champs bosoniques $G_{\mu\nu}, B_{\mu\nu}\dots$ (en effet, ces champs interviennent dans les transformations de supersymétrie des champs fermioniques, que nous avons supposés nuls). Par exemple, on peut rechercher des solutions de la supergravité de type II telles que tous les champs soient nuls sauf la métrique, qui se factorise en une métrique plate à 3+1 dimensions et une métrique compacte Euclidienne à 6 dimensions. Si, en plus de l'invariance de Lorentz de la métrique plate, nous voulons que la configuration préserve une algèbre de supersymétrie $\mathcal{N} = 2$ à 3+1 dimensions (et soit sans singularités), la métrique compacte en question doit être celle d'un espace de Calabi-Yau. Alors 8 des 32 supersymétries des théories de type II sont préservées. Ainsi, les symétries physiques de la théorie se traduisent par des structures géométriques. Mais les configurations faisant appel à d'autres champs que la seule métrique sont souvent plus difficiles à interpréter géométriquement.

Cependant, les théories de supergravité se trouvent être non-renormalisables elles aussi. Mais leur non-renormalisabilité n'a de signification que si on les considère comme des théories fondamentales supposées décrire la physique au niveau microscopique. Nous allons maintenant traiter de théories des cordes, dont les variables microscopiques sont des objets à une dimension et dont les champs effectifs à basse énergie sont précisément ceux des théories de supergravité.

1.1.2 Les cordes fondamentales

Nous allons considérer des théories des cordes, dont les champs microscopiques sont des cordes à une dimension plongées dans un l'espace-temps. Lors de leur évolution au cours du temps, une corde décrit une *surface d'univers* bidimensionnelle. Dans la théorie décrivant la dynamique de cette surface d'univers, les champs d'espace-temps $g_{\mu\nu}, B_{\mu\nu}$, etc jouent le rôle de couplages, de même que la métrique $g_{\mu\nu}$ et le potentiel électromagnétique A_μ dans la théorie de la particule-test (1.4). Si nous choisissons une configuration où tous ces champs d'espace-temps sont nuls, sauf $g_{\mu\nu}, B_{\mu\nu}$ et Φ , l'action

de notre corde-test est l'action de Polyakov ^{‡4}

$$S^P(X^\mu(\sigma^i), \gamma_{ij}) = \frac{1}{4\pi\alpha'} \int d^2\sigma^i \sqrt{-\det \gamma} (\gamma^{ij} g_{\mu\nu} \partial_i X^\mu \partial_j X^\nu + \epsilon^{ij} B_{\mu\nu} \partial_i X^\mu \partial_j X^\nu + \alpha' \Phi R^{(2)}(\gamma)). \quad (1.7)$$

Nous avons introduit un paramètre α' , qui a la dimension d'une surface; $\frac{1}{2\pi\alpha'}$ s'interprète comme la *tension* de la corde-test, qui généralise la masse d'un objet ponctuel. Pour obtenir une théorie supersymétrique, il faudrait tenir compte des fermions qui sont les partenaires supersymétriques des champs $X^\mu(\sigma_i)$, et ajouter les termes correspondants à l'action. Avec ou sans supersymétrie, ce genre d'action décrit un *modèle sigma*. Une propriété essentielle de ce modèle est l'invariance conforme sur la surface d'univers, qui généralise l'invariance de l'action de la particule-test par reparamétrisation de la ligne d'univers. Les transformations conformes sont en général définies comme les reparamétrisations locales qui laissent la métrique (ici γ_{ij}) invariante modulo un changement d'échelle (ici $\gamma_{ij} \rightarrow \lambda(\sigma_i)\gamma_{ij}$). À deux dimensions, la symétrie conforme est décrite par une algèbre de dimension infinie, l'algèbre de Virasoro \mathcal{V} engendrée par L_m , $m \in \mathbb{Z}$:

$$[L_m, L_n] = (m - n)L_{m+n} + \frac{c}{12}m(m^2 - 1)\delta_{m+n}. \quad (1.8)$$

Nous avons introduit ici la *charge centrale* c , un nombre qui vaut zéro au niveau classique, mais dont la valeur, après quantification de la théorie, dépend des champs d'espace-temps et en particulier de la dimension de l'espace-temps. De même, s'il est facile de constater que le prolongement supersymétrique de l'action de Polyakov est invariant conforme au niveau classique pour tous champs $g_{\mu\nu}, B_{\mu\nu}, \dots$, l'absence d'anomalie quantique à l'invariance conforme pose des conditions sur les champs d'espace-temps. Ces conditions sont l'annulation des fonctions β associées aux couplages du modèle sigma, c'est-à-dire aux champs d'espace-temps. Ces fonctions β se calculent perturbativement en α' , et à l'ordre le plus bas, leur annulation équivaut aux équations du mouvement d'une théorie de supergravité (avec la condition que la dimension de l'espace-temps soit dix).

À une échelle d'énergie très petite par rapport à $\frac{1}{\sqrt{\alpha'}}$, la théorie des cordes sur une surface d'univers donnée est donc décrite par les champs et la dynamique de la supergravité. Des corrections apparaissent à l'échelle $\frac{1}{\sqrt{\alpha'}}$, qui s'identifie donc avec l'échelle

^{‡4}La surface d'univers est paramétrée par $X^\mu(\sigma^i)$ et par sa métrique γ_{ij} , dont on note $R^{(2)}$ la courbure scalaire.

de la gravité quantique M_{Pl} (la masse de Planck). Ces corrections sont des termes additionnels dans l'action de la supergravité, comportant plus de dérivées (et, pour des raisons dimensionnelles, autant de facteurs $\sqrt{\alpha'}$ que de dérivées supplémentaires), et de nouveaux champs.

Les champs qui apparaissent à cette échelle s'obtiennent à partir du spectre du modèle sigma associé à l'espace plat. Ce spectre contient tout d'abord des états de masse nulle qui s'identifient aux champs de la supergravité. En effet, ces champs sont les couplages du modèle sigma, et leur variation infinitésimale correspond à une petite déformation de ce modèle. Ainsi, une variation infinitésimale de la métrique, un *graviton*, est un champ de spin deux et de masse nulle. On l'observe effectivement dans le spectre. Ensuite, le spectre contient des champs massifs dont les plus légers ont pour masse $\frac{1}{\sqrt{\alpha'}}$ (il s'agit de la seule échelle de masse disponible dans la définition du modèle sigma). La masse n'est pas bornée, il y a une infinité de champs massifs dans le spectre. Tous ces champs sont trop massifs pour être observables dans les accélérateurs de particules, mais contribuent à la cohérence de la théorie des cordes (par opposition à la non-renormalisabilité de la supergravité). Si l'on cherche à relier la théorie des cordes au modèle standard, on doit donc identifier les champs de ce dernier avec des champs de masse nulle, supposés acquérir une masse (petite par rapport à M_{Pl}), par exemple par la brisure de la supersymétrie.

L'intégrale de chemin de la théorie des cordes porte en principe sur toutes les configurations possibles de la surface d'univers, et en particulier sur des configurations de topologies variables. La topologie d'une surface à deux dimensions est trahie par la quantité

$$\int d^2\sigma^i \sqrt{-\det \gamma} R^{(2)}, \quad (1.9)$$

qui apparaît dans l'action eq. (1.7) si l'on suppose le dilaton Φ constant. Chaque boucle de la surface d'univers apporte donc un facteur e^Φ à l'intégrale de chemin. Cette quantité $g_s = e^\Phi$ s'appelle la *constante de couplage des cordes*^{‡5} et régit les interactions de l'hypothétique théorie d'espace-temps dont les champs seraient les états du spectre du modèle sigma, et dont la limite de basse énergie serait une théorie de supergravité.

^{‡5}Si e^Φ n'est pas constant, on l'écrit avec un facteur constant g_s .

1.1.3 Dualités perturbatives et non-perturbatives

Considérons le modèle sigma associé à l'espace-temps plat. Si la surface d'univers est Euclidienne et a la topologie d'une deux-sphère, la symétrie de reparamétrisation et l'invariance conforme permettent de choisir une métrique plate,

$$\gamma_{ij}d\sigma^i d\sigma^j = dz d\bar{z}. \quad (1.10)$$

L'équation du mouvement du champ $X^\mu(z, \bar{z})$ est alors $\partial\bar{\partial}X^\mu = 0$. Les solutions sont

$$X^\mu(z, \bar{z}) = X_G^\mu(z) + X_D^\mu(\bar{z}). \quad (1.11)$$

Les solutions se «factorisent» donc en deux secteurs indépendants (Gauche et Droit). Cette propriété contribue à rendre la théorie des cordes en espace plat simple et accessible au calcul. Nous verrons qu'elle tient également dans d'autres espaces-temps, comme les variétés de groupes.

En théorie conforme, on considère dans un premier temps les variables z et \bar{z} comme indépendantes, ce qui permet d'étudier séparément les secteurs G et D comme des théories bidimensionnelles, et on impose ensuite des contraintes reliant les deux secteurs pour déterminer les quantités physiques, dont le spectre. Ainsi, chaque secteur jouit de sa propre algèbre de Virasoro (1.8).

Considérons maintenant, dans une direction $\mu = 0$ donnée, la transformation de *T-dualité* :

$$X^0(z, \bar{z}) \rightarrow X_G^0(z) - X_D^0(\bar{z}). \quad (1.12)$$

Ce simple changement de variable n'affecte pas le spectre du modèle sigma. Il en modifie cependant l'interprétation en termes d'espace-temps. Par exemple, considérons les états les plus légers de la théorie des cordes dans un cercle de rayon R décrit par une coordonnée X périodique, $X = X + 2\pi R$. Ces états correspondent aux configurations suivantes du champ $X(\sigma, \tau)$ du modèle sigma :

$$X = \frac{2\pi\alpha'}{R}n\tau, \quad n \in \mathbb{Z}, \quad (1.13)$$

est un état d'impulsion quantifiée n/R . Il ne dépend pas de σ et a donc un sens même dans le cas d'une particule ponctuelle. En revanche, l'existence d'*états d'enroulement*,

$$X = 2\pi R w \sigma, \quad w \in \mathbb{Z}, \quad (1.14)$$

est un effet purement cordiste, dû au fait que la corde peut à un instant donné s'enrouler autour d'un cercle donné. On peut facilement constater que la transformation de T-dualité dans la direction de X échange les états d'impulsion avec les états d'enroulement, tout en préservant la structure du spectre (et notamment la masse des états). Cet échange revient à inverser le rayon R de la coordonnée X ,

$$R \rightarrow \frac{2\pi\alpha'}{R}. \quad (1.15)$$

De façon équivalente, on constate que la T-dualité dans une direction X^0 change le signe de la composante δg_{00} du graviton, c'est-à-dire de la fluctuation de la métrique, qui apparaît dans le spectre des cordes fermées. On peut généraliser ces observations, et interpréter la T-dualité comme une transformation des champs d'espace-temps. Étant donnée une direction compacte 0 correspondant à une symétrie des champs d'espace-temps ^{‡6}, la transformation des champs de Neveu-Schwarz $g_{\mu\nu}, B_{\mu\nu}, \Phi$ peut s'écrire :

$g'_{00} = g_{00}^{-1}$	$g'_{\mu 0} = g_{00}^{-1} B_{\mu 0}$	$g'_{\mu\nu} = g_{\mu\nu} - g_{00}^{-1} (g_{\mu 0} g_{\nu 0} - B_{\mu 0} B_{\nu 0})$	(1.16)
$e^{2\Phi'} = g_{00}^{-1} e^{2\Phi}$	$B'_{\mu 0} = g_{00}^{-1} g_{\mu 0}$	$B'_{\mu\nu} = B_{\mu\nu} - g_{00}^{-1} (B_{\mu 0} g_{\nu 0} - B_{\nu 0} g_{\mu 0})$	

Cette transformation est non perturbative du point de vue du modèle sigma, car elle inverse le couplage g_{00} , mais perturbative du point de vue de la théorie des cordes : si $g_s = e^\Phi$ est petit alors $g'_s = e^{\Phi'}$ l'est aussi. La transformation (1.16) est une symétrie des théories de supergravité, en ce sens qu'elle échange les théories de type IIA et IIB^{‡7}. Mais, comme elle provient d'une symétrie du modèle sigma, elle doit s'étendre à toute la théorie des cordes. En particulier, cela veut dire que les corrections dérivatives à la supergravité doivent vérifier une symétrie de T-dualité, qui à l'ordre le plus bas en α' se réduit à la transformation (1.16).

Dans un espace-temps donné, si l'on considère l'ensemble des T-dualités correspondant aux symétries, que l'on ajoute certaines reparamétrisations et certaines transformations de jauge du champ $B_{\mu\nu}$, et que l'on prend en compte les conditions de quantification (par exemple la quantification de l'impulsion dans une direction compacte), on engendre un groupe (discret) de T-dualité. Par exemple, le groupe de T-dualité du tore à d dimensions T^d est $O(d, d, \mathbb{Z})$.

^{‡6}C'est-à-dire $\frac{\partial}{\partial X^\sigma}$ est un vecteur de Killing de la métrique, Φ ne dépend pas de X^0 , etc.

^{‡7}Cela ne peut naturellement pas se voir dans les transformations des champs du secteur de Neveu-Schwarz, qui est commun aux deux théories.

La théorie des cordes de type IIB jouit de plus d'une symétrie de dualité non perturbative conjecturée, qui inverse le couplage des cordes $g_s = e^\Phi$. Comme la T-dualité, cette S-dualité est une symétrie de la supergravité. Rappelons que la supergravité de type IIB comporte des champs de Ramond-Ramond $C^{(0)}, C^{(2)}, C^{(4)}$. Nous nous contenterons de citer une transformation de S-dualité dans le cas où $C^{(0)} = C^{(4)} = 0$,

$$\begin{array}{|c|c|} \hline e^{\Phi'} = e^{-\Phi} & B'_{\mu\nu} = C_{\mu\nu}^{(2)} \\ \hline g'_{\mu\nu} = e^{-\Phi} g_{\mu\nu} & C_{\mu\nu}^{(2)'} = -B_{\mu\nu}^{(2)} \\ \hline \end{array} \quad (1.17)$$

Si l'on admet que cette dualité non perturbative est une symétrie de la théorie des cordes, comme l'y incitent de nombreuses vérifications dans des cas particuliers, alors elle nous informe sur le régime de fort couplage, inaccessible à la théorie perturbative. En particulier, les états perturbatifs correspondent par S-dualité à des objets non perturbatifs. Nous allons maintenant introduire certains de ces objets.

1.2 Branes et trous noirs

1.2.1 Solitons, singularités et objets étendus

Nous avons introduit les théories de supergravité comme des généralisations de la théorie de la relativité générale. Dans cette dernière, on connaît des objets solitoniques, décrits par des configurations singulières de la métrique : les trous noirs. Un trou noir peut se former lors de l'effondrement gravitationnel d'un objet suffisamment dense. A fortiori, un objet infiniment dense comme une particule ponctuelle massive doit créer un trou noir. Ainsi, si l'on prend en compte l'action de la particule-test S^{test} dans la dynamique de la métrique, les termes à ajouter aux équations du mouvement d'Einstein-Maxwell se comportent comme des sources, et les solutions de ces équations sont la métrique et le champ électromagnétique d'un trou noir éventuellement chargé. Par exemple, la métrique et le champ électromagnétique du trou noir de Reissner-Nordström à 3+1 dimensions sont :^{‡8}

$$ds^2 = -\frac{(r-r_+)(r-r_-)}{r^2} dt^2 + \frac{r^2}{(r-r_+)(r-r_-)} dr^2 + r^2 d\Omega_2^2, \quad F = \frac{Q}{r^2} dt \wedge dr. \quad (1.18)$$

Ce trou noir correspond à un objet ponctuel, en ce sens qu'à tout instant t donné la métrique de l'espace à trois dimensions $t = \text{constante}$ a une symétrie sphérique.

^{‡8}Les positions des horizons sont $r_{\pm} = G(M \pm \sqrt{M^2 - Q^2})$, où G est la constante de la gravitation, M et Q la masse et la charge du trou noir.

Il est aussi possible d'ajouter des sources aux équations de la supergravité, et de trouver des solutions solitoniques généralisant les trous noirs. Cependant, nous n'identifierons que plus tard les objets qui, à l'instar des particules-test, engendrent ces sources. Nous suivrons donc une logique inverse de celle que nous avons décrite pour la relativité générale, en commençant par écrire des solutions de la supergravité qui ressembleront formellement à (1.18).

Nous allons considérer des solutions de la supergravité à 10 dimensions correspondant à des objets étendus à p dimensions. Autrement dit, les solutions préserveront la symétrie de Lorentz à $p+1$ dimensions et la symétrie sphérique à $9-p$ dimensions. De même que le trou noir ponctuel est électriquement chargé, nos objets seront chargés pour la forme $C^{(p+1)}$ (ainsi, ils pourront exister en théorie de type IIA ou IIB selon la parité de p). Les solutions de supergravité, appelées p -branes noires, sont donc :

$$ds^2 = H_p(r)^{-\frac{1}{2}}(-dt^2 + dx_1^2 + \cdots + dx_p^2) + H_p(r)^{\frac{1}{2}}(dr^2 + r^2 d\Omega_{8-p}^2), \quad (1.19)$$

$$C^{(p+1)} = g_s^{-1}(1 - H_p(r)^{-1})dt \wedge dx^1 \wedge \cdots \wedge dx^p. \quad (1.20)$$

Ces solutions dépendent d'une fonction harmonique à symétrie sphérique $(9-p)$ -dimensionnelle, $H_p(r)$, qui est reliée au dilaton par $e^\Phi = g_s H_p(r)^{\frac{3-p}{4}}$. Explicitement, cette fonction vaut

$$H_p(r) = 1 + \frac{N g_s \alpha'^{\frac{7-p}{2}}}{r^{7-p}}. \quad (1.21)$$

(Nous avons omis des facteurs numériques dans le deuxième terme). L'entier N représente la charge de l'objet par rapport au champ $C^{(p+1)}$; on peut prouver la quantification de cette charge par un argument généralisant la quantification de Dirac. On peut calculer la masse de l'objet pour la théorie de la supergravité en généralisant la notion de masse ADM : on obtient une masse inversement proportionnelle à g_s . Cela dénote la nature non-perturbative de l'objet qui crée cette p -brane noire. Par exemple, dans le cas $p=1$, il ne peut donc pas s'agir de la corde fondamentale décrite par le modèle sigma. Nous identifierons plus tard cet objet comme une Dp -brane.

On connaît aussi des solutions plus compliquées, c'est-à-dire moins symétriques, qui décrivent des états liés d'objets de dimensions différentes. La superposition de D1 et D5-branes a ainsi la forme :

$$ds^2 = H_1(r)^{-\frac{1}{2}} H_5(r)^{-\frac{1}{2}}(-dt^2 + dx_1^2) + H_1(r)^{\frac{1}{2}} H_5(r)^{-\frac{1}{2}}(dx_2^2 + \cdots + dx_5^2) \\ + H_1(r)^{\frac{1}{2}} H_5(r)^{\frac{1}{2}}(dr^2 + r^2 d\Omega_3^2), \quad (1.22)$$

avec la fonction $H_5(r)$ définie plus haut, une fonction $H_1(r)$ en $\frac{1}{r^2}$ comme $H_5(r)$, les champs de Ramond-Ramond $C^{(2)}$ et $C^{(6)}$ comme précédemment, et le dilaton $e^\Phi = g_s H_1(r)^{\frac{1}{2}} H_5(r)^{-\frac{1}{2}}$. Notons que les D1 et D5-branes sont reliées par une généralisation de la dualité électrique-magnétique, puisque $dC^{(6)}$ et $dC^{(2)}$ sont reliées par la dualité de Hodge à 10 dimensions. Par S-dualité, ces deux champs de Ramond-Ramond correspondent au champ B et à son dual de Hodge $d^{-1} * dB$. La solution de supergravité S-duale à la solution (1.22) est donc chargée électriquement et magnétiquement pour le champ B , et s'écrit ^{†9}

$$g_s ds^2 = H_1(r)^{-1}(-dt^2 + dx_1^2) + (dx_2^2 + \dots + dx_5^2) + H_5(r)(dr^2 + r^2 d\Omega_3^2) \quad (1.23)$$

$$H = dB = N_5 \alpha' \epsilon_3 + N_1 \alpha' H_1(r)^{-1} H_5(r) dt \wedge dx_1 \wedge dr, \quad (1.24)$$

$$e^\Phi = g_s^{-1} H_1(r)^{-\frac{1}{2}} H_5(r)^{\frac{1}{2}}. \quad (1.25)$$

Cette solution nous intéressera notamment pour sa *limite proche de l'horizon*. Si en effet on l'examine pour r petit, on obtient une nouvelle solution de la supergravité qui a la même forme mais où les fonctions $H_1(r)$ et $H_5(r)$ ont perdu leurs termes constants,

$$H_1(r) : 1 + \frac{N_1 g_s \alpha'}{r^2} \rightarrow \frac{N_1 g_s \alpha'}{r^2}. \quad (1.26)$$

Cette solution est du type $AdS_3 \times S^3 \times \mathbb{R}^4$, où AdS_3 est l'espace Anti-de Sitter. Nous nous intéresserons plus tard à la théorie des cordes dans l'espace AdS_3 , qui est localement la variété du groupe $SL(2, \mathbb{R})$.

La limite proche de l'horizon de cette solution n'est cependant $AdS_3 \times S^3 \times \mathbb{R}^4$ que dans le cas où $N_1 \neq 0$. Dans le cas contraire, on obtient à la place un espace $\mathbb{R}^{1,5} \times SU(2) \times \mathbb{R}_\Phi$, où \mathbb{R}_Φ est l'espace du *dilaton linéaire*, défini par une métrique plate unidimensionnelle et un dilaton $\Phi(x) \propto x$. Nous retrouverons plus loin cette limite proche de l'horizon d'une configuration de NS5-branes.

1.2.2 Quelques propriétés des p -branes noires

Dans le but d'identifier les objets non-perturbatifs de la théorie des cordes qui peuvent créer les branes noires, nous allons en étudier quelques propriétés.

Nous commencerons par une analogie avec le trou noir de Reissner-Nordström. Les termes de source capables d'engendrer cette solution de la théorie d'Einstein-Maxwell proviennent de l'action (1.4) d'une particule de masse M et de charge Q . L'étude des

^{†9} $d\Omega_3^2$ est la métrique de la 3-sphère S^3 de rayon un, et ϵ_3 sa forme volume.

termes de source correspondant aux p -branes noires dans les équations de supergravité peut de même nous renseigner sur les objets en question.

Remarquons d'abord qu'une p -brane noire est spécifiée par un seul paramètre, que nous avons appelé N . Celui-ci détermine à la fois sa masse et sa charge pour les champs de Ramond-Ramond, et doit être entier. Que la charge soit quantifiée se produit déjà pour le trou noir de Reissner-Nordström, mais que la masse le soit est propre à la théorie des cordes. En fait, il s'agit là d'une conséquence de la supersymétrie, les solutions que nous avons décrites préservant une partie des supersymétries des théories de type II. Nous avons déjà rencontré un phénomène analogue dans l'action (1.5) des théories de supergravité elles-mêmes, où la force de l'attraction gravitationnelle était égale à celle des interactions de jauge. Ce phénomène est une manifestation du caractère unifié de la théorie des cordes, qui ne dépend d'aucun paramètre physique libre (α' est une simple échelle de surface).

L'action d'un l'objet-test ($N = 1$) à $p+1$ dimensions, dont la masse égale la charge, est une intégrale sur la singularité $r = 0$ de la p -brane noire,

$$S_{p+1}^{\text{test}} = T_p \int d^{p+1}x e^{-\Phi} \sqrt{-\det \hat{g}} + T_p \int C^{(p+1)}, \quad (1.27)$$

qui est à comparer avec l'action (1.4). Nous avons introduit la quantité

$$T_p = g_s^{-1} (2\pi)^{-p} \alpha'^{-\frac{p+1}{2}}, \quad (1.28)$$

qui est la masse de l'objet, ou plutôt sa tension si $p \geq 1$. Le facteur g_s^{-1} traduit son caractère non perturbatif (solitonique).

Nous allons maintenant identifier cet objet comme une D-brane, que nous définirons à partir des conditions au bord des cordes ouvertes. Nous trouverons notamment une D-brane dont l'action effective coïncide avec l'action S_{p+1}^{test} .

1.3 D-branes et bouts de cordes ouvertes

1.3.1 Le bord de la surface d'univers

Imaginons que la surface d'univers Σ soit munie d'un bord $\partial\Sigma$. Nous le localiserons en $\sigma = 0, \pi$ dans les coordonnées (σ, τ) . Les propriétés physiques de ce bord peuvent être spécifiées au moyen de conditions au bord. Nous allons supposer que ces conditions au bord découlent d'un principe variationnel déduit de l'action de Polyakov (1.7).

Cependant, la présence d'un bord nous invite à ajouter à cette action un terme de bord. De même que Σ est couplée à la deux-forme $B_{\mu\nu}dx^\mu \wedge dx^\nu$, nous allons coupler $\partial\Sigma$ à une forme $A_\mu dx^\mu$. L'action avec terme de bord est ainsi

$$S^{\text{ouv}} = S^{\text{P}} + \int_{\partial\Sigma} A_\mu(X^\nu) \partial_\tau X^\mu d\tau. \quad (1.29)$$

Appliquons le principe de moindre action. Les équations du mouvement dans la masse ne sont pas modifiées par la présence du terme de bord, et la contribution de $\partial\Sigma$ aux fluctuations de l'action est, si l'on suppose la métrique γ de la surface d'univers plate,

$$(\delta S^{\text{ouv}})_{\text{bord}} = \frac{1}{2\pi\alpha'} \int d\tau \delta X^\mu (g_{\mu\nu} \partial_\sigma X^\nu + (B_{\mu\nu} + 2\pi\alpha' F_{\mu\nu}) \partial_\tau X^\nu), \quad (1.30)$$

où $F = dA$. Nous allons déterminer dans quels cas $(\delta S^{\text{ouv}})_{\text{bord}}$ s'annule pour des conditions au bord du type

$$(\partial_\tau + \partial_\sigma)X^\mu = C_\nu^\mu (\partial_\tau - \partial_\sigma)X^\nu, \quad (1.31)$$

qui correspondent à «coller» les secteurs Gauche et Droit au moyen d'une application linéaire C_μ^ν (pas nécessairement constante). Remarquons que, dans (1.30), on peut remplacer δX^μ par $\partial_\tau X^\mu$, si les conditions au bord sont suffisamment régulières^{‡10}. En utilisant de plus les conditions au bord (1.31), on trouve

$$(\partial_\tau + \partial_\sigma)X^\mu (C_\mu^\nu g_{\nu\rho} C_\lambda^\rho - g_{\mu\lambda}) (\partial_\tau + \partial_\sigma)X^\lambda = 0. \quad (1.32)$$

Cette condition doit être vérifiée pour tous les vecteurs $(\partial_\tau + \partial_\sigma)X^\lambda$, donc la matrice C doit donc préserver la métrique $g_{\mu\nu}$, et l'ensemble des solutions est $O(d, \mathbb{R})$ où d est la dimension de l'espace. Bien sûr, les conditions au bord doivent vérifier des équations supplémentaires pour être cohérentes quantiquement, qui ne seront pas satisfaites par toutes les fonctions à valeurs dans $O(d, \mathbb{R})$.

La matrice C peut avoir des valeurs propres -1 . Les vecteurs propres correspondants définissent des directions de type Dirichlet, vérifiant des conditions au bord $X^\mu = \text{constante}$. Dans les autres directions, on a $g_{\mu\nu} \partial_\sigma X^\nu + (B_{\mu\nu} + 2\pi\alpha' F) \partial_\tau X^\nu = 0$, donc

$$C = \frac{1 - g^{-1}(B + 2\pi\alpha' F)}{1 + g^{-1}(B + 2\pi\alpha' F)}, \quad (1.33)$$

^{‡10}En effet, ces conditions prennent la forme de l'annulation d'un produit de deux facteurs (1.30). Si le facteur δX^μ est nul et l'autre pas en un point, il doit en être de même au voisinage de ce point, donc $\partial_\tau \delta X^\mu = 0$, donc X^μ est localement constant sur le bord.

qui est bien une matrice orthogonale au sens défini plus haut. Cependant, cette relation, et l'existence même du champ F , n'ont de sens que dans les directions orthogonales aux directions de type Dirichlet. Autrement dit, le champ F n'existe que sur la sous-variété où les conditions au bord de type Dirichlet forcent les cordes ouvertes à aboutir. Cette sous-variété s'appelle naturellement une *D-brane*, ou *Dp-brane* si l'on veut indiquer sa dimension, $p + 1$.

Donc, la théorie des cordes ouvertes est définie par la donnée d'une D-brane, déterminée par un plongement $X^\mu(x^i)$ d'une surface de dimension $p + 1$ dans l'espace-temps, et d'une deux-forme $F_{ij}(x^k) = d(A_i(x^k))$ sur cette D-brane, de même que la théorie des cordes fermées est définie par la donnée d'une métrique, d'un champ B , etc. Nous reviendrons sur les équations que doivent vérifier les D-branes. Une chose est sûre : elles doivent respecter l'invariance de jauge $B \rightarrow B + \Lambda$, $F \rightarrow F - 2\pi\alpha'\Lambda$ où $d\Lambda = 0$. En effet, la dynamique des cordes ne dépend que des combinaisons invariantes de jauge $H = dB$ et $\omega = \hat{B} + 2\pi\alpha'F$, où \hat{B} est la forme induite sur la D-brane. Cette invariance de jauge formalise la remarque que la matrice C , éq. (1.33), n'est définie que dans la direction de la D-brane, et ne dépend de B et F qu'à travers $B + 2\pi\alpha'F$.

Pour l'instant, les D-branes peuvent être sous-variétés de l'espace-temps de dimensions quelconques. Mais l'absence de contrainte sur leur dimension est due au fait que nous avons considéré des cordes bosoniques. Si l'on traite le même problème pour les théories des cordes supersymétriques de type II, on obtient des D-branes de dimensions impaires (IIA) ou paires (IIB). Ces dimensions concordent avec le degré des formes de Ramond-Ramond $C^{(p+1)}$ existant dans ces théories. En fait, les D-branes sont des sources pour ces champs, auxquels elles se couplent naturellement *via* des termes

$$\int_{Dp} C^{(p+1)}. \quad (1.34)$$

Cette observation concorde avec le comportement des D-branes vis-à-vis de la T-dualité. Par définition (1.12), cette dernière transforme une condition au bord de type Dirichlet ($\partial_\tau X^\mu = 0$) en une condition de type Neumann ($\partial_\sigma X^\mu = 0$) et vice-versa. Ainsi, elle échange la coordonnée de plongement $X^\mu(x^k)$ d'une D-brane avec le champ $A^\mu(x^k)$. Donc, la T-dualité augmente ou diminue d'un la dimension de la D-brane selon qu'elle s'effectue dans une direction orthogonale ou parallèle à celle-ci. Elle transforme donc les D-branes de la théorie de type IIA en D-branes de la théorie de type IIB et vice-versa.

Mentionnons pour finir comment les D-branes de la théorie de type IIB se transforment par la S-dualité, qui est une symétrie de cette théorie. Cela peut se déduire

facilement des lois de transformation des champs de fond auxquels se couplent les D-branes. Ainsi, la D1-brane est une source pour $C_{\mu\nu}^{(2)}$, que la S-dualité (1.17) transforme en $B_{\mu\nu}$. Nous connaissons déjà un objet qui se couple à $B_{\mu\nu}$, c'est la corde fondamentale elle-même (voir l'action de Polyakov (1.7)), parfois appelée F1. Ainsi, les objets D1 et F1 sont échangés par S-dualité. La D3-brane est invariante, et la D5-brane se transforme en une *NS5-brane* qui se couple magnétiquement au champ $B_{\mu\nu}$.

Par leur couplage aux champs de Ramond-Ramond et leurs transformations par les dualités, les D-branes sont de bons candidats pour être les sources des configurations de la supergravité appelées p -branes noires dont nous avons discuté. Une confirmation proviendra de l'étude des actions effectives de ces D-branes.

1.3.2 L'action effective des D-branes

Rappelons que les équations du mouvement des théories de supergravité équivalent à l'annulation des fonctions β des couplages du modèle sigma. Depuis notre discussion de ce fait, nous avons ajouté au modèle sigma des couplages au bord décrits par une D-brane, et l'invariance conforme du modèle avec bord requiert l'annulation des fonctions β associées à ces nouveaux couplages. À l'ordre le plus bas en α' , cette annulation s'interprète comme les équations du mouvement de l'action effective de la D-brane. Nous décrivons toujours une Dp -brane au moyen de son plongement dans l'espace-temps, $X^\mu(x^i)$, et du champ F_{ij} . Alors son action effective est une fonctionnelle sur la variété à $p+1$ dimensions paramétrée par x^i , qui comprend deux types de termes : une action de Born-Infeld, qui vaut

$$S^{\text{BI}}(X^\mu(x^i), F_{ij}) = T_p \int dx^i e^{-\Phi} \sqrt{-\det(\hat{g} + \hat{B} + 2\pi\alpha'F)}, \quad (1.35)$$

et des termes de Wess-Zumino,

$$S^{\text{WZ}}(X^\mu(x^i), F_{ij}) = T_p \int dx^i [e^B \widehat{\sum}_n C^{(n)}] e^{2\pi\alpha'F}, \quad (1.36)$$

où l'intégrale porte sur le terme de degré $p+1$ du tenseur à intégrer. Ainsi, seules les formes de Ramond-Ramond de degré au plus $p+1$ contribuent à l'action effective.

Ces expressions méritent quelques commentaires. D'abord, l'action de Born-Infeld n'est pas valable seulement à l'ordre le plus bas en α' , puisque le terme $2\pi\alpha'F$ engendre des termes à tous les ordres. En fait, le domaine de validité de l'action effective $S^{\text{BI}}+S^{\text{WZ}}$ est défini par la petitesse des dérivées secondes des plongements X^μ et des dérivées premières du champ F . Les corrections à cette action effective sont appelées corrections

dérivatives, et leur ordre est défini par rapport au nombre de dérivées mises en jeu. Naturellement, ce nombre est relié à la puissance de α' pour des raisons dimensionnelles, mais la puissance de α' dans un terme des corrections dépend aussi de celle de F . Cette subtilité peut être contournée en incluant α' dans la définition de F , ce que nous ferons par la suite quand il n'y aura pas de risque d'ambiguïté.

Revenons à notre raison d'introduire cette action effective : l'identification des sources des p -branes noires de la supergravité avec des Dp -branes. Une Dp -brane plate avec $F = 0$ est solution des équations du mouvement dans un espace-temps plat (le seul champ non nul étant $g_{\mu\nu} = \eta_{\mu\nu}$). Si l'on veut prendre en compte l'action de cette D-brane dans les équations de la supergravité et s'en servir ainsi de source, on constate qu'à l'ordre dominant en T_p seuls la métrique, le dilaton et le champ $C^{(p+1)}$ sont affectés par la présence de la D-brane (par exemple, les fluctuations δB n'apparaissent qu'au deuxième ordre dans S^{BI}). Donc, l'action effective qui détermine l'influence de la Dp -brane sur les champs de fond se réduit à l'action (1.27) de la source de la p -brane noire. Ceci confirme l'identification de cette source avec une Dp -brane.

1.3.3 D-branes superposées

Que se passe-t-il maintenant si l'on considère N D-branes dans un même espace-temps ? Les cordes ouvertes ont alors le «choix» de la D-brane sur laquelle elles aboutissent. À chaque bout de corde ouverte on doit donc associer un indice, dit de *Chan-Paton*, correspondant à une D-brane. Le système acquiert $N \times N$ états fondamentaux de cordes ouvertes étirées entre différentes D-branes. Si deux D-branes sont séparées, l'état fondamental d'une corde ouverte qui les relie est massif ; en revanche, si les D-branes sont superposées, il est sans masse et doit donc apparaître dans la description effective du système à basse énergie, au même titre que les positions X^μ des D-branes et les champs F_{ij} .

L'ensemble des champs $F_{ij} = dA_i$ sur les N D-branes correspond à un groupe de jauge $U(1)^N$. Si elles sont toutes superposées, les nouveaux états de masse nulle agrandissent ce groupe de jauge, qui devient $U(N)$. Il faut donc considérer que le champ A_i est à valeurs dans l'algèbre de Lie de ce groupe, et par T-dualité c'est aussi le cas des coordonnées X^μ des D-branes. Il peut donc exister des états liés de D-branes où la localisation de chacune n'est pas définie, dans le cas où les matrices X^μ ne commutent pas toutes.

L'existence de ces états liés dépend de la dynamique des D-branes, qui est déter-

minée par leur action effective. Cette action effective, qui doit généraliser $S^{\text{BI}} + S^{\text{WZ}}$ au cas des champs non-abéliens, n'est cependant pas connue explicitement. Seuls certains termes ont été calculés, ce qui est déjà suffisant pour mettre en évidence quelques effets intéressants, comme l'effet Myers que nous verrons plus loin.

Chapitre 2

Groupes, D-branes et action de Born-Infeld

Si l'on étudie depuis longtemps la théorie des cordes dans des groupes de Lie, ce n'est pas tant dans l'espoir de construire des modèles réalistes aux basses énergies, que pour mieux comprendre la théorie dans des cas non triviaux que la présence de structures algébriques permet cependant de résoudre. On espère ainsi mieux comprendre les effets de la courbure de l'espace-temps, de la présence du champ $B_{\mu\nu}$, et de la topologie non triviale de l'espace-temps, entre autres caractéristiques de ces variétés.

Nous allons nous intéresser à la théorie des cordes bosoniques dans des groupes de Lie. Laissant les aspects de théorie conforme pour le prochain chapitre, nous insisterons ici plus sur la géométrie. Nous omettrons d'évoquer les constructions permettant de bâtir des modèles de cordes plus réalistes à partir des variétés de groupes, constructions qui font appel à la supersymétrie et à l'utilisation des groupes comme parties compactes d'espace-temps de dimension dix.

En étudiant les D-branes dans les groupes compacts d'abord du point de vue géométrique, nous ne suivons pas la chronologie de la recherche, qui était passée en premier lieu par une description exacte. Mais notre logique sera adaptée aux cas plus compliqués des D-branes dans des espaces-temps non compacts, dont la construction exacte est beaucoup plus difficile.

2.1 Cordes fermées dans les variétés de groupes

Dans cette section, nous présenterons d'abord le modèle de Wess-Zumino-Witten, qui décrit les cordes fermées dans les variétés de groupes. Nous consacrerons ensuite un paragraphe au cas particulier du groupe $SL(2, \mathbb{R})$, qui jouera un grand rôle dans la suite.

2.1.1 Le modèle de Wess-Zumino-Witten

Si l'on veut étudier une théorie physique comportant la gravité sur un groupe de Lie G , il faut d'abord décider quelle métrique associer à ce groupe. La question est loin d'être simple et requiert des hypothèses précises sur la structure de G . Nous exigerons d'abord que la métrique soit non-dégénérée. De plus, pour que les propriétés physiques reflètent les symétries associées à la structure de groupe, il faut que la métrique soit invariante à gauche et à droite. Ainsi, elle est déterminée par une forme bilinéaire sur l'algèbre de Lie \mathfrak{g} de G , non dégénérée et invariante par l'action adjointe. L'existence d'une telle forme est d'ailleurs une condition nécessaire et suffisante pour l'existence d'une théorie conforme qui respecte au niveau quantique les symétries du groupe [FOS94]. Nous appellerons $\langle \cdot, \cdot \rangle$ une telle forme bilinéaire. Dans le cas d'un groupe semi-simple, la forme de Killing fait l'affaire, mais n'est pas nécessairement la seule possibilité. Dans la suite, nous adopterons des normalisations issues de ce cas pour des raisons de simplicité.

Muni de sa métrique, notre groupe n'est cependant toujours pas solution des équations de la Relativité Générale ni de la Supergravité. Pour en faire un espace physique au sens de cette dernière, on peut introduire une valeur non nulle pour le champ $B_{\mu\nu}$. Alors se pose la question de l'existence globale d'une telle forme. En fait la topologie non triviale du groupe G s'oppose en général à l'existence globale du champ $B_{\mu\nu}$ nécessaire pour définir la théorie des cordes sur G . Nous construirons plus loin un tel champ $B_{\mu\nu}$, qui aura des singularités. Pour l'instant, on peut éviter ce problème en formulant la théorie à l'aide du champ $H = dB$. Cette trois-forme ne se couple pas à la surface d'univers bidimensionnelle Σ plongée dans G , mais à une sous-variété \mathcal{M} de G telle que $\partial\mathcal{M} = \Sigma$. L'action de Wess-Zumino-Witten s'écrit alors, en fonction du plongement $g(\sigma, \tau)$ de la corde fermée dans le groupe G ,

$$S^{\text{WZW}} = \frac{k}{16\pi} \int_{\Sigma} d\sigma d\tau \langle g^{-1} \partial_i g, g^{-1} \partial^i g \rangle + \frac{k}{24\pi} \int_{\mathcal{M}} \langle g^{-1} dg, [g^{-1} dg, g^{-1} dg] \rangle. \quad (2.1)$$

Le nombre k s'appelle *le niveau* de la théorie ^{‡1}. Il est lié au rayon du groupe G par $R = \sqrt{k\alpha'}$. La métrique étant proportionnelle à R^2 , l'action a donc bien un facteur $R^2/(2\pi\alpha') = k/(2\pi)$ comme nous l'avons écrit. Si on fixe la métrique et donc le rayon, la limite $\alpha' \rightarrow 0$, que nous appellerons parfois limite semi-classique, correspond donc à $k \rightarrow \infty$.

La définition de l'action (2.1) est potentiellement ambiguë à cause de la définition de la variété \mathcal{M} par $\partial\mathcal{M} = \Sigma$. Supposons que cette relation admette des solutions différentes $\mathcal{M}, \mathcal{M}'$. Comme la trois-forme H est fermée, le terme $\int_{\mathcal{M}-\mathcal{M}'} H$ dans l'action (2.1) ci-dessus ne dépend que de la classe de $\mathcal{M} - \mathcal{M}'$ dans le troisième groupe d'homotopie $\pi_3(G)$. Pour que l'action proposée soit physique, $\exp iS^{WZW}$ ne doit pas dépendre de cette quantité. Or, pour un groupe compact simple, on a $\pi_3(G) = \mathbb{Z}$, et $\int_{\mathcal{M}-\mathcal{M}'} H$ réalise explicitement (à un facteur près) l'application qui à $\mathcal{M} - \mathcal{M}'$ associe sa classe dans $\pi_3(G)$. Donc, k doit être quantifié. Une analyse tenant compte des coefficients numériques montre que $k \in \mathbb{Z}$.

Remarquons que le champ H que nous avons introduit est tel que la connection déjà mentionnée (1.6), $\Gamma = \Gamma(g) - \frac{1}{2}H$, parallélise le groupe G . Cette remarque a des conséquences importantes pour la renormalisation du modèle sigma ([BCZ85]), et donc pour l'annulation des corrections à la supergravité dans le cas des groupes.

La parallélisabilité des variétés de groupes se manifeste aussi dans les symétries préservées par le modèle, à savoir les translations locales

$$g(\sigma, \tau) \rightarrow \Omega(x_+)g(\sigma, \tau)\bar{\Omega}(x_-), \quad (2.2)$$

avec $x_{\pm} = \tau \pm \sigma$. Il faut noter que les fonctions Ω et $\bar{\Omega}$ ne sont pas tout à fait indépendantes, car elles doivent conspirer pour que la corde reste bien fermée, $g(\sigma + 2\pi, \tau) = g(\sigma, \tau)$. Ces symétries correspondent aux courants conservés

$$J = -k\partial_+g g^{-1} \quad , \quad \bar{J} = kg^{-1}\partial_-g. \quad (2.3)$$

Ces courants servent de base à la construction de la théorie conforme correspondante [GW86]. Leur existence permet de résoudre la théorie des cordes dans G , au même titre que la théorie des cordes dans l'espace plat. Plus précisément, leurs modes de Fourier engendrent l'algèbre de Lie affine $\hat{\mathfrak{g}}$, et le spectre de la théorie se décompose

^{‡1}Par commodité d'écriture, nous supposons ici le groupe G simple. Des groupes semi-simples, produits de groupe simples, peuvent avoir des niveaux différents pour les différents facteurs. La notion de rayon du groupe doit alors être remplacée par un ensemble de paramètres.

en représentations de cette algèbre. Si \mathfrak{g} est définie par $[J^a, J^b] = f^{abc} J^c$, alors les relations de commutation qui définissent $\hat{\mathfrak{g}}$ sont :

$$[J_n^a, J_m^b] = f^{abc} J_{m+n}^c + \frac{1}{2} k n \delta^{ab} \delta_{m+n,0}. \quad (2.4)$$

De façon équivalente à l'existence des courants conservés, on peut remarquer que la solution générale des équations du mouvement de l'action (2.1) est

$$g(\sigma, \tau) = a(x_+) b(x_-). \quad (2.5)$$

Ainsi, on peut quantifier la théorie en considérant comme largement indépendants deux secteurs, dépendant respectivement des coordonnées x_+ et x_- . Nous y reviendrons dans le prochain chapitre.

Pour l'instant, nous allons seulement admettre l'existence d'une théorie des cordes dans G respectant les symétries de groupe, à condition que le niveau k soit entier (dans le cas d'un groupe compact). Cela suffit à déterminer les propriétés essentielles de la théorie dans la limite semi-classique $k \rightarrow \infty$. En fait, ce n'est que dans cette limite que la théorie des cordes peut s'interpréter en termes géométriques ; lorsque k est faible, il faut prendre en compte des effets de gravité quantique, qui remettent en cause la notion même d'espace. Au contraire, pour k grand, il est possible de construire des états de cordes fermées localisés sur G , et la notion de point de G prend un sens physique. Plus précisément, le spectre des cordes fermées s'identifie dans cette limite avec l'ensemble des fonctions $\text{Fon}(G)$ sur G . Les symétries mentionnées ci-dessus suggèrent d'organiser ce spectre en représentations de G . C'est ce que fait le théorème de Peter-Weyl,

$$\text{Fon}(G) \simeq \bigoplus_{R \in \text{Rep}(G)} R \otimes R^\dagger, \quad (2.6)$$

où $\text{Rep}(G)$ est l'ensemble des représentations irréductibles de G de dimension finie. L'équivalence \simeq est ici à prendre au sens des représentations de $G \times G$, où les actions de G sur $\text{Fon}(G)$ se déduisent naturellement de ses actions à droite et à gauche sur lui-même. Le spectre du modèle de Wess-Zumino-Witten pour un groupe G compact se déduit de $\text{Fon}(G)$ en étendant les représentations de G en des représentations correspondantes de plus haut poids de l'algèbre de Lie affine $\hat{\mathfrak{g}}$, c'est-à-dire des représentations \hat{R} de $\hat{\mathfrak{g}}$ construites à partir de représentations R de \mathfrak{g} (que l'on identifie avec l'algèbre des J_0^a) en appliquant les J_n^a tout en supposant l'action des $J_n^a, n > 0$ sur R nulle. Schématiquement, on a $\hat{R} = \hat{\mathfrak{g}}R / (J_n^a R = 0 \forall n > 0)$. Cependant, on ne garde que

les représentations de $\hat{\mathfrak{g}}$ qui restent unitaires après cette extension. On note $Rep_k(G)$ l'ensemble (fini) de ces représentations. Alors le spectre du modèle de Wess-Zumino-Witten est :

$$Spec(G) \simeq \bigoplus_{R \in Rep_k(G)} \hat{R} \otimes \hat{R}^\dagger. \quad (2.7)$$

Nous reviendrons plus en détail sur ce spectre et la fonction de partition du tore qui lui est associée dans le prochain chapitre.

2.1.2 Les cordes fermées dans $SL(2, \mathbb{R})$

Nous avons vu l'espace $AdS_3 \times S^3 \times \mathbb{R}^4$ apparaître comme limite proche de l'horizon de certaines configurations de branes, et se prêter à la conjecture AdS/CFT. C'est une motivation fondamentale pour étudier la théorie des cordes dans cet espace, ce qui peut se faire au moyen du modèle de Wess-Zumino-Witten associé au groupe $SL(2, \mathbb{R}) \times SU(2) \times U(1)^4$. Les difficultés posées par ce modèle viennent du facteur non compact $SL(2, \mathbb{R})$. Nous allons expliquer certaines de ces difficultés, et montrer en quoi $SL(2, \mathbb{R})$ est plus compliqué que son homologue compact $SU(2)$ du point de vue de la théorie des cordes.

Commençons donc par munir $SL(2, \mathbb{R})$ de sa métrique naturelle, associée à la forme de Killing. On peut définir une coordonnée temporelle t à l'aide d'un vecteur de Killing de genre temps de cette métrique. Cette coordonnée est périodique, si on la décompactifie on obtient l'espace AdS_3 . Toute tranche $t = \text{constante}$ de $SL(2, \mathbb{R})$ a un volume infini.

Comme les autres groupes, $SL(2, \mathbb{R})$ muni de sa seule métrique n'a pas de sens physique. Remarquons cependant qu'il vérifie les équations d'Einstein avec une constante cosmologique négative. Bien sûr nous connaissons déjà une autre façon d'interpréter le terme correspondant, à savoir comme provenant d'une trois-forme $H = dB$ de la théorie des cordes, qui dans le cas de $SL(2, \mathbb{R})$ est proportionnelle à la forme volume. Cette «équivalence» entre constante cosmologique et trois-forme H ne vaut que pour les groupes de dimension trois $SL(2, \mathbb{R})$ et $SU(2)$. Cela reflète la propriété particulière à $SL(2, \mathbb{R})$ d'être (localement) à la fois un groupe de Lie et un espace Anti-de Sitter. En effet, tous les espaces Anti-de Sitter sont solutions de l'équation d'Einstein avec constante cosmologique négative. Ils jouissent d'une propriété remarquable découverte par Breitenlohner et Freedman [BF82] : un champ scalaire de masse carrée négative peut y être stable, pourvu que sa masse carrée ne soit pas trop grande. Cette propriété

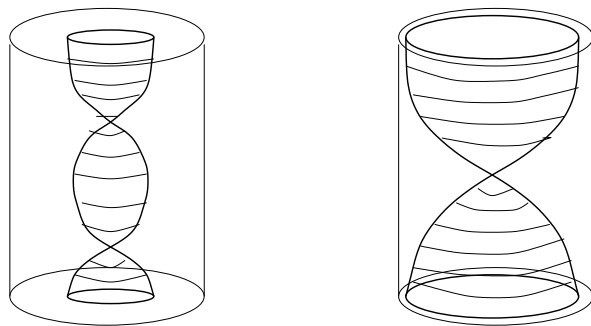
se manifestera également au niveau du spectre des cordes fermées, où l'on trouvera des états physiques de masse négative.

Décrivons ce spectre plus en détail. Dans la limite semi-classique, il s'agit simplement d'étudier $\text{Fon}(SL(2, \mathbb{R}))$. Comme dans le cas compact, cet espace se décompose naturellement en représentations de $SL(2, \mathbb{R}) \times SL(2, \mathbb{R})$. Les représentations de $SL(2, \mathbb{R})$ se paramétrisent naturellement en fonction du Casimir quadratique, que l'on note $-j(j+1)$ (où j s'appelle le spin). Seules les représentations unitaires peuvent apparaître dans le spectre physique. Les états d'une représentation donnée sont eux paramétrisés par leur moment magnétique m , c'est-à-dire la valeur propre d'un générateur donné J_3 de l'algèbre de Lie $sl(2, \mathbb{R})$ de $SL(2, \mathbb{R})$. Les représentations qui nous intéresseront sont les suivantes :

- Les *représentations continues* C_j^α , avec $j \in -\frac{1}{2} + i\mathbb{R}$, ont un Casimir $-j(j+1) \geq \frac{1}{4}$. Les états vérifient $m \in \alpha + \mathbb{Z}$, avec $0 \leq \alpha < 1$.
- Les *représentations discrètes* D_j^\pm , avec $j \in \mathbb{R}$, ont un Casimir $-j(j+1) \leq \frac{1}{4}$. Les états sont engendrés à partir d'un état de plus bas ou plus haut poids, $m = \pm j$. Ainsi les valeurs prises par m sont $m \in \pm(j + \mathbb{N})$.

Considérons maintenant $\text{Fon}(SL(2, \mathbb{R}))$ comme une représentation de $SL(2, \mathbb{R})$ pour l'action à droite ou à gauche. Dans les deux cas, le Casimir quadratique s'identifie avec le Laplacien de la métrique de $SL(2, \mathbb{R})$ qui sert à écrire l'action du modèle de Wess-Zumino-Witten (2.1) (nous écrirons explicitement cette métrique plus loin (2.56)). Comme la masse d'un champ est la valeur propre de ce même Laplacien, on peut interpréter la borne de Breitenlohner-Freedman en termes du Casimir. Cette borne exclut les représentations continues, c'est-à-dire les états asymptotiques qui vivent à l'infini spatial d' AdS_3 et peuvent se diffuser à l'intérieur. Les états discrets, eux, apparaissent comme des pôles dans ces amplitudes de diffusion, et sont localisés à l'intérieur d' AdS_3 . On voit donc que la borne de Breitenlohner-Freedman est le véritable critère physique qui permet de distinguer les états liés des états asymptotiques, ce que fait habituellement la positivité de la masse dans un espace asymptotiquement plat.

Considérons maintenant la théorie des cordes fermées dans $SL(2, \mathbb{R})$, en suivant [MO01]. L'essentiel de ce que nous avons dit dans la partie 2.1.1 s'applique. Le niveau k n'est pas quantifié car $\pi_3(SL(2, \mathbb{R}))$ est trivial. La propriété essentielle de la factorisation des solutions de cordes, eq. (2.5), est toujours valable. Le modèle possède la symétrie (2.2). Si l'on veut aller au-delà de la limite semi-classique et construire le spectre des cordes fermées, il est naturel de considérer les représentations de plus haut poids

FIG. 2.1 – Cordes fermées courtes et longues dans AdS_3

de l'algèbre de Lie affine $\widehat{sl}(2, \mathbb{R})$ correspondant aux représentations de $sl(2, \mathbb{R})$ qui apparaissent dans $\text{Fon}(SL(2, \mathbb{R}))$. En effet, c'est ainsi que l'on construit le spectre du modèle de Wess-Zumino-Witten associé à un groupe compact (2.7). Dans le cas de $SL(2, \mathbb{R})$, les deux types de représentations de $sl(2, \mathbb{R})$ permettent de construire des représentations de plus haut poids de $\widehat{sl}(2, \mathbb{R})$ toujours appelées continues et discrètes. Les représentations continues correspondent à des cordes fermées qui atteignent le bord d' AdS_3 , appelées *cordes longues*. Les représentations discrètes décrivent des cordes localisées près du centre, à distance finie, appelées *cordes courtes* (voir la Figure 2.1.2). La distinction entre ces deux types d'états, séparés par la borne de Breitenlohner-Freedman, est donc identique à celle que nous avons décrite dans le cas des états d'une particule ponctuelle décrite par un champ scalaire. Elle correspond toujours à la différence entre les états asymptotiques, qui ont assez d'énergie pour s'échapper à l'infini, et les états liés.

Cependant, de même que le critère de masse positive n'était pas adapté à la physique dans AdS_3 , le critère pour une représentation de $\widehat{sl}(2, \mathbb{R})$ d'être de plus haut poids se révèle être trop restrictif, et ne permet pas de construire le spectre de la théorie des cordes dans $SL(2, \mathbb{R})$ (voir par exemple [Pet99]). Cela est dû au fait que dans le cas de $SL(2, \mathbb{R})$, les symétries du modèle eq. (2.2) forment un groupe non connexe, qui n'est donc pas engendré par sa seule algèbre de Lie $\widehat{sl}(2, \mathbb{R})$. Pour accéder aux composantes connexes autres que celles de l'identité, on peut utiliser un sous-groupe isomorphe à \mathbb{Z} que l'on appelle le flot spectral [MO01]. Si J est un générateur de \mathfrak{g} de genre temps ($\text{Tr}J^2 < 0$) et tel que $\exp(4\pi J) = 1$, on peut réaliser le flot spectral comme les transformations :

$$g(x_+, x_-) \rightarrow e^{wx_+ J} g(x_+, x_-) e^{wx_- J}, \quad w \in \mathbb{Z}. \quad (2.8)$$

Le flot spectral agit sur l'algèbre de Lie affine $\widehat{\mathfrak{g}}$ comme un groupe d'automorphismes

extérieurs. Étant donnée une représentation \hat{R} de $\hat{\mathfrak{g}}$, il faut donc pour réaliser la symétrie du modèle inclure dans le spectre ses images par le flot spectral \hat{R}^w , $w \in \mathbb{Z}$. La conjecture qui en résulte pour le spectre des cordes fermées dans $SL(2, \mathbb{R})$ est

$$\text{Spec}(SL(2, \mathbb{R})) \simeq \bigoplus_{R \in \text{Rep}_k(SL(2, \mathbb{R})), w \in \mathbb{Z}} \hat{R}^w \otimes \hat{R}^{\dagger w}, \quad (2.9)$$

où $\text{Rep}_k(SL(2, \mathbb{R}))$ comporte toutes les représentations continues, et les représentations discrètes vérifiant la borne d'unitarité renforcée,

$$-\frac{k-1}{2} < j < -\frac{1}{2}. \quad (2.10)$$

Entre autres vérifications, le spectre (2.9) est compatible avec l'invariance modulaire et des calculs de fonction de partition thermique dans l' AdS_3 Euclidien [MO01, MOS01, MO02].

2.2 D-branes symétriques dans les groupes compacts

La théorie des cordes dans le groupe G s'exprime, comme nous l'avons vu, en termes des courants droit et gauche J et \bar{J} . Du point de vue des cordes ouvertes, une D-brane est définie par les conditions aux bords de la corde à ses bouts $\sigma = 0, \pi$. Nous allons dans cette section considérer les conditions au bord suivantes :

$$J = \bar{J}. \quad (2.11)$$

Il s'agit de conditions de «collage» du type de celles que nous avons considérées au chapitre précédent (1.31), qui sont définies par une application linéaire reliant les secteurs gauche et droit. L'intérêt des conditions au bord (2.11) a été souligné par Alekseev et Schomerus [AS99]. Les D-branes correspondantes s'appellent les D-branes symétriques, en effet ces conditions au bord entre les secteurs droit et gauche préservent la sous-algèbre diagonale $\hat{\mathfrak{g}}$ de l'algèbre des courants $\hat{\mathfrak{g}} \times \hat{\mathfrak{g}}$. Nous considérerons aussi une généralisation [FFFS00] de ces conditions au bord, construite à l'aide d'un automorphisme extérieur quelconque ω de l'algèbre de Lie \mathfrak{g} :

$$J = \omega(\bar{J}). \quad (2.12)$$

On pourrait aussi considérer un automorphisme intérieur ω , mais la D-brane qui en résulterait serait simplement l'image par rotation d'une D-brane symétrique, comme on pourra le vérifier à l'aide de (2.14).

Les D-branes ainsi définies dans les groupes compacts ont la propriété d'être entièrement déterminées par leurs conditions de collage. Autrement dit, elles obéissent à la théorie de Cardy. Nous expliquerons cette construction dans la section (3.1).

Cela permet d'espérer que leurs propriétés soient en grande partie accessibles par des méthodes géométriques utilisant comme seule définition de la brane sa condition de collage. Nous verrons que ces méthodes donnent des résultats exacts, alors que leur domaine de validité ne s'étend a priori qu'à la limite semi-classique $k \rightarrow \infty$.

2.2.1 D-branes et classes de conjugaison

D'abord, nous allons utiliser les conditions de collage (2.11,2.12) pour déterminer la géométrie des D-branes correspondantes. Dans la limite semi-classique, une D-brane peut être vue comme une sous-variété de G . Comme la surface d'univers de la corde aboutit sur la D-brane, les vecteurs $\partial_\tau g(\sigma = 0, \pi)$ doivent être tangents à la D-branes. La condition $J = \omega(\bar{J})$ se réécrit, en utilisant la définition des courants (2.3), ^{‡2}

$$(1 - \omega \circ \text{Ad}_g)g^{-1}\partial_\sigma g = (1 + \omega \circ \text{Ad}_g)g^{-1}\partial_\tau g. \quad (2.13)$$

Cela implique que le vecteur $g^{-1}\partial_\tau g$ appartienne à l'image de $(1 - \omega \circ \text{Ad}_g)$. Dans le cas $J = \bar{J}$ (c'est-à-dire $\omega = \text{Id}$), cela revient à dire que $\partial_\tau g$ doit être tangent à la classe de conjugaison qui passe par le point g . Dans le cas plus général où ω est non trivial, nous appellerons *classe de ω -conjugaison* la variété qui généralise la notion de classe de conjugaison, et dont l'espace tangent est l'image de $(1 - \omega \circ \text{Ad}_g)$. La classe de ω -conjugaison d'un point $g \in G$ est :

$$\mathcal{C}^\omega(g) = \{hg\omega(h)^{-1}, h \in G\}. \quad (2.14)$$

Comme la ω -conjugaison est une action de G sur lui-même, les classes de ω -conjugaison forment une partition de G en sous-variétés de dimensions variables, tout comme les classes de conjugaison. Cependant, la classe de conjugaison ponctuelle de l'identité n'a pas d'équivalent pour la ω -conjugaison.

Décrivons maintenant la géométrie des classes de conjugaison d'un groupe de Lie compact connexe semi-simple G . Soit T un tore maximal, $T \simeq U(1)^r$ où r est le rang du groupe G . Rappelons que le *normalisateur* $N(T)$ du tore T est le sous-groupe des éléments de G qui, par conjugaison, laissent T globalement invariant,

$$N(T) = \{g \in G, gTg^{-1} = T\}. \quad (2.15)$$

^{‡2}Nous notons Ad_g l'action adjointe d'un élément g de G sur l'algèbre de Lie, $\text{Ad}_g(v) = gv$.

Le centralisateur $C(T)$ du tore T est l'ensemble des éléments de G qui commutent avec tout élément de T , et dans le cas d'un groupe compact semi-simple c'est T lui-même :

$$C(T) = \{g \in G, \forall t \in T \quad gtg^{-1} = t\} = T. \quad (2.16)$$

Naturellement, $C(T)$ est un sous-groupe de $N(T)$. Mais il s'agit de plus d'un sous-groupe distingué d'ordre fini, et le groupe quotient est le *groupe de Weyl* W , qui ne dépend pas du choix du tore T puisque tous les tores maximaux sont conjugués :

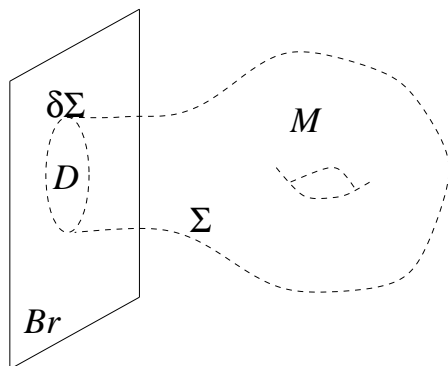
$$W = W(T) = N(T)/C(T) = N(T)/T. \quad (2.17)$$

Le groupe W agit naturellement sur T , et l'ensemble quotient T/W paramétrise les classes de conjugaison de G . Plus précisément, l'application

$$\begin{aligned} q : \quad G/T \times T &\rightarrow G \\ q(hT, t) &:= hth^{-1} \end{aligned} \quad (2.18)$$

est une surjection. Considérons maintenant l'ensemble G_r des éléments réguliers de G , c'est-à-dire ceux qui n'appartiennent qu'à un seul tore maximal. Cet ensemble G_r est dense dans G . Soit $T_r = G_r \cap T$ l'ensemble des éléments réguliers de T , alors l'ensemble des classes de conjugaison régulières (incluses dans G_r) est paramétré par T_r/W au moyen de l'application q ci-dessus. Toute classe de conjugaison régulière est difféomorphe à G/T en tant que G -module, et rencontre T_r en $|W|$ points qui forment une orbite du groupe de Weyl W . Nous nous restreindrons aux classes de conjugaison régulières dans la suite.

Après avoir rappelé ces faits standard sur les classes de conjugaison, intéressons-nous aux classes de ω -conjugaison, qui décrivent elles aussi la géométrie de D-branes du groupe G . Ces faits, un peu moins standard, sont exposés dans [FFFS00]. Il existe toujours au moins un tore maximal T globalement invariant par ω , les classes de ω -conjugaison sont essentiellement paramétrées par l'ensemble T^ω des points fixes de l'action de ω sur T . Plus précisément, il faut tenir compte de l'action du groupe de Weyl W (en fait, de ses éléments qui commutent avec l'action de ω), et en plus se restreindre à la composante connexe de l'identité T_0^ω de T^ω . On généralise également la notion de classe de conjugaison régulière, et toutes les classes de ω -conjugaison régulières sont difféomorphes à G/T_0^ω et ont donc la même dimension. Notons que cette dimension est nécessairement supérieure à celle des classes de conjugaison régulières, car T^ω est toujours plus petit que T , si ω est un automorphisme extérieur comme nous l'avons supposé.

FIG. 2.2 – Une corde ouverte Σ aboutissant sur une D-brane Br

Enfin, nous aurons besoin de connaître les espaces tangents aux classes de ω -conjugaison. La propriété essentielle que nous utiliserons est qu'une classe de ω -conjugaison régulière est orthogonale en chacun de ses points au tore maximal invariant T_0^ω qui y passe. Ramenée à l'algèbre de Lie par translation, cette propriété s'écrit au moyen de l'opérateur linéaire $\omega \circ \text{Ad}_g$,

$$\mathfrak{g} \simeq \text{Ker}(\mathbf{1} - \omega \circ \text{Ad}_g) \oplus^\perp \text{Im}(\mathbf{1} - \omega \circ \text{Ad}_g). \quad (2.19)$$

En effet, les espaces $g \text{Ker}(\mathbf{1} - \omega \circ \text{Ad}_g)$ et $g \text{Im}(\mathbf{1} - \omega \circ \text{Ad}_g)$ sont respectivement les espaces tangents au tore T_0^ω passant par g et à la classe de ω -conjugaison passant par g . Pour s'en apercevoir, on peut utiliser l'application tangente de $q(\cdot, t) = q_t$, où l'on utilise la même notation q qu'en (2.18) pour désigner

$$q : \quad G/T_0^\omega \times T_0^\omega \rightarrow G \\ q(hT, t) := ht\omega(h)^{-1}. \quad (2.20)$$

On a en effet $dq_t(dhh^{-1}) = (\mathbf{1} - \omega \circ \text{Ad}_g)dhh^{-1} = g^{-1}dg$ si $g = ht\omega(h)^{-1}$.

Nous avons donc décrit la géométrie de nos D-branes : elles sont difféomorphes à G/T et G/T_0^ω respectivement. Cependant une D-brane n'est pas une simple sous-variété de G , mais est munie d'un champ de jauge F . Et la topologie non-triviale de G/T et de G/T_0^ω a des conséquences en termes de quantification de la position des D-branes, de même que la topologie non-triviale de G conduit à la quantification du niveau k . C'est ce que nous allons maintenant discuter.

2.2.2 Topologie des D-branes et quantification

Dans l'action d'une corde ouverte de surface d'univers Σ , supposée aboutir sur une D-brane Br (c'est-à-dire $\partial\Sigma \subset Br$), considérons les termes topologiques, ^{‡3}

$$S^{\text{topo}}(\Sigma, A) = - \int_{\Sigma} B + \int_{\partial\Sigma} A. \quad (2.21)$$

Ces termes doivent pouvoir se réécrire en fonction des seules quantités invariantes de jauge H et $\omega = \hat{B} + dA = \hat{B} + F$. Nous avons déjà dû introduire dans le cas des cordes fermées la variété \mathcal{M} dont le bord était la surface d'univers Σ . Pour une corde ouverte, Σ est ouverte et ne saurait donc être un bord ; cependant on peut "fermer" Σ au moyen d'une sous-variété D de dimension deux de la D-brane Br , telle que $\partial(\Sigma \cup D) = \emptyset$ (voir la Figure 2.2.2). Alors il existe une variété \mathcal{M} de dimension trois telle que $\partial\mathcal{M} = \Sigma \cup D$, et on a

$$\begin{aligned} S^{\text{topo}}(\Sigma, A) &= - \int_{\Sigma \cup D} B + \int_D B - \int_{\partial D} A \\ &= \int_{\mathcal{M}} H + \int_D \omega. \end{aligned} \quad (2.22)$$

Cette dernière expression est la véritable définition physique des termes topologiques de l'action des cordes ouvertes, et la formulation originale S^{topo} n'a en fait qu'une valeur heuristique. Naturellement, nous devons maintenant nous occuper des ambiguïtés dans le choix de \mathcal{M} et D . Une fois D fixé, le choix de \mathcal{M} est paramétré par $\pi_3(G)$ comme dans le cas des cordes fermées, et n'influe pas sur $\exp iS^{\text{topo}}$ pourvu que le niveau k soit quantifié. Le choix de D , lui, est paramétré par $\pi_2(Br)$. Or, dans le cas où Br est une classe de conjugaison d'un groupe compact connexe de rang r , on a

$$\pi_2(Br) \simeq \pi_2(G/T) \simeq \mathbb{Z}^r. \quad (2.23)$$

Donc, la D-brane doit respecter r conditions de quantification, qui vont restreindre ses positions autorisées à une partie discrète de T_r/W . Pour savoir laquelle, il suffit en principe de connaître le champ ω sur la D-brane, mais il est beaucoup plus commode de travailler avec le champ F . En effet, le choix de D affecte les deux termes de l'action eq. (2.22), alors qu'il n'affecte que le terme ^{‡4} $\int_{\partial\Sigma} A = - \int_D F$ de l'action eq. (2.21). Cependant, dans notre calcul de S^{topo} en fonction des quantités invariantes de jauge,

^{‡3}Ici comme dans la suite du chapitre, nous omettons le facteur $2\pi\alpha'$ qui accompagne habituellement les champs A et $F = dA$.

^{‡4}Le champ A n'est pas toujours bien défini, F pouvant se contenter d'être fermée.

nous avons implicitement supposé que le champ B est régulier dans \mathcal{M} . En général, la forme H est fermée mais pas nécessairement exacte, et on doit tenir compte de termes du type

$$\int_{\mathcal{M}} H = - \int_{\Sigma \cup D} B + \int_{\mathcal{M} \cap S(B)} B, \quad (2.24)$$

où $S(B)$ désigne une surface bidimensionnelle entourant les singularités de B . À l'ambiguïté $\int_{S^2} F$ de l'action (liée à un générateur S^2 de $\pi_2(Br)$), il faut donc ajouter l'ambiguïté éventuelle sur le terme $\int_{\mathcal{M} \cap S(B)} B$, qui vaut l'intégrale de B sur la portion de $S(B)$ interceptée par S^2 .

Nous allons illustrer ces conditions de quantification dans l'exemple canonique des D-branes symétriques du groupe $SU(2)$, en considérant plusieurs choix de jauge pour le champ B . On peut d'abord utiliser les coordonnées cylindriques, comme dans [BDS00],

$$ds^2 = d\Psi^2 + \sin^2 \Psi (d\Theta^2 + \sin^2 \Theta d\varphi^2) \quad (2.25)$$

$$B = (B_0 + \Psi - \frac{1}{2} \sin 2\Psi) \sin \Theta d\Theta \wedge d\varphi \quad (2.26)$$

Nous avons cependant ajouté une constante B_0 , la valeur du champ B au pôle $\Psi = 0$. Ces coordonnées sont adaptées au traitement des classes de conjugaison d'équations $\Psi = \Psi_0$, avec un champ

$$F = -(\Psi_0 + B_0) \sin \Theta d\Theta \wedge d\varphi. \quad (2.27)$$

Ces D-branes en forme de classes de conjugaison sont des sphères S^2 , et donnent donc lieu à une quantification de l'intégrale de F sur leur volume d'univers, c'est-à-dire de $(\Psi_0 + B_0)$. Cependant les positions autorisées par cette quantification ne doivent pas dépendre de B_0 , et c'est le cas si l'on prend en compte la singularité du champ B au pôle $\Psi = 0$, qui doit être explicitement soustraite comme nous l'avons expliqué. Il s'agit plus précisément de l'intégrale de B sur une deux-sphère infinitésimale $\Psi = \epsilon$, qui tend vers B_0 quand $\epsilon \rightarrow 0$. Ainsi, quel que soit la jauge B_0 choisie, on obtient la quantification

$$\Psi_0 = \frac{\pi n}{k}, \quad n \in \mathbb{Z}. \quad (2.28)$$

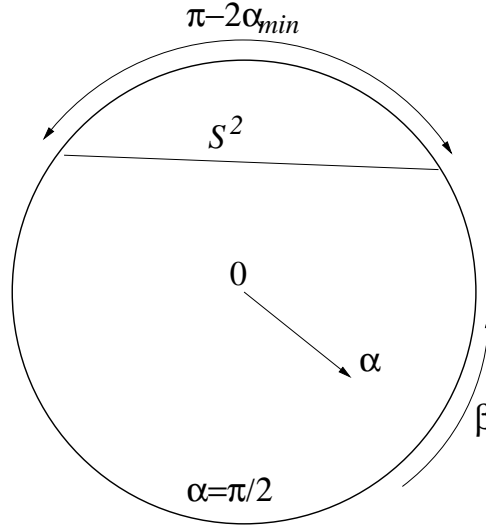


FIG. 2.3 – Une D-brane S^2 dans $SU(2)$, en projection sur le plan (α, β)

Traisons le même exemple en coordonnées d'Euler, ^{‡5}

$$ds^2 = d\alpha^2 + \sin^2 \alpha d\beta^2 + \cos^2 \alpha d\varphi^2 \quad (2.29)$$

$$B = (\cos^2 \alpha - B_0) d\varphi \wedge d\beta. \quad (2.30)$$

Dans ces coordonnées, et avec ces choix de jauge, le champ B n'est pas singulier seulement en un point mais généralement en deux grands cercles disjoints $\alpha = 0, \frac{\pi}{2}$. On considère les mêmes D-branes qu'auparavant, d'équations

$$\sin \alpha \cos \beta = \sin \alpha_{min} = \cos \Psi_0, \quad \dot{\beta} = \frac{\partial \beta}{\partial \alpha} = \frac{\sin \alpha_{min} \cos \alpha}{\sin \alpha \sqrt{\sin^2 \alpha - \sin^2 \alpha_{min}}}. \quad (2.31)$$

Dans la jauge $B_0 = 0$, ces D-branes n'intersectent jamais le cercle $\alpha = 0$ des singularités du champ B . La condition de quantification peut s'exprimer en termes du seul champ F , qui vaut alors

$$B_0 = 0 : F = -\dot{\beta} d\varphi \wedge d\beta. \quad (2.32)$$

On vérifie que la quantification de $\int_{S^2} F$, où S^2 est notre D-brane sphérique, équivaut à l'équation (2.28). Dans la jauge $B_0 = 1$, en revanche, chaque D-brane intercepte un

^{‡5}Le changement de variables entre les deux systèmes de coordonnées est

$$\begin{aligned} \cos \Psi &= \sin \alpha \cos \beta \\ \sin \Psi \sin \Theta &= \cos \alpha, \end{aligned}$$

cependant nos choix de jauge respectifs pour le champ B ne sont pas reliés par ces transformations.

angle $\pi - 2\alpha_{min}$ du cercle $\alpha = \frac{\pi}{2}$ des singularités de B (voir la Figure 2.2.2). On trouve par ailleurs que le champ F est nul,

$$B_0 = -1 \quad ; \quad F = 0. \quad (2.33)$$

Donc la quantification de la position de la D-brane doit provenir exclusivement de la contribution des termes du type (2.24). L'intégrale de B autour de la totalité du cercle singulier vaut naturellement k (puisque $\int_{SU(2)} H = k$), donc l'intégrale de B sur une surface à deux dimensions autour de la portion de ce cercle interceptée par la D-brane vaut

$$k \times \frac{\pi - 2\alpha_{min}}{2\pi} = \frac{k\Psi_0}{\pi} \in \mathbb{Z}. \quad (2.34)$$

Ainsi nous avons vérifié la concordance des conditions de quantification de la position des D-branes symétriques dans $SU(2)$, obtenues dans différents systèmes de coordonnées et pour différents choix de jauge du champ B .

Revenons maintenant à nos D-branes dans le groupe compact G . Nous voulons généraliser l'expression explicite eq. (2.27) du champ F , mais nous ne voulons pas choisir un système de coordonnées précis sur un groupe compact quelconque. Nous devons donc comprendre la structure algébrique du champ F . Il s'agit d'une deux-forme sur l'espace tangent à une classe de ω -conjugaison, qui est difféomorphe à G/T_0^ω . Dans un groupe de Lie, l'espace tangent en un point g est isomorphe à l'algèbre de Lie par translation à gauche par g^{-1} . Nous avons déjà utilisé cette propriété pour définir les champs de fond des cordes fermées, c'est-à-dire la métrique et le champ H , eq. (2.1). Nous pouvons aussi écrire la deux-forme $\omega = \hat{B} + F$ sur une classe de ω -conjugaison, qui généralise la deux-forme d'Alekseev-Schomerus (définie dans [AS99] sur les classes de conjugaison) [Sta00, BRS01],

$$\omega_g(u, v) = \left\langle g^{-1}u, \frac{1 + \omega \circ \text{Ad}_g}{1 - \omega \circ \text{Ad}_g} g^{-1}v \right\rangle. \quad (2.35)$$

Justifions cette formule. D'abord, elle a un sens si u, v appartiennent à l'espace tangent $g \text{Im}(1 - \omega \circ \text{Ad}_g)$ à la classe de ω -conjugaison qui passe par g . Cela permet de trouver un antécédent de $g^{-1}v$ par $(1 - \omega \circ \text{Ad}_g)$, ce qui explique que cet opérateur apparaisse au dénominateur, et cela nous assure que ω ne dépend pas du choix de cet antécédent (car deux choix différent par un élément de $\text{Ker}(1 - \omega \circ \text{Ad}_g)$, qui est orthogonal à $\text{Im}(1 - \omega \circ \text{Ad}_g)$ donc à $g^{-1}u$). Ensuite, elle provient naturellement des conditions de collage (2.12). Enfin, on vérifie que $d\omega = \hat{H}$. Attention! cette identité n'est valable

qu'en ce qui concerne les formes différentielles vivant sur la D-brane. Certes, il est tentant de prolonger ω en une deux-forme sur G_r , en définissant son action sur des vecteurs orthogonaux à notre D-brane comme triviale. Cependant, la deux-forme ainsi obtenue n'a pas pour différentielle H . Nous allons justement construire une nouvelle deux-forme F fermée sur la D-brane, telle que $d(\omega - F) = H$ si l'on prolonge ω et F comme je viens de le décrire. Cela nous fournira simultanément un choix de jauge $(\omega - F)$ pour le champ B , et le champ de jauge F sur la D-brane qui nous permettra d'évaluer les conditions de quantification.

La construction de F s'inspire de la méthode des orbites de Kirillov [Kir99]. Il s'agit des orbites de l'action coadjointe de G sur le dual de son algèbre de Lie \mathfrak{g} . Elles sont munies d'une structure symplectique naturelle, et notre deux-forme F est une généralisation de la forme symplectique correspondante. Explicitement, étant donnée une classe de ω -conjugaison Br paramétrée par un élément t de T_0^ω , on définit la deux-forme F_t sur Br par [BRS01]

$$F_t(u, v) = 2 \langle \exp^{-1} t, [h^{-1}u, h^{-1}v] \rangle. \quad (2.36)$$

Il faut d'abord remarquer que cette formule est écrite à l'aide de vecteurs u, v tangents à G/T_0^ω , c'est-à-dire d'antécédents par dq_t de vecteurs tangents à Br . Autrement dit, une autre notation pour la forme F est

$$F_g = 2 \left\langle \exp^{-1} g, \left[\frac{1}{1 - \omega \circ \text{Ad}_g} g^{-1} dg, \frac{1}{1 - \omega \circ \text{Ad}_g} g^{-1} dg \right] \right\rangle, \quad (2.37)$$

avec $g = ht\omega(h)^{-1}$. On vérifie que F_t ne dépend pas du choix des antécédents en question. Une autre ambiguïté provient du "logarithme" \exp^{-1} utilisé. Différentes définitions du logarithme correspondent bien à différentes valeurs de la forme F , mais la condition de quantification que nous allons en déduire ne sera pas affectée. Autrement dit, ce choix correspond à un choix de jauge du champ $B = \omega - F$ qui ne modifie pas la quantification (de tels choix de jauge sont reliés par les «grandes transformations de jauge»). Pour généraliser la forme F de $SU(2)$, et par simplicité, nous pouvons lever cette ambiguïté en supposant $\exp^{-1}(e) = 0$, où e est l'unité du groupe G .

Non seulement notre deux-forme F_t sur Br est fermée, mais le champ B correspondant $B = \omega - F$, défini en supposant $B(g \text{ Ker}(1 - \omega \circ \text{Ad}_g), *) = 0$, vérifie $dB = H$ sur G_r [BRS01]. Nous avons donc explicitement construit le champ B et la forme F , et on peut montrer qu'avec une telle valeur de F les classes de ω -conjugaison sont des

solutions des équations du mouvement de l'action de Born-Infeld. Nous pouvons maintenant imposer la condition de quantification pour en déduire les positions possibles des D-branes. Pour cela, il faut construire explicitement des générateurs de $\pi_2(Br)$.

Traisons d'abord le cas des classes de conjugaison. À chaque racine simple α nous associons naturellement un sous-groupe de G isomorphe à $SU(2)$ ou $SO(3)$, défini par $\exp(\text{Vect}(H^\alpha, E^{\pm\alpha}))$ (où $H^\alpha = \alpha^i H_i, E^{\pm\alpha}$ sont des éléments de \mathfrak{g} tels que $[H_i, E^\alpha] = \alpha^i E^\alpha, [E^\alpha, E^{-\alpha}] = H^\alpha$). L'intersection de ce sous-groupe avec la D-brane Br est une sphère S_α^2 , et on a $\int_{S_\alpha^2} F_t = \alpha(\exp^{-1} t)$. Appliqué à toutes les racines simples α , cet argument donne le réseau des positions physiques t des D-branes,

$$\exp^{-1} t \in L = \frac{2\pi}{k} L^w. \quad (2.38)$$

Ici L^w est le réseau des poids de l'algèbre de Lie \mathfrak{g} supposée simple, et on a utilisé la forme de Killing pour identifier $\exp^{-1} t$ avec un élément de ce réseau. Donc l'ensemble des D-branes est paramétré par l'ensemble fini L/\hat{W} , où $\hat{W} = W \rtimes \text{Ker}(\exp)$ est le groupe de Weyl étendu.

Si maintenant nous considérons un automorphisme ω non trivial, nous devons nous restreindre aux sous-groupes $SU(2)$ dont le générateur de Cartan est invariant par ω . On aboutit à la condition de quantification

$$\exp^{-1} t \in M = \frac{2\pi}{k} M_\omega^w, \quad (2.39)$$

où M_ω^w est le réseau des *poids fractionnaires symétriques* [FFFS00]. L'ensemble des D-branes est toujours paramétré par un ensemble fini $M/(W^\omega \rtimes \text{Ker}(\exp))$, où W^ω est le sous-groupe de W des éléments qui commutent avec ω .

2.2.3 Propriétés physiques et stabilisation par le flux

Nous connaissons maintenant les solutions de l'action de Born-Infeld correspondant aux D-branes en forme de classes de ω -conjugaison dans tout groupe compact G . Nous savons que la quantification du flux du champ F à travers les deux-cycles des D-branes réduit cet ensemble de solutions à un nombre fini de solutions physiques.

Il reste à montrer que nos solutions sont stables. Dans le cadre de la dynamique définie par l'action de Born-Infeld, la stabilité d'une solution équivaut à la positivité des masses carrées dans le spectre des fluctuations quadratiques autour de cette solution. Un autre intérêt de ce spectre est son interprétation comme la limite semi-classique du spectre des cordes ouvertes attachées à la D-brane en question. Cette interprétation

découle de la définition des D-branes comme surfaces où aboutissent les cordes ouvertes, et dont les cordes ouvertes définissent la dynamique.

Par commodité d'écriture, nous introduisons un système de coordonnées x^i quelconque sur G/T_0^ω . Pour chaque élément x^i de G/T_0^ω soit $h(x^i)$ un de ses représentants dans G (on identifie x^i avec $h(x^i)T_0^\omega$). Soient ψ^α des coordonnées sur T_0^ω . Soit e_i la projection orthogonale de $\partial_i h h^{-1}$ sur $\text{Im}(1 - \omega \circ \text{Ad}_g)$, avec $g = h t \omega(h)^{-1}$. Le vecteur e_i ne dépend pas de t car $\text{Im}(1 - \omega \circ \text{Ad}_g) = (\text{Lie} T_0^\omega)^\perp$ n'en dépend pas, puisque $g \in G_r$. Nous utiliserons aussi $u_\alpha = g^{-1} \partial_\alpha g$, ainsi (u_α, e_i) forme une base de \mathfrak{g} adaptée à la décomposition eq. (2.19). Si A est un opérateur linéaire sur $\text{Im}(1 - \omega \circ \text{Ad}_g)$, nous pouvons définir sa trace $\text{Tr} A = \langle e_i, A(e_i) \rangle$ et sa matrice $A_{ij} = \langle e_i, A(e_j) \rangle$. Réciproquement, nous interpréterons les tenseurs à deux indices comme éléments de matrice d'opérateurs sur $\text{Im}(1 - \omega \circ \text{Ad}_g)$ dans la base e_i .

Nous pouvons réécrire les champs physiques dans cette base, ainsi $F_{ij} = \langle \exp^{-1} t, [e_i, e_j] \rangle$ et $\omega_{ij} = \langle (1 - \omega \circ \text{Ad}_g)e_i, (1 + \omega \circ \text{Ad}_g)e_j \rangle$. Définissons maintenant le tenseur

$$\gamma_{ij}(x) = \langle e_i(x), e_j(x) \rangle. \quad (2.40)$$

Il s'agit de la métrique de corde ouverte sur la D-brane. La dérivée covariante et le Laplacien associés sont

$$\nabla^i = \frac{1}{\sqrt{\det \gamma}} \partial_j \sqrt{\det \gamma} \gamma^{ij} \quad (2.41)$$

$$\square = \nabla^i \partial_i. \quad (2.42)$$

Ce Laplacien est identique à l'opérateur de Casimir de l'action infinitésimale (par multiplication à gauche) de G sur G/T_0^ω .

Si l'on imagine que les coordonnées ψ_α dépendent de x_i , alors les fonctions $\psi_\alpha(x_i)$ décrivent un plongement quelconque de G/T_0^ω dans G . Nos D-branes correspondent au plongement $\psi_\alpha = \text{constante}$, et leurs fluctuations géométriques à une fluctuation $\delta\psi_\alpha$. Il faut aussi prendre en compte les fluctuations $\delta F = d\delta A$ du champ de jauge. On trouve que les fluctuations au second ordre de l'action de Born-Infeld sont :^{‡6}

$$\begin{aligned} \delta^{(2)} S_{BI}(t) &= \int_{G/T_0^\omega} dx^i \sqrt{\det(\hat{g} + \omega)} \times \\ &\times \left[\frac{1}{8} \gamma^{ij} \partial_i \delta\psi^\alpha \partial_j \delta\psi^\beta \delta_{\alpha\beta} - \frac{1}{8} \text{Tr}(ad_{u_\alpha} ad_{u_\beta}) \delta\psi^\alpha \delta\psi^\beta \right. \\ &\left. - \frac{1}{4} \text{Tr} \left(\delta F \frac{2}{1 - \omega \circ \text{Ad}_g} \delta F \frac{2}{1 - \omega \circ \text{Ad}_g} \right) - \frac{1}{8} \text{Tr}(\delta F ad_{u_\alpha}) \delta\psi^\alpha + \frac{1}{8} \text{Tr}^2 \left(\frac{2}{1 - \omega \circ \text{Ad}_g} \delta F \right) \right]. \end{aligned} \quad (2.43)$$

^{‡6}Ici nous écrivons explicitement les calculs pour une classe de ω -conjugaison, cas qui n'avait été qu'évoqué dans [BRS01].

On en déduit les équations du mouvement des fluctuations :

$$\delta\psi^\alpha : \quad \delta_{\alpha\beta} \square \delta\psi^\alpha + \text{Tr} (ad_{u_\alpha} ad_{u_\beta}) \delta\psi^\alpha + \frac{1}{2} \text{Tr} (\delta F ad_{u_\beta}) = 0, \quad (2.44)$$

$$\delta A_j : \quad -4(ad_{u_\alpha})^{ij} \partial_j \delta\psi^\alpha + \frac{1}{2} \langle e^i, [e^k, e^l] \rangle \delta F_{kl} + \nabla^k \delta F_k{}^i = 0. \quad (2.45)$$

Les fluctuations physiques doivent de plus obéir à un choix de jauge pour le champ δA , que nous choisissons G -invariante :

$$\nabla(\delta A) = 0. \quad (2.46)$$

Remarquons que la condition de jauge et les équations du mouvement sont indépendants de la position t de la D-brane. Nos équations deviennent plus simples si l'on introduit une fonction $f : G/T_0^\omega \rightarrow \mathfrak{g}$ pour effectuer le changement de variable :

$$\delta A_i = 2 \langle e_i, f \rangle, \quad \delta\psi^\alpha = \langle u^\alpha, f \rangle. \quad (2.47)$$

Alors la condition de jauge (2.46) devient

$$\langle e_i, \partial^i f \rangle = 0, \quad (2.48)$$

et les équations (2.44,2.45) deviennent

$$\langle u_\beta, \square f \rangle = 0, \quad \langle e_i, \square f \rangle = 0, \quad (2.49)$$

autrement dit

$$\square f = 0. \quad (2.50)$$

Il s'agit maintenant de résoudre les équations (2.50) et (2.48). En fait, cela n'a à proprement parler d'intérêt que si l'on ajoute au système une direction temporelle pour lui permettre d'osciller. On considère donc la D-brane $Br \times \mathbb{R}$ dans l'espace $G \times \mathbb{R}$. L'équation (2.50) est remplacée par l'équation aux valeurs propres de l'opérateur \square . Ainsi le spectre des cordes ouvertes coïncide dans la limite semi-classique avec le spectre du Laplacien de la métrique de corde ouverte, agissant sur l'espace $\text{Fon}(G/T_0^\omega)$ des fonctions sur la D-brane. Or, il a déjà été constaté dans [FFFS00] que ce spectre est bien la limite pour k grand du spectre de la même D-brane obtenu par des méthodes de théorie conforme au bord. Cette limite est indépendante de la position de la D-brane en question.

La structure algébrique du spectre mène aussi à un accord avec la théorie conforme. Le fait que les fluctuations soient paramétrées par un élément f de \mathfrak{g} assurent qu'elles correspondent aux états de niveau un d'une représentation de l'algèbre de Lie affine $\hat{\mathfrak{g}}$. Ainsi, l'ensemble des états de masse nulle forme une représentation adjointe de \mathfrak{g} ; ces états s'interprètent comme les modes de rotation de la D-brane dans le groupe G . La condition de jauge (2.48), elle, s'interprète comme une condition de Virasoro.

Nous pouvons aussi calculer l'énergie de Born-Infeld d'une classe de ω -conjugaison de position $\exp^{-1} t = 2\pi\lambda/k$. Si \det' désigne le déterminant d'un opérateur sur $\text{Im}(1 - \text{Ad}_t)$, nous trouvons

$$E_\lambda = S_{BI}(q_t, F_t) \propto \int_{G/T} \sqrt{\det \gamma_{ij}} \sqrt{\det'(1 - \omega \circ \text{Ad}_t)} \quad (2.51)$$

Dans le cas des classes de conjugaison ($\omega = \text{id}$), cette formule peut se mettre sous une forme particulièrement simple, où le produit porte sur les racines positives de l'algèbre de Lie \mathfrak{g} ,

$$E_\lambda \propto \prod_{\alpha > 0} \sin\left(\frac{\pi}{k}(\lambda, \alpha)\right). \quad (2.52)$$

Ces résultats sont en accord avec l'analyse de la théorie conforme au bord. Cette analyse sera présentée dans la section 3.1.2. On pourra alors vérifier qu'en ce qui concerne la position des D-branes, leur énergie et leur spectre des fluctuations quadratiques, nos résultats coïncident avec les quantités exactes dans la limite semi-classique de grand k , comme on devait s'y attendre. Mais il se trouve de plus que ces résultats obtenus avec l'action de Born-Infeld sont exacts à quelques détails près. En effet, il suffit de remplacer k par $k + g^\vee$ (où g^\vee est le nombre de Coxeter dual de l'algèbre de Lie \mathfrak{g}), de déplacer tous les poids λ par un vecteur constant et d'imposer au spectre des fluctuations la borne d'unitarité des représentations de l'algèbre de Lie affine $\hat{\mathfrak{g}}$, pour obtenir les résultats de théorie conforme. La renormalisation du niveau $k \rightarrow k + g^\vee$ étant un effet bien connu de théorie des cordes fermées, on peut dire que l'action de Born-Infeld donne dans le cas des classes de ω -conjugaison dans les groupes compacts^{‡7} des résultats exacts.

Or, l'action de Born-Infeld n'est pas elle-même exacte, mais reçoit toute une série de corrections dérivatives qui forment un développement en puissance de α' . C'est aussi le cas de la supergravité, dont les variétés de groupes sont cependant des solutions exactes

^{‡7}Nous avons souvent fait des hypothèses techniques de simplicité ou semi-simplicité du groupe G , mais il est facile d'étendre nos résultats à tous les groupes compacts.

(moyennant la renormalisation du niveau). Nos résultats peuvent donc s'interpréter comme des contraintes sur la structure de ces corrections dérivatives à l'action de Born-Infeld.

Un autre intérêt de ces résultats est qu'ils illustrent la puissance des actions effectives en théorie des cordes, et montrent qu'elles peuvent donner des informations au-delà de leur domaine de validité supposé. Ainsi nous avons obtenu des résultats exacts à partir de calculs semi-classiques sans sommer une série infinie de termes, mais en appliquant quelques règles simples.

L'exemple des D-branes dans $SU(2)$ est traité explicitement dans [BDS00], mais ce groupe n'a pas d'automorphisme extérieur, donc seules les classes de conjugaison sont prises en compte. En revanche, $SU(3)$ possède des classes de ω -conjugaison, cet exemple est traité dans [BRS01, Sta01]. En particulier, le groupe $SU(3)$ est de dimension huit, les classes de conjugaison régulières de dimension six et les classes de ω -conjugaison régulières de dimension sept.

2.3 Quelques généralisations

2.3.1 Groupes non compacts, le cas de $SL(2, \mathbb{R})$

Dans notre présentation des D-branes dans les groupes compacts, nous avons utilisé des arguments globaux pour déterminer les conditions de quantification portant sur le champ F , et donc sur la position, des D-branes. Ces arguments dépendent des propriétés structurelles précises des groupes compacts, et doivent donc être modifiés si l'on veut étudier les D-branes symétriques dans des groupes non compacts. En revanche, les calculs locaux, qui permettent d'écrire les solutions correspondantes de l'action de Born-Infeld, et de déterminer le spectre des fluctuations quadratiques, restent valables dans un contexte beaucoup plus général.

Nous n'avons pas déterminé les hypothèses exactes permettant la généralisation la plus large possible de ces résultats. En effet, l'intérêt physique d'une telle étude semble à l'heure actuelle plutôt limité. Nous allons cependant évoquer certaines propriétés des groupes non compacts qui seraient pertinentes pour l'étude des D-branes symétriques, avant de traiter l'exemple physiquement bien motivé des D-branes dans $SL(2, \mathbb{R})$.

Nous nous restreindrons aux groupes semi-simples. Certes, on a bien étudié les D-branes dans des groupes non semi-simples comme celui de Nappi-Witten [FOS00], mais

ces résultats sont très préliminaires, et chercher à bien comprendre les D-branes dans les groupes semi-simples est déjà un programme ambitieux, comme en témoignent les difficultés que nous rencontrerons. L'hypothèse de semi-simplicité est très pratique sur le plan technique car de nombreux résultats sont connus. Notamment, dans une algèbre de Lie semi-simple complexe deux sous-algèbres de Cartan sont toujours conjuguées, et dans une algèbre de Lie semi-simple réelle il existe un nombre fini de classes de conjugaison de sous-algèbres de Cartan. Nous verrons que ce nombre vaut deux dans le cas de $sl(2, \mathbb{R})$, et que les deux types de tores maximaux correspondant permettent de classifier les classes de conjugaison. Dans des cas plus généraux, certaines subtilités proviennent du fait que le sous-groupe de Cartan (défini comme le centralisateur d'une sous-algèbre de Cartan) n'est pas toujours abélien. Si l'on veut généraliser nos calculs locaux, cette propriété du sous-groupe de Cartan est cependant nécessaire. On peut s'assurer qu'elle est vérifiée en se restreignant à une partie dense du groupe G , mais il n'est pas clair qu'une telle restriction ait un sens physique.

Mais revenons au cas prototypique de $SL(2, \mathbb{R})$, où de telles subtilités n'interviennent pas. Nous exposerons l'intérêt physique des D-branes symétriques dans $SL(2, \mathbb{R})$ dans la prochaine sous-section, après que nous les aurons décrites.

D'abord, donnons quelques précisions sur la géométrie du groupe $SL(2, \mathbb{R})$. Commençons par définir AdS_3 comme l'hypersurface de $\mathbb{R}^{2,2}$ d'équation

$$-X_0^2 - X_1^2 + X_2^2 + X_3^2 = -L^2. \quad (2.53)$$

Cette équation est la condition nécessaire et suffisante pour qu'une matrice

$$g = \frac{1}{L} \begin{pmatrix} X^0 + X^3 & X^2 + X^1 \\ X^2 - X^1 & X^0 - X^3 \end{pmatrix}, \quad (2.54)$$

appartienne au groupe $SL(2, \mathbb{R})$. Cependant, l'utilisation des coordonnées globales,

$$\begin{cases} X_2 + iX_3 &= L \sinh \rho e^{i\theta} \\ X_0 + iX_1 &= L \cosh \rho e^{it} \end{cases}, \quad (2.55)$$

clarifie la différence entre AdS_3 (tel que $t \in \mathbb{R}$) et $SL(2, \mathbb{R})$ (tel que t est 2π -périodique). Ainsi, l'application de AdS_3 dans $SL(2, \mathbb{R})$ qui à (X_0, X_1, X_2, X_3) vérifiant (2.53) associe la matrice g de l'équation (2.54) est un recouvrement d'ordre infini dénombrable. Autrement dit, $SL(2, \mathbb{R})$ a la topologie d'un tore tridimensionnel plein ($\pi_1(SL(2, \mathbb{R})) = \mathbb{Z}$), alors qu' AdS_3 est un cylindre infini plein ($\pi_1(AdS_3) = \{1\}$). La métrique dans les

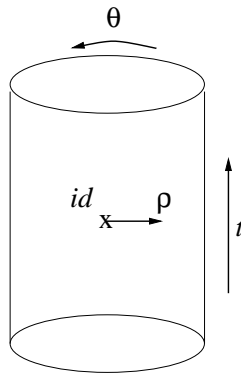


FIG. 2.4 – Les coordonnées globales d'AdS₃

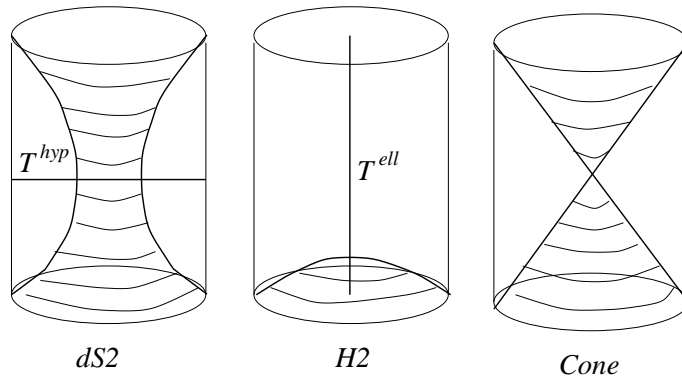


FIG. 2.5 – Tores maximaux et classes de conjugaison de $SL(2, \mathbb{R})$

coordonnées globales (voir la Figure 2.3.1) est :

$$ds^2 = L^2(-\cosh^2 \rho dt^2 + d\rho^2 + \sinh^2 \rho d\theta^2) = -dX_0^2 - dX_1^2 + dX_2^2 + dX_3^2. \quad (2.56)$$

Nous avons déjà annoncé que l'algèbre de Lie $sl(2, \mathbb{R})$ avait deux classes de conjugaison de sous-algèbres de Cartan. La première classe, elliptique, comprend la sous-algèbre engendrée par $\begin{pmatrix} 0 & 1 \\ -1 & 0 \end{pmatrix}$, le tore maximal qui lui correspond est

$$T^{\text{ell}} = \left\{ g = \begin{pmatrix} \cos t & \sin t \\ -\sin t & \cos t \end{pmatrix} \right\}. \quad (2.57)$$

L'équation de ce tore en coordonnées globales est $\rho = 0$. Les classes de conjugaison des éléments du tore T^{ell} lui sont orthogonales, ont la géométrie du plan hyperbolique H_2 , sont de genre espace, et ont pour équations

$$\text{Tr}g = \frac{2X_0}{L} = 2 \cosh \rho \cos t = \text{constante} \leq 2. \quad (2.58)$$

La deuxième classe de conjugaison de sous-algèbres de Cartan, hyperbolique, comprend les sous-algèbres engendrées par $\begin{pmatrix} 0 & 1 \\ 1 & 0 \end{pmatrix}$ et par $\begin{pmatrix} 1 & 0 \\ 0 & -1 \end{pmatrix}$, deux des tores maximaux (conjugués) qui correspondent sont

$$T^{\text{hyp}} = \left\{ g = \begin{pmatrix} \cosh \rho & \sinh \rho \\ \sinh \rho & \cosh \rho \end{pmatrix} \right\}, \quad T^{\text{hyp}'} = \left\{ g = \begin{pmatrix} e^\rho & 0 \\ 0 & e^{-\rho} \end{pmatrix} \right\}. \quad (2.59)$$

Les équations de ces tores en coordonnées globales sont respectivement $t = \theta = 0$ et $t = 0, \theta = \frac{\pi}{2}$. Les classes de conjugaison des éléments de ces tores, qui leurs sont orthogonales, ont la géométrie de l'espace de Sitter dS_2 , sont de genre temps, et ont pour équations

$$\text{Tr}g = \frac{2X_0}{L} = 2 \cosh \rho \cos t = \text{constante} \geq 2. \quad (2.60)$$

Ainsi, on trouve des D-branes de genre temps orthogonales à des tores maximaux de genre espace et vice-versa (voir la Figure 2.3.1). Il existe également des D-branes de genre lumière, qui sont engendrées par (et orthogonales à) des tores maximaux de genre lumière, que l'on obtient en exponentiant des sous-algèbres nilpotentes de $sl(2, \mathbb{R})$. Par exemple, celle engendrée par $\begin{pmatrix} 0 & 1 \\ 0 & 0 \end{pmatrix}$, correspond au tore

$$T^{\text{lum}} = \left\{ g = \begin{pmatrix} 1 & 2 \sinh \rho \\ 0 & 1 \end{pmatrix} = \begin{pmatrix} 1 & 2 \tan t \\ 0 & 1 \end{pmatrix} \right\}. \quad (2.61)$$

Les D-branes de genre lumière sont le cône de lumière de futur, celui du passé, et l'identité de $SL(2, \mathbb{R})$. Ensemble, elles forment le cône de lumière de l'espace AdS_3 , d'équation

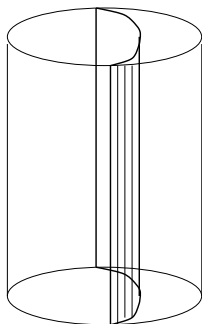
$$\text{Tr}g = \frac{2X_0}{L} = 2 \cosh \rho \cos t = 2. \quad (2.62)$$

Le groupe $SL(2, \mathbb{R})$ dispose de plus d'un automorphisme extérieur ω , la conjugaison par la matrice

$$\Omega = \begin{pmatrix} 0 & 1 \\ 1 & 0 \end{pmatrix} \in GL(2, \mathbb{R}). \quad (2.63)$$

Contrairement à ce qui peut se produire dans les groupes compacts, il existe un tore maximal T^{hyp} invariant point par point par cet automorphisme extérieur. Donc, les classes de ω -conjugaison ont la même dimension, deux, que les classes de conjugaison régulières. Leur géométrie est AdS_2 et leurs équations sont

$$\text{Tr}\Omega g = \frac{2X_2}{L} = 2 \sinh \rho \cos \theta = \text{constante}. \quad (2.64)$$

FIG. 2.6 – Une classe de ω -conjugaison de $SL(2, \mathbb{R})$

Ce sont donc des D-branes statiques (voir la Figure 2.3.1). Cette propriété est une des raisons pour laquelle l'étude de ces D-branes est plus aisée que celle des autres : on peut en effet effectuer le prolongement analytique $t \rightarrow it$ et obtenir des D-branes statiques dans l'espace Euclidien H_3 . Certes, le prolongement analytique a aussi un sens pour les classes de conjugaison H_2 , mais comme elles ne sont pas statiques il est beaucoup moins clair que l'on puisse interpréter des résultats obtenus dans H_3 pour les décrire. En particulier, leur couplage aux états des cordes fermées vivant dans les représentations discrètes n'a pas d'équivalent dans H_3 .

L'étude des D-branes AdS_2 est non seulement la plus simple techniquement, mais elle est aussi motivée par des considérations physiques, en particulier holographiques, que nous allons maintenant évoquer.

2.3.2 Propriétés des D-branes AdS_2 dans AdS_3

Nous avons déjà montré comment AdS_3 apparaît dans la limite proche de l'horizon de configurations de branes, dans un contexte qui se prête à la correspondance AdS/CFT. Il est intéressant de constater que les D-branes AdS_2 ont aussi une interprétation dans cette configuration de branes [BP01, Bac], et de considérer les objets duaux dans la théorie conforme au bord d' AdS_3 [BdBDO02, Bac02].

Les objets de base sont des jonctions d'objets solitoniques (D1-branes, D5-branes, NS5-branes, cordes fondamentales) de la théorie des cordes de type IIB. À la configuration de NS5-F1 qui crée la brane noire de la supergravité dont la limite proche de l'horizon est $AdS_3 \times S^3 \times \mathbb{R}^4$, on peut ajouter un état lié de cordes-test D1 et F1 dont on néglige l'influence sur les champs de la supergravité. Ces cordes-test s'interprètent dans la limite proche de l'horizon comme une D-brane $AdS_2 \times S^2$ dans $AdS_3 \times S^3$. Plus précisément, si l'on a p D1-branes, on peut montrer que l'on obtient une D-brane S^2

dans S^3 de nombre quantique p , et une D-brane AdS_2 droite (constante = 0).

Si maintenant on ajoute q cordes fondamentales F1, on change le paramètre de la D-brane AdS_2 de manière quantifiée. Comme $\pi_2(AdS_2)$ est trivial, cette quantification n'a pas la même interprétation que celle de la position des D-branes S^2 dans $SU(2)$. La condition trouvée par [BP01] est

$$\sinh \rho \cos \theta = q \frac{T_F}{p T_D}, \quad q \in \mathbb{Z}, \quad (2.65)$$

où $T_F = \frac{1}{2\pi\alpha'}$ et T_D sont les tensions respectives de la corde fondamentale et de la D1-brane. Cette condition a un statut tout-à-fait différent de celle de la D-brane S^2 et provient véritablement de la théorie des cordes et pas seulement de la théorie conforme. Cela peut se voir dans le fait qu'elle s'exprime en fonction de T_F/T_D alors que la quantification de S^2 ne dépend que du niveau k . Donc, si l'on construit les objets correspondants en théorie conforme, à savoir les états de bord associés aux D-branes AdS_2 , on s'attend à en trouver une famille dépendant d'un paramètre continu, non quantifié.

Une autre propriété intéressante des D-branes $AdS_2 \times S^2$ est qu'elles sont supersymétriques [BP01]. En fait, elles préservent 8 des 16 supersymétries de l'espace-temps $AdS_3 \times S^3 \times \mathbb{R}^4$ (qui lui-même est la limite proche de l'horizon d'une configuration de NS5-F1 préservant 8 des 32 supersymétries de la théorie des cordes de type IIB). Ces supersymétries garantissent la stabilité de ces D-branes au-delà de la limite semi-classique. De plus, elles pourraient contribuer à expliquer l'exactitude surprenante des résultats obtenus au moyen de l'action de Born-Infeld. Cependant, cette explication n'est pas valable pour les groupes compacts plus généraux, alors que la propriété d'exactitude persiste comme nous l'avons montré. Elle doit donc avoir une explication plus profonde liée à la symétrie de groupe.

Nous allons maintenant évoquer l'interprétation holographique des D-branes AdS_2 proposée par [BdBDO02, Bac02]. Ces D-branes atteignent le bord bidimensionnel d' AdS_3 , où elles dessinent des trajectoires statiques unidimensionnelles. Nous appellerons ces trajectoires des interfaces. Elles divisent le bord d' AdS_3 en différents domaines, où vivent différentes théories conformes. Cependant ces interfaces sont perméables, autrement dit les théories conformes interagissent entre elles.

L'étude des D-branes AdS_2 ne manque donc pas de motivations physiques. Jusqu'à maintenant, l'interprétation holographique de ces D-branes s'est contentée d'en utiliser la géométrie et les propriétés semi-classiques, par exemple pour calculer la force s'ex-

erçant entre deux interfaces. Il pourra être intéressant d'étudier en détail l'impact d'une connaissance approfondie de ces D-branes sur ces calculs.

2.3.3 Cordes ouvertes sur les D-branes AdS_2

Les méthodes semi-classiques permettent d'obtenir certaines informations sur les D-branes AdS_2 et notamment leur spectre de cordes ouvertes, sans cependant conduire à des résultats aussi précis et aussi généraux que dans le cas des groupes compacts.

D'abord, l'étude des solutions et des fluctuations de l'action de Born-Infeld que nous avons exposée dans les groupes compacts s'applique fort bien aux D-branes dans $SL(2, \mathbb{R})$. Nous n'allons donc pas reproduire les calculs dans le cas des D-branes $AdS_2 \times S^2$, qui ont été effectués dans [PR01] et ont suggéré la généralisation aux groupes compacts. Notons cependant que des calculs similaires sont possibles dans un cas S-dual [Cou03]. Bien sûr, nous n'obtenons pas ainsi de condition de quantification, et les informations sur le spectre des cordes ouvertes doivent être interprétées avec soin.

Les résultats du calcul sont les suivants : le spectre des cordes ouvertes d'une D-brane donnée est indépendant des paramètres (p, q) de la D-brane, définis par l'équation (2.65). Sa structure algébrique est identique à celle que nous avons décrite dans le cas des groupes compacts, c'est-à-dire que les fluctuations s'interprètent comme des états de niveau un de l'algèbre de Lie affine du groupe $SL(2, \mathbb{R}) \times SU(2)$, soumis à la condition de Virasoro. La structure analytique fait intervenir les fonctions sur $AdS_2 \times S^2$ de Laplacien nul (ce Laplacien coïncide encore avec le Casimir de l'action du groupe sur ses classes de ω -conjugaison). Comme le Laplacien est positif sur $SU(2)$, le terme provenant de $SL(2, \mathbb{R})$ doit être négatif, et donc correspondre à des représentations discrètes de $SL(2, \mathbb{R})$.

Ce résultat n'est pas surprenant du point de vue de la théorie des cordes. En effet, si l'on omet le flot spectral et que l'on impose la condition de couche de masse, le spectre des cordes fermées dans $AdS_3 \times S^3 \times \mathbb{R}^4$ ne comprend que des représentations discrètes. La condition de couche de masse est l'équivalent quantique de l'équation de Born-Infeld portant sur l'annulation du Laplacien. Le flot spectral modifie certes la situation, mais l'analyse semi-classique n'y est pas sensible, car elle ne prend en compte que la sous-algèbre de Lie $sl(2, \mathbb{R})$ de niveau zéro de l'algèbre de Lie affine $\widehat{sl}(2, \mathbb{R})$, sous-algèbre qui n'est pas préservée par le flot spectral.

Le spectre semi-classique des D-branes AdS_2 comporte donc toutes les représentations discrètes avec le même poids, comme elles apparaissent dans l'espace des fonctions

sur AdS_2 . Au niveau quantique, il faut s'attendre à devoir imposer la contrainte d'unitarité et la symétrie du flot spectral comme dans le cas des cordes fermées [MO01]. Cependant, il est tentant de conjecturer par analogie avec le cas des D-branes dans $SU(2)$ que la densité des représentations discrètes ne reçoit pas de corrections [Rib02], et reste indépendante de la D-brane et du spin j de la représentation considérée. En effet, si l'on admet que l'exactitude des résultats semi-classiques dans $SU(2)$ est liée à l'annulation des contributions des corrections à l'action de Born-Infeld, alors ces contributions doivent aussi s'annuler dans notre cas par prolongement analytique.

Nous avons un peu hâtivement affirmé que le spectre des cordes ouvertes de la D-brane AdS_2 devait respecter la symétrie du flot spectral. Cela suppose que cette symétrie ne soit pas brisée par la D-brane, ce qui demande une vérification. On peut étudier pour cela les solutions de la théorie des cordes ouvertes. Nous connaissons déjà les solutions classiques des cordes fermées dans une variété de groupe, eq. (2.5). Il est possible de trouver la solution tout aussi générale pour une corde ouverte dont chaque bout est fixé sur une D-brane donnée, à condition que ces D-branes soient deux classes de ω -conjugaison respectant les mêmes symétries (dans notre cas, deux D-branes AdS_2 de paramètres éventuellement différents). Si m, \bar{m} sont deux éléments des classes de ω -conjugaison en question, la solution est [PR01, GTTNB01]

$$g = a(x_+) m \omega(a(x_-))^{-1}, \quad (2.66)$$

$$a(x + 2\pi) = a(x) \omega^{-1}(m^{-1} \bar{m}). \quad (2.67)$$

On peut maintenant étudier la préservation du flot spectral par la D-brane AdS_2 . L'action du flot spectral sur la matrice a ci-dessus,

$$a(x) \rightarrow e^{wxJ} a(x), \quad (2.68)$$

est bien définie à condition que $\omega(J) = -J$, si J est la matrice de $sl(2, \mathbb{R})$ utilisée dans la définition du flot spectral eq. (2.8). On trouve facilement une telle matrice $J = \begin{pmatrix} 0 & \frac{1}{2} \\ -\frac{1}{2} & 0 \end{pmatrix}$.

Nous considérons des cordes ouvertes avec deux extrémités sur la même D-brane, il faut donc que le flot spectral préserve la condition $a(x + 2\pi) = a(x)$, ce qui est le cas seulement si w est pair. Sinon, un des bouts de la corde ouverte migre sur la D-brane symétrique par rapport à la ligne $\rho = 0$, autrement dit celle obtenue par constante \rightarrow $-$ constante dans l'équation (2.64), soit $q \rightarrow -q$ si l'on prend en compte la quantification (voir la Figure 2.3.3). Dans le cas de la D-brane droite, constante = $q = 0$, tout le flot

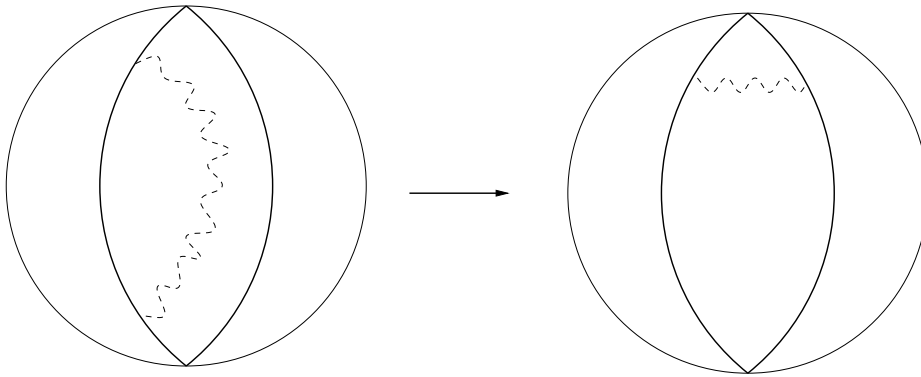


FIG. 2.7 – Une corde ouverte sur une D-brane AdS_2 et son image par le flot spectral $w = 1$, en projection sur le plan (ρ, θ)

spectral est préservé. Une autre particularité de cette D-brane est que les solutions de cordes ouvertes qui y aboutissent se prolongent par réflexion à des solutions de cordes fermées dans AdS_3 . Cela conduit à conjecturer [PR01] que leur spectre est la «moitié» du spectre des cordes fermées, ce qui a été prouvé par un calcul de fonction de partition dans [LOPT01]. Un autre argument de [LOPT01] montre que la symétrie complète du flot spectral est restaurée dans le secteur des représentations discrètes. Cela n'est pas très surprenant compte tenu du fait que la matrice J qui définit le flot spectral doit être de genre temps, tout comme les trajectoires des cordes courtes correspondant aux états discrets du spectre.

En résumé, les arguments semi-classiques suggèrent que le spectre discret ne dépend pas de la position de la D-brane AdS_2 , y compris en ce qui concerne le flot spectral ; et qu'il est donc toujours identique au spectre discret de la D-brane droite $\theta = \frac{\pi}{2}$, qui vaut la moitié du spectre des cordes fermées dans AdS_3 . En revanche, dans le secteur continu, seule la moitié du flot spectral est préservée, et on s'attend de plus à ce que le spectre dépende de la position de la D-brane. Pour en savoir plus, il faut recourir à la théorie conforme, et tirer profit de la staticité de la D-brane AdS_2 pour effectuer une rotation de Wick $t \rightarrow it$ et passer dans l' AdS_3 Euclidien, H_3 . C'est ce que nous ferons dans le prochain chapitre.

Chapitre 3

Groupes, D-branes et théorie conforme

Nous abandonnons maintenant la théorie effective de basse énergie, décrite par l'action de Born-Infeld, au profit d'une description des D-branes exacte en α' . Nous faisons cependant toujours l'approximation que nos branes-tests ne modifient pas l'espace-temps.

La description exacte des D-branes fait appel à la théorie conforme à deux dimensions avec bord, théorie définie sur la surface d'univers d'une corde ouverte. Dans le cas des groupes compacts, cette théorie est rationnelle, elle peut être décrite au moyen d'un nombre fini de champs. Le cas non compact est nettement plus compliqué, car le produit de deux opérateurs fait en général intervenir un nombre infini d'opérateurs. Cette difficulté sera circonvenue au moyen d'hypothèses d'analyticité sur les quantités physiques associées aux D-branes, comme les états de bord. Ces hypothèses d'analyticité nous permettront d'utiliser certains opérateurs non physiques, dits dégénérés, dont les produits d'opérateurs comportent des termes en nombre fini.

Un autre genre d'hypothèse d'analyticité sera nécessaire pour s'occuper d'un espace-temps minkowskien comme AdS_3 . On utilisera alors la rotation de Wick, $t \rightarrow it$, pour passer à l'espace euclidien H_3 .

3.1 D-branes symétriques dans les groupes compacts

(II)

Dans cette section, nous allons étudier les D-branes symétriques qui ont fait l'objet de la section 2.2 du point de vue de la théorie conforme avec bord. Nous rappellerons donc des notions de théorie conforme qui serviront aussi par la suite dans le cas non compact. Des notions de théorie conforme supplémentaires peuvent être trouvées dans [Sch02] et [AS02].

3.1.1 Groupes compacts et théorie conforme rationnelle

Rappelons quelques propriétés de la théorie des cordes fermées dans les groupes compacts que nous avons évoquées dans la section 2.1.1. D'abord, la théorie se factorise en deux secteurs, appelés secteur droit et secteur gauche. Chaque secteur est muni d'une algèbre de Kac-Moody ou algèbre de Lie affine $\hat{\mathfrak{g}}$, dont l'algèbre enveloppante contient l'algèbre de Virasoro. Cette algèbre s'appelle l'algèbre chirale de la théorie. La symétrie correspondante est préservée au niveau quantique. Cela se traduit par le fait que le spectre s'organise en représentations de cette algèbre, et par des identités de Ward sur les fonctions de corrélation des champs correspondant aux états du spectre.

Les représentations de $\hat{\mathfrak{g}}$ qui interviennent dans le spectre de la théorie des cordes dans un groupe compact doivent être des représentations de plus haut poids pour que l'énergie L_0 soit bornée inférieurement, et obéir à la contrainte d'unitarité pour que les observables physiques prennent des valeurs réelles. Cette contrainte d'unitarité est définie par rapport à la conjugaison naturelle des générateurs de l'algèbre de Lie affine,

$$(J_n^a)^* = J_{-n}^a. \quad (3.1)$$

Pour une représentation de plus haut poids construite à partir des états $|PHP\rangle$ d'une représentation unitaire de \mathfrak{g} , qui vérifient donc $\langle PHP|PHP\rangle > 0$, on évalue ainsi l'unitarité en calculant les normes au carré des états $J|PHP\rangle$ obtenus par l'action d'un produit J de générateurs de $\hat{\mathfrak{g}}$, ces normes au carré valent $\langle PHP|J^*J|PHP\rangle$. Il apparaît alors qu'un nombre fini de représentations de plus haut poids de $\hat{\mathfrak{g}}$ sont unitaires, et peuvent être utilisées pour construire une théorie des cordes. La finitude est directement liée au caractère compact du groupe en question, et est violée par tous les groupes non compacts à commencer par \mathbb{R} .

Dans le cas de $SU(2)$, la contrainte d'unitarité pour une représentation de plus haut poids construite à partir d'une représentation de spin j de $SU(2)$ est

$$j \leq \frac{k}{2}. \quad (3.2)$$

La contrainte d'unitarité pour une représentation donnée est parfois appelée «théorème d'absence de fantômes», où les «fantômes» sont les états de norme carrée négative.

Le modèle de Wess-Zumino-Witten à un niveau k donné est donc construit à partir d'un nombre fini de représentations d'une algèbre de symétrie qui contient l'algèbre de Virasoro, cette dernière définit la symétrie conforme. Il s'agit donc d'un exemple de *théorie conforme rationnelle*. Nous avons déjà précisé le spectre $Spec(G)$ du modèle associé à un groupe G (voir la formule (2.7)), mais il ne s'agit pas du seul modèle que l'on puisse construire à partir de l'algèbre de symétrie $\hat{\mathfrak{g}}$. En fait, il est commode de définir le spectre au moyen de la *fonction de partition du tore*, définie par

$$Z(q) = \text{Tr}_{Spec(G)} q^{L_0 - \frac{c}{24}} \bar{q}^{\bar{L}_0 - \frac{c}{24}}. \quad (3.3)$$

Ici $q = e^{2\pi i\tau}$, où le nombre complexe τ est le paramètre modulaire d'un tore à deux dimensions, qui représente une topologie possible (de genre 1) de la surface d'univers d'une corde fermée. Comme le spectre se décompose en représentations de $\hat{\mathfrak{g}}$, $Z(q)$ se décompose en caractères de $\hat{\mathfrak{g}}$. Si \hat{R} est une représentation de $\hat{\mathfrak{g}}$, son caractère est

$$\chi_{\hat{R}}(q) = \text{Tr}_{\hat{R}} q^{L_0 - \frac{c}{24}}. \quad (3.4)$$

Les spectres possibles de théories ayant une symétrie donnée doivent obéir à la contrainte physique d'invariance modulaire : $Z(q)$ doit être invariant sous le groupe modulaire, qui relie les paramètres τ de tores équivalents. Ce groupe est engendré par les transformations

$$T : \tau \rightarrow \tau + 1, \quad S : \tau \rightarrow -\frac{1}{\tau}. \quad (3.5)$$

On note $\tilde{q} = e^{-2i\pi/\tau}$ l'image par S du paramètre q . Si l'invariance par T est fort peu contraignante, et sera automatiquement satisfaite dans les théories que nous considérerons, l'invariance par S est en revanche une contrainte non triviale. On peut montrer que la fonction de partition du modèle de Wess-Zumino-Witten,

$$Z^{WZW}(q) = \sum_{R \in Rep_k(G)} \chi_{\hat{R}}(q) \chi_{\hat{R}^\dagger}(\tilde{q}), \quad (3.6)$$

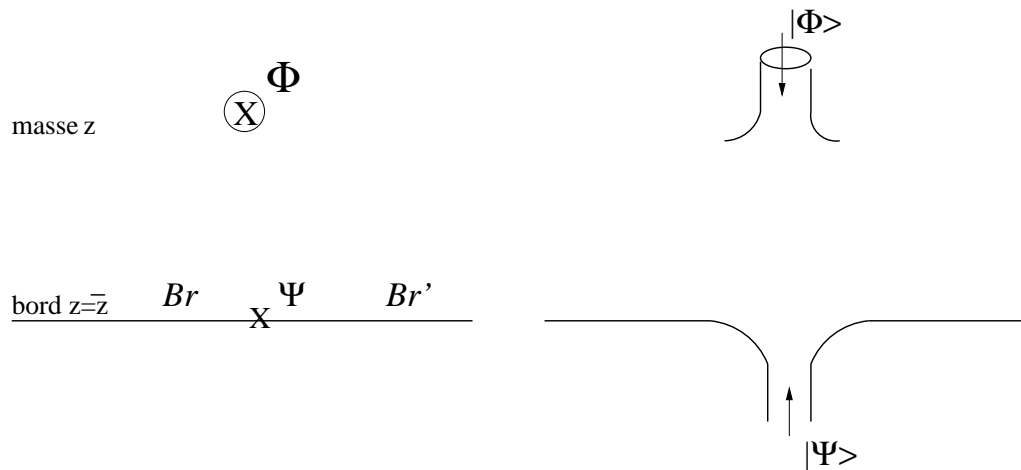


FIG. 3.1 – Des champs de cordes fermées Φ et ouvertes Ψ (ce dernier change les conditions au bord de Br en Br'). Les états de cordes $|\Phi\rangle$ et $|\Psi\rangle$ correspondants.

est invariante modulaire. Cette fonction de partition est un invariant modulaire *diagonal*, car une représentation est systématiquement couplée avec la représentation conjuguée. Pour prouver cette invariance modulaire, il est essentiel de noter que le groupe modulaire possède une représentation non triviale dans l'espace $Vect(Rep_k(G))$ qui a pour base $Rep_k(G)$, définie par

$$\chi_{\hat{R}}(\tilde{q}) = \sum_{R' \in Rep_k(G)} S_R^{R'} \chi_{\hat{R}'}(q). \quad (3.7)$$

La matrice^{†1} $S_R^{R'}$ ou *matrice* S , qui définit l'action de la transformation modulaire S dans cette représentation, est symétrique et unitaire (par rapport à la métrique triviale $\delta_{RR'}$ et à la conjugaison $R \rightarrow R^\dagger$ des représentations), ce qui assure l'invariance modulaire de Z^{WZW} .

Les autres quantités physiques intéressantes du modèle sont les fonctions de corrélation. Une fois le modèle défini par sa fonction de partition, celles-ci peuvent être calculées et s'expriment à l'aide d'autres données de la théorie des représentations de $\hat{\mathfrak{g}}$.

3.1.2 Solutions de Cardy et branes symétriques

Nous avons expliqué que le modèle de Wess-Zumino-Witten était une théorie conforme rationnelle, décrivant la propagation de cordes fermées dans des groupes com-

^{†1}La matrice $S_R^{R'}$ dépend naturellement de k et de $Rep_k(G)$, et pas seulement des représentations R, R' de l'algèbre de Lie \mathfrak{g} .

pacts. La construction additionnelle pour décrire les cordes ouvertes est la théorie conforme avec bord. Elle dépend fortement de la théorie des cordes fermées correspondantes. D'abord elle contient tous les opérateurs de cette théorie, qui décrivent l'insertion de cordes fermées dans la *masse* (c'est-à-dire ailleurs qu'au bord), et doivent se comporter loin du bord sans en ressentir la présence (par localité). Il faut y ajouter les opérateurs au bord, qui décrivent l'insertion de cordes ouvertes au bord. L'influence du bord sur les cordes ouvertes est définie au moyen de conditions au bord, et les opérateurs au bord modifient ces conditions (voir la figure 3.1.2).

La théorie conforme au bord est donc définie par un ensemble de données comprenant celles de la théorie dans la masse, et soumises à d'autres conditions de cohérence qui leur sont propres.

Une donnée de base d'une théorie des cordes ouvertes est naturellement son spectre. Nous nous intéressons aux D-branes symétriques Br , dont les conditions de collage en $z = \bar{z}$, qui s'écrivent $J = \bar{J}$ ou $J = \omega(\bar{J})$, respectent l'algèbre chirale des symétries des cordes fermées. Ce spectre $Spec_{Br}(G)$ s'organise donc lui aussi en représentations de cette algèbre chirale, et la fonction de partition correspondante se décompose en représentations de l'algèbre de Lie affine $\hat{\mathfrak{g}}$. La fonction de partition des cordes ouvertes s'étirant entre deux D-branes Br, Br' , qui s'écrira au moyen des caractères de ces représentations, se calcule au moyen d'une boucle de corde ouverte,

$$Z_{Br, Br'}^{\text{ouv}}(q) = \text{Tr}_{Spec_{Br, Br'}(G)} q^{L_0 - \frac{c}{24}}, \quad (3.8)$$

$$= \sum_{R \in Rep_k(G)} n_{Br, Br'}^{\hat{R}} \chi_{\hat{R}}(q). \quad (3.9)$$

Nous définissons ainsi les entiers $n_{Br, Br'}^{\hat{R}}$, multiplicités des représentations de $\hat{\mathfrak{g}}$ dans le spectre $Spec_{Br, Br'}(G)$.

On ne peut pas à proprement parler d'invariance modulaire pour le diagramme du cylindre comme pour la fonction de partition du tore, cependant l'équivalent de la transformation modulaire S est la dualité entre cordes ouvertes et cordes fermées. En effet, le diagramme du cylindre décrit aussi bien une boucle d'une corde ouverte étirée entre les D-branes Br et Br' , que l'émission d'une corde fermée par Br suivie de son absorption par Br' (voir la figure 3.1.2). Ces processus d'émission et d'absorption sont eux-mêmes décrits par le couplage des D-branes aux états de cordes fermées, qui définissent les *états de bord*. Plus précisément, si Φ est un champ (ce que nous avons appelé plus haut un opérateur) appartenant au spectre des cordes fermées, la fonction à un point de Φ peut être non nulle en présence d'un bord (naturellement, elle doit tendre

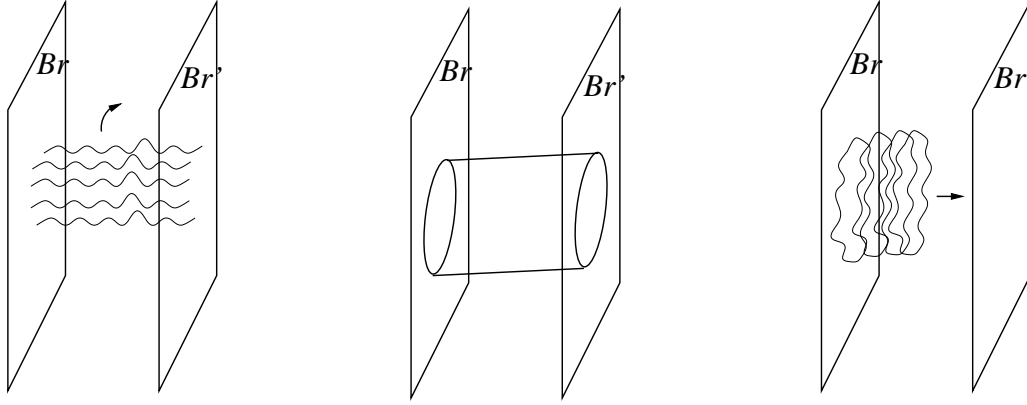


FIG. 3.2 – Le diagramme du cylindre entre deux branes Br et Br' , et son interprétation en termes de cordes ouvertes et fermées.

vers zéro loin du bord). Si ce bord est défini par une D-brane Br , on obtient la quantité $\langle \Phi \rangle_{Br}$. On peut montrer que la donnée de cette quantité pour tout champ Φ suffit à décrire la D-brane Br ; ces informations sont équivalents à la définition d'un *état de bord* appartenant à l'espace de Hilbert des cordes fermées, qui s'écrit schématiquement^{‡2}

$$|Br\rangle = \sum_{\Phi} \left\langle \Phi(z = \frac{i}{2}) \right\rangle_{Br} |\Phi\rangle, \quad (3.10)$$

où l'on somme sur une base de cet espace de Hilbert. Le calcul du diagramme du cylindre donne donc :^{‡3}

$$Z_{Br,Br}^{\text{cyl}}(q) = \langle Br | q^{L_0 + \bar{L}_0 - \frac{c}{24}} | Br \rangle. \quad (3.11)$$

La *condition de Cardy*, qui réalise l'équivalent de la transformation modulaire S , est :

$$Z_{Br,Br}^{\text{cyl}}(\tilde{q}) = Z_{Br,Br}^{\text{ouv}}(q). \quad (3.12)$$

Même si l'on ne connaît pas le spectre des cordes ouvertes, la condition de Cardy restreint les états de bord possibles par l'exigence que les multiplicités $n_{Br,Br}^{\hat{R}}$, qui apparaissent dans $Z_{Br,Br}^{\text{ouv}}(q)$, soient entières. Cette condition s'applique non seulement à chaque D-brane comme nous l'avons écrite, mais aussi naturellement au spectre des cordes ouvertes entre deux D-branes, si bien que dans certains cas il peut exister des familles de D-branes incompatibles (voir [GRW02]). Dans ces cas-là, « $Z_{Br,Br}^{\text{cyl}}$ vérifie

^{‡2}Ici et par la suite, nous négligeons des coefficients de module un des états de bord, car ils n'affectent pas les calculs de type Cardy que nous effectuerons.

^{‡3}Nous négligeons des subtilités liées à la parité CPT de la surface d'univers.

la condition de Cardy» est une relation d'équivalence entre les D-branes Br, Br' qui détermine plusieurs classes d'équivalence distinctes.

L'importance de la condition de Cardy vient du fait qu'en général la donnée de conditions au bord ne suffit pas à définir une D-brane. Les conditions de collage de nos D-branes symétriques, $J = \omega(\bar{J})$, s'expriment par la contrainte linéaire

$$(J_n^a - \omega(\bar{J}_{-n}^a)) |Br\rangle = 0. \quad (3.13)$$

De façon très générale, une base de l'espace des solutions est connue : il s'agit des *états d'Ishibashi*. Son cardinal est $|Rep_k(G)|$, autrement dit à chaque champ du spectre des cordes fermées correspond un état d'Ishibashi $|R\rangle$. On peut même choisir les états d'Ishibashi de telle sorte que

$$\langle\langle R|q^{L_0 + \bar{L}_0 - \frac{c}{24}}|R'\rangle\rangle = \delta_{R,R'} \chi_{\hat{R}}(q). \quad (3.14)$$

La théorie conforme avec bord associée à une D-brane doit vérifier de nombreuses conditions de cohérence [Lew92]. Nous nous intéresserons pour l'instant à la condition de Cardy, qui est non-linéaire. La solution en est connue sous des hypothèses assez générales [Car89], qui s'appliquent au cas des D-branes symétriques dans les groupes compacts. Il existe ainsi un nombre fini de D-branes, paramétrées par les éléments de $Rep_k(G)$. Les états de bord correspondants, appelés *états de Cardy*, sont

$$|R\rangle = \sum_{R' \in Rep_k(G)} \frac{S_R^{R'}}{\sqrt{S_0^{R'}}} |R'\rangle, \quad (3.15)$$

où 0 désigne la représentations triviale à une dimension de \mathfrak{g} . On peut en déduire les coefficients $n_{R_1, R_2}^{\hat{R}_3}$ du spectre des cordes ouvertes,

$$n_{R_1, R_2}^{\hat{R}_3} = \sum_{R \in Rep_k(G)} \frac{S_{R_1}^R S_{R_2}^{R^\dagger} S_{R^\dagger}^{R_3}}{S_0^R}, \quad (3.16)$$

qui sont entiers d'après la formule de Verlinde, qui les relie à certains *coefficients de fusion* de l'algèbre de Lie affine $\hat{\mathfrak{g}}$.

Montrons maintenant en quoi ces résultats sont en accord avec l'analyse de la section 2.2.2, basée sur l'action de Born-Infeld. Nous allons pour cela suivre [FFFS00]. D'abord, les éléments de $Rep_k(G)$ sont paramétrés par les vecteurs de poids λ correspondants. Dans le cas où l'algèbre de Lie \mathfrak{g} est simple, $Rep_k(G)$ comprend une partie finie du réseau des poids à cause de la condition d'unitarité, plus précisément

$$Rep_k(G) = \frac{L^w}{W \rtimes \frac{k}{2\pi} \text{Ker}(\exp)}. \quad (3.17)$$

Les états de Cardy sont bien paramétrés par cet ensemble, mais n'ont pas exactement les mêmes positions que nos solutions des équations de Born-Infeld. Ces positions sont en effet

$$\exp^{-1} t = 2\pi \frac{\lambda + \rho}{k + g^\vee}, \quad (3.18)$$

où λ est un poids. La différence avec nos solutions réside dans les termes g^\vee , qui correspond à la renormalisation du niveau déjà évoquée, et ρ , qui est un vecteur constant. On retrouve nos solutions dans la limite où k est grand et où λ est proportionnel à k .

Dans le cas des classes de ω -conjugaison, il faut considérer un ensemble $Rep_k^\omega(G)$ de poids fractionnels symétriques (invariants par ω), et les positions des D-branes sont à l'avenant. L'accord avec les résultats semi-classiques est toujours «presque exact».

Enfin, on peut comparer le spectre des cordes ouvertes avec celui des fluctuations quadratiques. Le premier, qui comporte un nombre fini de représentations, est une troncation du second, qui les comporte toutes. Plus k est grand, moins de représentations sont touchées par la troncation, et $\lim_{k \rightarrow \infty} Rep_k(G) = Rep(G)$.

3.2 D-branes dans l' AdS_3 Euclidien

3.2.1 Cordes fermées dans H_3

Si l'on effectue la rotation de Wick, $t \rightarrow it$, dans la métrique (et le champ B) de la théorie des cordes dans AdS_3 , on obtient la métrique de l'espace H_3 ,

$$ds^2 = L^2 (\cosh^2 \rho dt^2 + d\rho^2 + \sinh^2 \rho d\theta^2). \quad (3.19)$$

On a toujours $L^2 = k\alpha'$, et on note $b^2 = (k - 2)^{-1}$. La théorie des cordes dans H_3 n'est pas physique car le champ $H = dB$ est imaginaire pur ; cependant elle sert d'outil pour l'étude des cordes dans AdS_3 ainsi que dans le cigare $SL(2, \mathbb{R}) / U(1)$, que nous étudierons ultérieurement. Son spectre est plus simple que celui d' AdS_3 et ne contient que des représentations continues, de plus la théorie est étroitement liée à la théorie de Liouville, qui a fait l'objet de nombreuses études (voir par exemple la revue [Tes01b]).

La rotation de Wick ne préserve pas la symétrie $SL(2, \mathbb{R}) \times SL(2, \mathbb{R})$ d' AdS_3 , cependant H_3 jouit toujours d'une symétrie à six générateurs $SL(2, \mathbb{C})$, qui s'étend au niveau de la théorie des cordes en une algèbre de Lie affine. Nous allons d'abord décrire l'action géométrique de ces symétries, au moyen d'une reparamétrisation de H_3

:

$$\gamma = e^{t+i\theta} \tanh \rho, \quad e^\phi = e^{-t} \cosh \rho, \quad ds^2 = d\phi^2 + e^{2\phi} d\gamma d\bar{\gamma}. \quad (3.20)$$

On peut alors écrire H_3 comme un ensemble de matrices hermitiennes de déterminant un,

$$h = \begin{pmatrix} e^\phi & e^\phi \bar{\gamma} \\ e^\phi \gamma & e^\phi \gamma \bar{\gamma} + e^{-\phi} \end{pmatrix}. \quad (3.21)$$

Cela permet d'expliciter l'action des éléments g de $SL(2, \mathbb{C})$, soit $h \rightarrow ghg^\dagger$, dont on déduit l'identification entre H_3 et $SL(2, \mathbb{C}) / SU(2)$. De plus, les courants du modèle sigma correspondant s'expriment également à l'aide de la matrice h ,

$$J(z) = kh^{-1} \bar{\partial} h, \quad \bar{J}(\bar{z}) = -k \partial h h^{-1}. \quad (3.22)$$

Parmi les coordonnées $\phi, \gamma, \bar{\gamma}$ que nous venons d'introduire, on peut considérer ϕ comme une coordonnée radiale, et les autres comme des paramètres du bord de H_3 . Comme dans le cas de $SL(2, \mathbb{R})$, l'impulsion associée à la coordonnée radiale, que nous appellerons de nouveau j , correspond au Casimir de l'action de $SL(2, \mathbb{C})$, autrement dit au Laplacien de la métrique (3.19). Ainsi, on peut paramétrer les fonctions sur H_3 par j et par un élément $u \in \mathbb{C}$ du bord,

$$\Phi_u^j(\phi, \gamma, \bar{\gamma}) = -\frac{2j+1}{\pi} (e^\phi |u - \gamma|^2 + e^{-\phi})^{2j}. \quad (3.23)$$

Si nous écrivons le Laplacien défini négatif de H_3 ,

$$\Delta_{H_3} = \partial_\phi^2 + 2\partial_\phi + 4e^{-2\phi} \partial_\gamma \partial_{\bar{\gamma}}, \quad (3.24)$$

alors nous avons $\Delta_{H_3} \Phi^j = 4j(j+1)\Phi^j$. Cette valeur propre $4j(j+1)$ est un réel négatif si Φ^j est «normalisable au sens des distributions», c'est-à-dire si l'intégrale $\int e^{2\phi} d\phi d\gamma d\bar{\gamma} \Phi^j(\Phi^j)^*$ ne diverge que comme $\int 1$. Cela se produit si et seulement si

$$j \in -\frac{1}{2} + i\mathbb{R}. \quad (3.25)$$

Cet ensemble de valeurs physiques de j , qui définit le spectre d'un champ scalaire dans H_3 , correspond aux représentations continues de $SL(2, \mathbb{C})$. Pour tenir compte de la symétrie $j \rightarrow -j - 1$, qui généralise la correspondance entre les séries discrètes D_j^+ et D_j^- (dans le cas où j est réel), nous allons nous restreindre à $j \in -\frac{1}{2} + i\mathbb{R}_+$. Les

états Φ^j se comportent à l'infini comme des ondes planes, et leur produit scalaire L^2 est donné par

$$\int_{H_3} \Phi_u^j (\Phi_{u'}^{j'})^* = \delta(j - j') \delta(u - u'). \quad (3.26)$$

Si l'on considère maintenant les $\phi, \gamma, \bar{\gamma}$ comme des fonctions sur une surface d'univers, décrivant le plongement d'une corde fermée dans H_3 , alors les fonctions Φ_u^j deviennent des opérateurs de cordes fermées, et décrivent la décomposition du spectre en représentations de $\widehat{sl}(2, \mathbb{C})$. Ce spectre est donc défini par le coefficient ou *densité spectrale* de ces champs. Mais leur fonction à deux points est toujours donnée par l'équation (3.26) (aux facteurs dépendant de z près) et ne reçoit donc pas de corrections en $b^2 = \frac{1}{k-2}$. De façon équivalente, la densité spectrale du champ Φ^j est la même que la densité de la fonction Φ^j dans l'espace des fonctions sur H_3 . On peut formaliser cette assertion en écrivant l'opérateur identité sur le spectre des cordes fermées^{‡4},

$$\text{Id} = \int_{-\frac{1}{2} + i\mathbb{R}_+} dj \int d^2u |\Phi^j\rangle \langle \Phi^j|. \quad (3.27)$$

Naturellement, la solution complète de la théorie des cordes dans H_3 , au-delà de la donnée du spectre, requiert celle des fonctions de corrélation et la vérification de certaines de leurs propriétés comme la symétrie de croisement [Tes01a, Tes99, Tes00]. Mais nous n'insisterons pas sur ce sujet ici. Nous allons plutôt nous tourner vers les D-branes dans H_3 .

3.2.2 États de bord des D-branes AdS_2

Les D-branes AdS_2 dans AdS_3 sont statiques. Leurs équations, $\sinh \rho \cos \theta = \text{constante}$, définissent donc des sous-variétés de H_3 dont on peut s'attendre à ce qu'elles aient une interprétation en termes de théorie des cordes. Naturellement, elles sont automatiquement solutions des équations de Born-Infeld, mais avec un champ F imaginaire pur. Elles ont la géométrie de l' AdS_2 Euclidien c'est-à-dire H_2 , mais nous les appellerons toujours des D-branes AdS_2 . On peut étudier leurs propriétés de symétrie en réécrivant leur équation en fonction de la matrice h ,

$$\text{Tr} \Omega h = 2 \sinh \rho \cos \theta = 2 \sinh r. \quad (3.28)$$

^{‡4}Nous omettons les contributions des oscillateurs associés aux champs J, \bar{J} .

La matrice Ω est celle que nous avons déjà utilisée pour définir l'automorphisme extérieur de $SL(2, \mathbb{R})$, et pour écrire l'équation de la D-brane AdS_2 dans AdS_3 , qui était d'ailleurs identique à (3.28). Le sous-groupe de $SL(2, \mathbb{C})$ qui préserve nos D-branes est donc défini par $g^\dagger \Omega g = \Omega$. Il est isomorphe à $SL(2, \mathbb{R})$: comme dans le cas des D-branes symétriques dans les groupes, la moitié des symétries sont préservées, ici 3. C'est ce haut degré de symétrie, dont on suppose qu'il survit au niveau quantique en termes de conditions de collage, qui rend la théorie de ces D-branes accessible.

On peut obtenir d'autres D-branes similaires en appliquant des symétries de la théorie. En particulier, une rotation de $SL(2, \mathbb{C})$ bien choisie donne la D-brane d'équation,

$$\cosh \rho \sinh t = \text{constante.} \quad (3.29)$$

Nous les appellerons les D-branes H_2 . Leur équation est le prolongement analytique de celle des D-branes du même nom dans AdS_3 . Ainsi, deux types de D-branes très différents dans AdS_3 sont dans H_3 reliés par une rotation et ont donc les mêmes propriétés physiques.

Les solutions des conditions de collage correspondant aux symétries des D-branes AdS_2 dans H_3 sont les fonctions à un point du type [PST02]

$$\langle \Phi_u^j(z) \rangle = \frac{|u + \bar{u}|^{2j} A(j, \text{signe}(u + \bar{u}))}{|z - \bar{z}|^{2\Delta_j}}. \quad (3.30)$$

Ici $\Delta_j = -b^2 j(j+1)$ est le poids conforme de Φ^j , qui est proportionnel au Casimir $4j(j+1)$ de la représentation correspondante. Les conditions de collage et leurs solutions sont indépendantes du paramètre r des D-branes, on s'attend donc à ce que les contraintes supplémentaires sur cette fonction à un point possèdent une famille de solutions à un paramètre.

Les contraintes supplémentaires utilisées dans [PST02, LOP02] consistent à relier deux façons de calculer la fonction à deux points de deux champs de la masse. La première consiste à effectuer leur produit d'opérateurs dans la masse avant de rejoindre le bord, la deuxième de commencer par approcher chaque champ du bord avant de faire le produit d'opérateurs des champs au bord obtenus (voir la figure 3.2.2). Les deux sont reliés par la symétrie de croisement de la théorie des cordes fermées (voir [Sch02]). Cette méthode remonte à [PSS96], où elle fut utilisée dans le contexte de théories conformes rationnelles mais non diagonales.

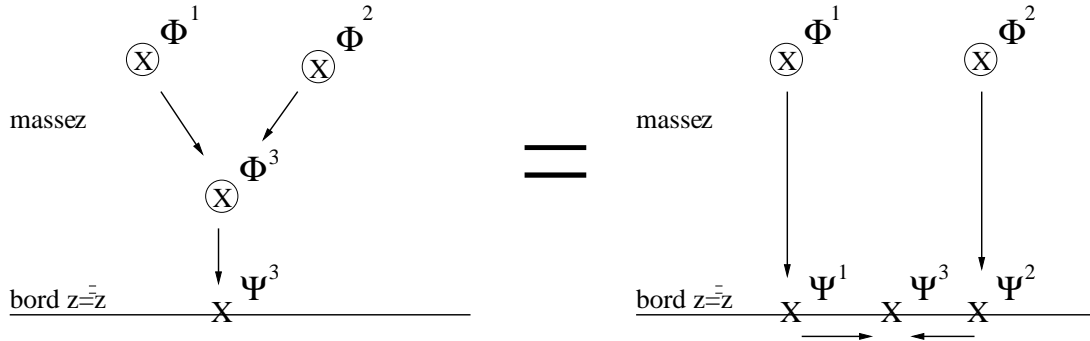


FIG. 3.3 – Une contrainte de factorisation pour les champs de la masse.

Ce calcul, qui peut s'effectuer pour deux champs quelconques dans le cas d'une théorie rationnelle, ne marche pas tel quel dans notre cas, à cause notamment de l'absence d'un champ identité dans notre spectre. On peut tout de même en extraire des contraintes, si l'on suppose qu'un des champs de la masse est dégénéré, de sorte que son produit d'opérateur avec un autre champ comporte un nombre fini de termes. Il n'existe pas de tel champ dégénéré dans le spectre des cordes fermées dans H_3 , cependant il est possible d'utiliser des champs obtenus par prolongement analytique de j hors de la ligne physique $j \in -\frac{1}{2} + i\mathbb{R}$. Ces champs appartiennent à la théorie mais pas au spectre, et on suppose que leurs propriétés sont obtenues par prolongement analytique.

La «contrainte de factorisation» du champ dégénéré $\Phi^{\frac{1}{2}}$ possède donc une famille de solutions [PST02, LOP02], ^{‡5}

$$\langle \Phi_u^j(z) \rangle_r = \frac{|u + \bar{u}|^{2j}}{|z - \bar{z}|^{2\Delta_j}} 2^{-\frac{3}{4}} b^{-\frac{1}{2}} \nu_b^{j+\frac{1}{2}} \Gamma(1 + b^2(2j + 1)) e^{-r(2j+1)\text{signe}(u+\bar{u})}. \quad (3.31)$$

Nous avons utilisé la fonction Γ d'Euler ainsi que la constante $\nu_b = \frac{\Gamma(1-b^2)}{\Gamma(1+b^2)}$, où on rappelle que $b^{-2} = k - 2$. L'identification du paramètre de cette famille de solutions avec le réel r dont dépend la position des D-branes AdS_2 s'obtient par l'étude de la géométrie des états de bord dans la limite semi-classique $b \rightarrow 0, k \rightarrow \infty$.

On peut utiliser ces états de bord pour calculer le diagramme du cylindre entre deux D-branes (moyennant quelques régularisations) et prédire le spectre (continu) des cordes ouvertes. Cette prédiction n'a plus le caractère de vérification du cas rationnel, où les coefficients des différents états devaient être entiers. Dans la section 3.3, nous expliquerons comment on étudie indépendamment le spectre des cordes ouvertes.

^{‡5}Nous écrivons la normalisation exacte, qui ne peut en fait être déterminée qu'après comparaison avec le secteur de cordes ouvertes.

D'autres champs dégénérés peuvent être utilisés pour obtenir d'autres contraintes et vérifier qu'elles sont satisfaites par l'état de bord (3.31). La contrainte la plus simple après celle du champ $\Phi^{\frac{1}{2}}$ provient du champ dégénéré $\Phi^{\frac{k-2}{2}}$, et son écriture même est problématique [Pon02, PS03]. Pour prouver la cohérence d'un état de bord, il faut en principe vérifier toutes les contraintes de factorisation. Nous allons supposer dans la suite que les D-branes AdS_2 dans H_3 existent et sont cohérentes.

3.2.3 Les branes compactes dans H_3

Il existe d'autres D-branes dans H_3 , qui respectent une symétrie $SU(2) \subset SL(2, \mathbb{C})$, mais dont l'interprétation géométrique est douteuse puisqu'il s'agirait de sphères S^2 de rayon imaginaire pur [GKS01, PST02]. On les obtient par un procédé analogue aux D-branes AdS_2 , en commençant par imposer la symétrie désirée au moyen de conditions de collage, puis en prenant en compte la contrainte de factorisation du champ $\Phi^{\frac{1}{2}}$.

On trouve donc une famille d'états de bord à un paramètre s ,

$$\langle \Phi_u^j(z) \rangle_s = \frac{(1 + u\bar{u})^{2j} - \nu_b^{j+1} \Gamma(1 + b^2(2j + 1)) \sin s(2j + 1)}{|z - \bar{z}|^{2\Delta_j} 2\pi \Gamma(1 - b^2) \sin s}. \quad (3.32)$$

Le calcul du digramme du cylindre conduit à un spectre discret, et donc à des conditions sur le paramètre s ,

$$s = \pi b^2(2J + 1), \quad J \in \frac{1}{2}\mathbb{N}. \quad (3.33)$$

Le cas des D-branes S^2 ressemble donc beaucoup plus au cas rationnel que celui des D-branes AdS_2 . Mais la situation de l'ensemble des D-branes dans H_3 n'a plus rien à voir avec la solution de Cardy, puisqu'on ne peut même pas définir de matrice S pour la transformation modulaire des caractères : en effet, selon la D-brane, les mêmes caractères des représentations continues se transforment soit en d'autres caractères continus, soit en caractères discrets.

Écrivons donc explicitement ces caractères : si on note $j = -\frac{1}{2} + iP$ avec $P \in \mathbb{R}$, on a

$$\chi_P(q) = \frac{q^{b^2 P^2}}{\eta(q)^3}, \quad (3.34)$$

où $\eta(q)$ est la fonction de Dedekind,

$$\eta(q) = q^{\frac{1}{24}} \prod_{n=1}^{\infty} (1 - q^n), \quad \eta(\tilde{q}) = \sqrt{-i\tau} \eta(q). \quad (3.35)$$

En fait, le caractère des représentations continues est à proprement parler infini car ces représentations comportent un nombre infini d'états ayant tous la même énergie. Cela nécessitera une régularisation quand nous en viendrons aux D-branes AdS_2 . Mais dans le cas des D-branes compactes S^2 , la quantité qui apparaît dans le calcul qui suit est $\chi_P(q)$, qui est fini.

Le calcul de l'amplitude du cylindre entre deux D-branes S^2 de paramètres $s = \pi b^2(2J + 1)$, $s' = \pi b^2(2J' + 1)$ s'effectue donc ainsi : ^{‡6}

$$Z_{s,s'}^{\text{cyl}}(\tilde{q}) = \langle s | \tilde{q}^{L_0 + \bar{L}_0 - \frac{c}{24}} | s' \rangle = \int dP d^2u \langle \Phi_u^j \rangle_s \langle \Phi_u^j \rangle_{s'}^* \chi_j(\tilde{q}) \quad (3.36)$$

$$\begin{aligned} &\propto \int dP P \sum_{J'' \in J \times J'} \sinh 2\pi b^2(2J'' + 1) P \chi_P(\tilde{q}) \\ &\propto \sum_{J'' \in J \times J'} (2J'' + 1) \chi_{i(J'' + \frac{1}{2})}(q). \end{aligned} \quad (3.37)$$

On a noté $J \times J'$ l'ensemble des spins apparaissant dans la composition de J et J' .

Le spectre des cordes ouvertes des D-branes S^2 n'a donc rien de commun avec celui des cordes fermées dans H_3 : il ne comprend que des valeurs réelles J'' de j (soit des valeurs complexes $i(J'' + \frac{1}{2})$ de P). Le facteur $(2J'' + 1)$ peut s'interpréter comme la dégénérescence des états de plus haut poids, c'est-à-dire la dimension de la représentation correspondante de l'algèbre de Lie $su(2)$. Mais le caractère $(2J'' + 1)\chi_{i(J'' + \frac{1}{2})}(q)$ n'égale pas le caractère de spin J'' de $\widehat{su}(2)$, il en est en quelque sorte une version privée de vecteurs singuliers. Cela n'est pas très surprenant, étant donné que nous ne supposons pas le niveau k entier.

3.3 Cordes ouvertes et D-branes AdS_2 dans H_3

Cette section est consacrée à l'étude du spectre des cordes ouvertes étirées entre deux D-branes AdS_2 dans H_3 , du point de vue du secteur des cordes ouvertes. L'accord avec le secteur des cordes fermées via le diagramme du cylindre ne sera montré qu'ensuite. Dans le cas où il s'agit de deux fois la même D-brane, ce spectre a été calculé dans [PST02]. Cependant, cet article n'a pas résolu le problème dans le cas de deux D-branes identiques à cause de certaines hypothèses implicites trop contraignantes sur l'analyticité de la densité spectrale. J'ai localisé ces hypothèses et déterminé le spectre dans [Rib03b]. Ce résultat a notamment des implications pour les D-branes dans le cigare, que nous étudierons dans le prochain chapitre.

^{‡6}Nous éliminons implicitement les facteurs dépendant de z, \bar{z} dans les fonctions à un point.

3.3.1 La contrainte de factorisation

Le spectre des cordes ouvertes sur une D-brane AdS_2 est formé de représentations continues de $SL(2, \mathbb{R})$, comme le montre l'étude de sa limite semi-classique, l'ensemble des fonctions sur la D-brane. Cela provient du fait qu' AdS_2 atteint l'infini d' H_3 et est donc lui-même non compact. La fonction de partition à une boucle des cordes ouvertes est donc du type

$$Z_{r,r}^{\text{cyl}}(\tilde{q}) = \int_{\mathbb{R}} dP N(P|r, r) \chi_P(q), \quad (3.38)$$

où $N(P|r, r)$ est la densité de cordes ouvertes sur la D-brane AdS_2 de paramètre r , qui ne dépend que de P car la D-brane respecte la symétrie $SL(2, \mathbb{R})$.

Cependant, à cause du volume infini dans la direction radiale (dont P est grosso modo l'impulsion), $Z^{\text{cyl}}(\tilde{q})$ doit diverger, et on peut attribuer cette divergence à un terme infini dans $N(P|r, r)$. Mais cette divergence est indépendante de r , et disparaît donc si l'on considère la densité relative $N(P|r, r) - N(P|0, 0)$. Par ailleurs, la densité d'états est en toute généralité reliée à l'amplitude de réflexion $R(j = -\frac{1}{2} + iP|r, r)$ par la formule

$$N(P|r, r) - N(P|0, 0) = \frac{1}{2\pi i} \frac{\partial}{\partial P} \log \frac{R(-\frac{1}{2} + iP|r, r)}{R(-\frac{1}{2} + iP|0, 0)}. \quad (3.39)$$

Cette amplitude de réflexion décrit la diffusion d'états asymptotiques envoyés depuis l'infini. À l'infini en effet, tous les états de cordes ouvertes $\Psi^{-\frac{1}{2}+iP}$ sont des superpositions d'ondes planes radiales d'impulsions P et $-P$. Le coefficient relatif de ces deux termes est l'amplitude de réflexion, qui doit être unitaire (de module un) si la réflexion est un processus physique. De façon équivalente, la densité d'états correspondante doit être réelle.

Pour déterminer l'amplitude de réflexion, on peut remarquer qu'elle apparaît dans la fonction à deux points de champs du bord, et joue donc un rôle dans les contraintes de factorisation de la fonction à trois points sur le bord. Comme pour les contraintes de factorisation portant sur les états de bord, on utilise en fait un champ du bord dégénéré.

La contrainte trouvée dans [PST02] est donc :

$$\frac{R(j + \frac{1}{2}|r_1, r_2)}{R(j - \frac{1}{2}|r_1, r_2)} = \frac{2j}{2j + 1} e_{-}(-j - \frac{1}{2}|r_1, r_2), \quad \forall j \in -\frac{1}{2} + i\mathbb{R}, \quad (3.40)$$

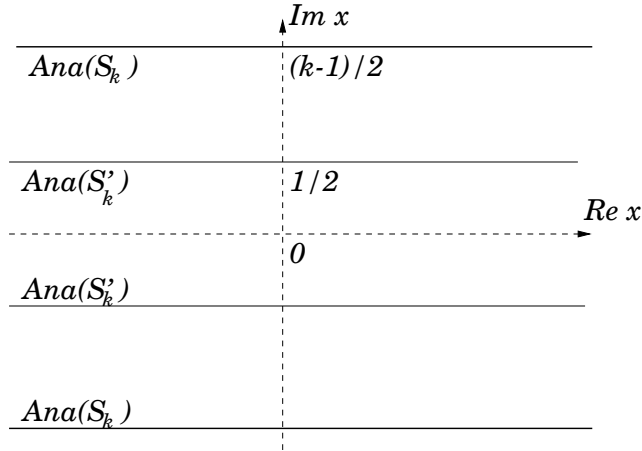


FIG. 3.4 – Les bandes d’analyticité des fonctions $S_k(x)$ et $S'_k(x)$.

où nous introduisons la fonction

$$e_-(j|r_1, r_2) = -\frac{4\nu_b}{\pi} \frac{\Gamma(1 + b^2(2j - 1))\Gamma(-b^2(2j + 1))}{\sin \pi b^2 2j} \times \prod_{s=\pm} \cos(\pi b^2 j + s \frac{i}{2}(r_1 + r_2)) \sin(\pi b^2 j + s \frac{i}{2}(r_1 - r_2)). \quad (3.41)$$

En principe il se pose le même problème que dans le canal des cordes fermées, à savoir l’existence d’une famille à un paramètre de solutions, qu’il faut ensuite identifier avec les D-branes AdS_2 en utilisant une limite semi-classique. Nous anticipons un peu en utilisant directement le paramètre r .

Dans [PST02], cette contrainte est réécrite sous la forme

$$|R(j + \frac{1}{2}|r_1, r_2)|^2 = \frac{2j}{2j + 1} e_-(-j - \frac{1}{2}|r_1, r_2), \quad (3.42)$$

Cela suppose implicitement que $R(\bar{j}|r_1, r_2) = \overline{R(j|r_1, r_2)}$. Nous allons voir que cette supposition n’est pas vérifiée par les solutions de l’équation (3.40), sauf dans le cas $r_1 = r_2$. C’est ainsi que [PST02] a conclu à l’inexistence de solutions pour $r_1 \neq r_2$, car le second membre de (3.42) n’est pas un réel positif dans ce cas.

3.3.2 Le spectre des cordes ouvertes

Nous voulons résoudre la contrainte eq. (3.40). Pour cela nous aurons besoin de fonctions spéciales, que nous allons définir. D’abord, considérons la fonction S_k ,

$$\log S_k(x) = i \int_0^\infty \frac{dt}{t} \left(\frac{\sin 2tb^2 x}{2 \sinh b^2 t \sinh t} - \frac{x}{t} \right). \quad (3.43)$$

Cette fonction est analytique dans la région (voir la figure 3.3.2)

$$Ana(S_k) = \left\{ |\Im x| < \frac{1}{2} + \frac{1}{2b^2} = \frac{k-1}{2} \right\}. \quad (3.44)$$

De plus, pour x tel que $x \pm \frac{i}{2} \in Ana(S_k)$, elle vérifie l'équation

$$\frac{S_k(x - \frac{i}{2})}{S_k(x + \frac{i}{2})} = 2 \cosh \pi b^2 x, \quad (3.45)$$

qui peut aussi être utilisée pour prolonger la fonction S_k en une fonction méromorphe sur \mathbb{C} . Comparer les équations (3.40) et (3.45) permet de comprendre pourquoi la fonction S_k va pouvoir être utilisée pour résoudre l'équation (3.40). Définissons en outre la fonction S'_k ,

$$\log S'_k(x) = i \int_0^\infty \frac{dt}{t} \left(\frac{\cosh t \sin 2tb^2 x}{2 \sinh b^2 t \sinh t} - \frac{x}{t} \right). \quad (3.46)$$

Cette fonction n'est analytique que dans la région (voir la figure 3.3.2)

$$Ana(S'_k) = \left\{ |\Im x| < \frac{1}{2} \right\}. \quad (3.47)$$

Dans cette région, elle vérifie de plus l'identité

$$S'_k(x)^2 = \frac{S_k(x + \frac{i}{2b^2})S_k(x - \frac{i}{2b^2})}{S_k(\frac{i}{2b^2})S_k(-\frac{i}{2b^2})} S_k(0)^2. \quad (3.48)$$

Ainsi, si S_k se prolonge en une fonction méromorphe sur \mathbb{C} , le cas de S'_k est plus compliqué puisqu'il met en jeu des coupures de la racine carrée. Il doit y avoir une telle coupure aboutissant à chaque zéro ou pôle simple de $S_k(x + \frac{i}{2b^2})S_k(x - \frac{i}{2b^2})$.

Une autre fonction spéciale, qui jouera un rôle bien moindre dans nos raisonnements, est

$$\Gamma_k(x) = b^{b^2 x(x-b^{-2})} (2\pi)^{x/2} \Gamma_2^{-1}(x|1, b^{-2}), \quad (3.49)$$

dont la définition utilise la fonction Γ_2 telle que

$$\log \Gamma_2(x|\omega_1, \omega_2) = \left(\frac{\partial}{\partial t} \sum_{n_1, n_2=0}^{\infty} (x + n_1\omega_1 + n_2\omega_2)^{-t} \right)_{t=0}. \quad (3.50)$$

La solution de l'équation (3.40) dans le cas $r_1 = r_2$ est [PST02]

$$R\left(-\frac{1}{2} + iP|r, r\right) = \nu_b^{iP} \frac{\Gamma_k^2(\frac{1}{2} - iP + \frac{1}{b^2})}{\Gamma_k^2(\frac{1}{2} + iP + \frac{1}{b^2})} \frac{\Gamma_k(2iP + \frac{1}{b^2})}{\Gamma_k(-2iP + \frac{1}{b^2})} \frac{S_k(\frac{r}{\pi b^2} + P)}{S_k(\frac{r}{\pi b^2} - P)}, \quad (3.51)$$

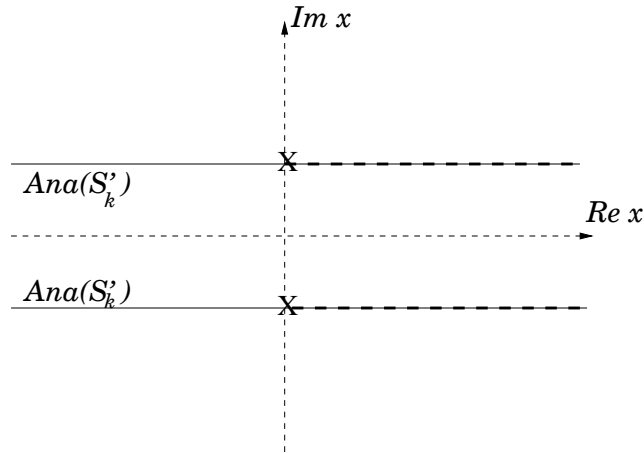


FIG. 3.5 – Un pôle et un zéro de $S'_k(x)^2$, et deux coupures de $S'_k(x)$ (en pointillés).

cette expression est bien de module un, et elle résout notre l'équation (3.40) pour tout $j \in -\frac{1}{2} + i\mathbb{R}$. En effet, pour de telles valeurs de j , les arguments des fonctions S_k apparaissant dans (3.51) sont toujours situés dans la région $Ana(S_k)$.

Considérons maintenant le cas $r_1 = -r_2$. La forme de la fonction $e_-(j|r_1, r_2)$ (équation (3.41)) suggère de construire $R(j|r, -r)$ en remplaçant simplement S_k par S'_k dans la solution pour $R(j|r, r)$ (équation (3.51)), ce qui équivaut à poser

$$R(j|r, -r) = \sqrt{\frac{R(j|r + i\frac{\pi}{2}, r + i\frac{\pi}{2})R(j|r - i\frac{\pi}{2}, r - i\frac{\pi}{2})}{R(j|i\frac{\pi}{2}, i\frac{\pi}{2})R(j|-i\frac{\pi}{2}, -i\frac{\pi}{2})}} R(j|0, 0). \quad (3.52)$$

Cette expression pose un problème quand on veut vérifier la contrainte (3.40) : comme il intervient $r \pm i\frac{\pi}{2}$ dans les arguments de l'amplitude de réflexion R , les fonctions S_k doivent être évaluées au bord de leur domaine de définition $Ana(S_k)$. La racine carrée y est mal définie à cause de la présence de pôles et de zéros.

Mais revenons à une formulation du problème en terme de S'_k , qui doit aussi être définie au bord d' $Ana(S'_k)$. Considérons le pôle $x = \frac{i}{2}$ et le zéro $x = -\frac{i}{2}$ de $S'_k(x)^2$, dont la présence découle des équations (3.45) et (3.48). Les coupures de $S'_k(x)$ qui partent de ces singularités ne doivent pas rencontrer la ligne physique $x \in \mathbb{R}$ (où il faut évaluer S'_k si on calcule $R(j|r, -r)$ pour $j \in -\frac{1}{2} + i\mathbb{R}$). De plus, ces coupures doivent être atteintes simultanément par $x - \frac{i}{2}$ et $x + \frac{i}{2}$, si l'on veut que $\frac{R(j+\frac{1}{2}|r, -r)}{R(j-\frac{1}{2}|r, -r)}$ n'ait pas de coupure, comme c'est le cas pour e_- qui apparaît dans le membre de droite de (3.40) ^{‡7}. Donc, les deux

^{‡7}En faisant cette supposition, nous interprétons l'équation (3.40) comme devant être valable au voisinage de la ligne physique $j \in -\frac{1}{2} + i\mathbb{R}$. En fait, elle sera même valable dans tout le plan complexe.

coupures en question doivent être parallèles à l'axe $x \in \mathbb{R}$ et s'étendre dans le même sens, soit $x = \pm \frac{i}{2} + \mathbb{R}_+$ ou $x = \pm \frac{i}{2} - \mathbb{R}_+$ (voir la figure 3.3.2). On peut choisir de même toutes les coupures de la fonction S'_k , de telle sorte que (3.40) soit vérifiée sur tout le plan complexe.

On s'aperçoit alors que la fonction $R(j|r, -r)$ ainsi définie ne vérifie pas $R(\bar{j}|r_1, r_2) = \overline{R(j|r_1, r_2)}$ à cause de ses coupures. Ce phénomène se produit parce que la racine carrée qui intervient dans la définition de $R(j|r, -r)$ a alors une coupure pour des arguments imaginaires purs, et ne vérifie donc pas $\sqrt{\bar{z}} = \overline{\sqrt{z}}$. Ceci montre qu'on peut résoudre l'équation (3.40) sans résoudre pour autant l'équation (3.42).

Il est maintenant facile de trouver la solution pour toutes valeurs de r_1, r_2 ,

$$R(j|r_1, r_2) = R(j|\frac{r_1 + r_2}{2}, \frac{r_1 + r_2}{2})R(j|\frac{r_1 - r_2}{2}, \frac{r_2 - r_1}{2})R(j|0, 0)^{-1}. \quad (3.53)$$

Cette formule, avec les équations (3.51) et (3.52), constitue la solution générale de (3.40). Pour autant qu'on puisse se contenter de résoudre cette contrainte de factorisation particulière, nous connaissons donc ainsi le spectre des cordes ouvertes étirées entre deux D-branes AdS_2 de paramètres quelconques, à supposer ^{†8} que l'on connaisse $R(j|0, 0)$.

On peut vérifier que les résultats obtenus sont corrects dans la limite semi-classique $b \rightarrow 0$. Nous le ferons explicitement dans le contexte des D1-branes dans le cigare, quand nous les aurons construites à partir de nos D-branes AdS_2 .

Mais nous allons maintenant nous livrer à une autre vérification, exacte celle-ci.

3.3.3 Le diagramme du cylindre

Nous commençons par calculer la fonction de partition des cordes ouvertes à une boucle $Z^{\text{ouv}}(q) = Z^{\text{cyl}}(\tilde{q})$, à partir de la densité $N(j|r_1, r_2)$ que nous avons déterminée. Nous ne traiterons pas les problèmes de régularisation avec autant de détail que [PST02]. Il suffit pour notre calcul de savoir que le caractère d'une représentation continue de $SL(2, \mathbb{R})$ est $\chi_P(q)$ à un facteur infini près, et que ce facteur infini est multiplié par τ au cours de la transformation modulaire $S : \tau \rightarrow -\frac{1}{\tau}$. De plus, nous avons

L'idée est que si $r_1 \neq r_2$ l'équation (3.40) n'a pas de sens en tant que telle à cause des singularités que nous avons signalées. L'interprétation de (3.40) que nous proposons sera justifiée par la détermination d'une amplitude de réflexion unitaire et régulière et par l'accord avec le secteur de cordes fermées via le calcul du diagramme du cylindre.

^{†8}Rappelons qu'il s'agit là du problème de la divergence de grand volume, qui a été résolu en soustrayant la densité d'états d'une D-brane de référence $N(P|0) = N(P|0, 0)$, voir (3.39).

écrit les états de bord et la densité des cordes ouvertes avec des normalisations précises, mais nous négligerons maintenant les facteurs numériques (éventuellement dépendant de b) pour alléger le calcul. Nous omettrons aussi de soustraire explicitement les quantités $Z_{0,0}^{\text{cyl}}(\tilde{q})$, $N(P|0,0)$, $\log R(j|0,0)$ qui régularisent la divergence de grand volume (la divergence en $P = 0$ de $\int dP$). Mais il faut garder en mémoire que l'on peut donc soustraire du calcul tout terme indépendant de r_1, r_2 .

Donc, nous avons

$$\begin{aligned}
Z_{r_1, r_2}^{\text{cyl}}(\tilde{q}) &= \int dP N(P|r_1, r_2) \chi_P(q) \\
&= \int dP \chi_P(q) \frac{\partial}{\partial P} \left(\log R\left(-\frac{1}{2} + iP \left| \frac{r_1 + r_2}{2}, \frac{r_1 + r_2}{2} \right. \right) + [r_2 \rightarrow -r_2] \right) \\
&= \int dP \chi_P(q) \frac{\partial}{\partial P} \log \frac{S_k\left(\frac{r_1 + r_2}{2\pi b^2} + P\right) S'_k\left(\frac{r_1 - r_2}{2\pi b^2} + P\right)}{S_k\left(\frac{r_1 + r_2}{2\pi b^2} - P\right) S'_k\left(\frac{r_1 - r_2}{2\pi b^2} - P\right)} \\
&= \int dP \chi_P(q) \int dt \frac{\cos 2tb^2 P}{\sinh b^2 t \sinh t} \left(\cos \frac{r_1 + r_2}{\pi} t + \cosh t \cos \frac{r_1 - r_2}{\pi} t \right) \\
&\stackrel{t=2\pi P'}{=} \int dP' \chi_{P'}(\tilde{q}) \left[\frac{\cosh^2 \pi P' \cos 2r_1 P' \cos 2r_2 P'}{\sinh 2\pi b^2 P' \sinh 2\pi P'} \right. \tag{3.54}
\end{aligned}$$

$$\left. - \frac{\sinh^2 \pi P' \sin 2r_1 P' \sin 2r_2 P'}{\sinh 2\pi b^2 P' \sinh 2\pi P'} \right]. \tag{3.55}$$

Cette quantité doit être comparée avec le diagramme du cylindre calculé à partir des états de bord. Pour cela, il faut commencer par calculer leurs transformées de Fourier par rapport aux variables $\arg(u)$ et $|u|$, dont on appelle n et p les impulsions⁴⁹. On introduit donc les champs

$$\Phi_{n,p}^j = \int d^2 u e^{-in \arg(u)} |u|^{-2j-2-ip} \Phi_u^j. \tag{3.56}$$

On peut calculer leur fonction à un point à partir de (3.31),

$$\langle \Phi_{n,p}^j(z) \rangle_r = \frac{e^{-r(2j+1)} + (-1)^n e^{r(2j+1)}}{\Gamma(1+j+\frac{n}{2})\Gamma(1+j-\frac{n}{2})} \Gamma(1+b^2(2j+1))\Gamma(2j+1) \frac{2^{-\frac{3}{4}} b^{-\frac{1}{2}} \nu_b^{j+\frac{1}{2}} \delta(p)}{|z-\bar{z}|^{2\Delta_j}} \tag{3.57}$$

On a donc

$$Z_{r_1, r_2}^{\text{cyl}}(\tilde{q}) = \int dP' \chi_{P'}(\tilde{q}) \sum_{n \in \mathbb{Z}} \int dp \left\langle \Phi_{n,p}^{-\frac{1}{2}+iP'}\left(\frac{i}{2}\right) \right\rangle_{r_1}^* \left\langle \Phi_{n,p}^{-\frac{1}{2}+iP'}\left(\frac{i}{2}\right) \right\rangle_{r_2}, \tag{3.58}$$

⁴⁹Contrairement au cas des D-branes S^2 , le calcul direct de l'intégrale $\int d^2 u$ ne donne pas le résultat correct, car la conjugaison complexe de l'état de bord avant et après transformation de Fourier ne sont pas équivalentes.

où l'on doit négliger la dépendance en p et la divergence de \sum_n pour obtenir l'accord avec le calcul précédent de la même quantité. L'essentiel est de constater que $\left\langle \Phi_{n,p}^{-\frac{1}{2}+iP'}\left(\frac{i}{2}\right) \right\rangle_{r_1}^* \left\langle \Phi_{n,p}^{-\frac{1}{2}+iP'}\left(\frac{i}{2}\right) \right\rangle_{r_2}$ ne dépend de n qu'à travers sa parité, et donne (3.54) si n est pair, (3.55) si n est impair.

3.3.4 Application aux D-branes AdS_2 dans AdS_3

Comme les D-branes AdS_2 sont statiques, nous allons proposer [Rib02] d'interpréter les densités d'états calculées ci-dessus comme les densités de cordes longues (représentations continues) vivant sur les D-branes AdS_2 dans AdS_3 . Nous avons déjà donné une conjecture pour le spectre des cordes courtes dans la section 2.3.3.

Nous proposons maintenant d'interpréter $N(P|r, r)$ comme la densité de cordes longues du secteur $w \in 2\mathbb{Z}$ vivant sur la D-brane de paramètre r (où w est le flot spectral). De plus, nous avons vu que dans AdS_3 , le flot spectral d'indice impair relie les cordes vivant sur une D-brane AdS_2 de paramètre r aux cordes étirées entre deux D-branes $r, -r$. Nous connaissons maintenant la densité d'état de ces cordes ouvertes, c'est la quantité $N(P|r, -r)$. Bien sûr, les calculs qui ont mené à ce résultat sont relatifs (il a fallu soustraire le spectre d'une D-brane donnée $N(P|0, 0)$ pour régulariser), mais, comme le spectre de la D-brane droite $r = 0$ est bien connu, on peut déterminer exactement le spectre des autres.

Le tableau suivant récapitule ces résultats et conjectures :

Densité de cordes ouvertes sur une D-brane AdS_2 (r)		
Longues $j = -\frac{1}{2} + iP$	w pair	$1 + N(P r, r) - N(P 0, 0)$
	w impair	$1 + N(P r, -r) - N(P 0, 0)$
Courtes $j \in \mathbb{R}$	$\forall w$	1

Densité de cordes ouvertes entre deux D-branes AdS_2 (r_1, r_2)		
Longues $j = -\frac{1}{2} + iP$	w pair	$1 + N(P r_1, r_2) - N(P 0, 0)$
	w impair	$1 + N(P r_1, -r_2) - N(P 0, 0)$
Courtes $j \in \mathbb{R}$	$\forall w$	1

Chapitre 4

D-branes dans le cigare $SL(2, \mathbb{R})/U(1)$

Ce chapitre est consacré au problème de la construction de D-branes dans $SL(2, \mathbb{R})/U(1)$. Il s'agit d'un pendant naturel de l'étude des D-branes dans AdS_3 pour plusieurs raisons.

La première raison est que la théorie des cordes et des D-branes dans AdS_3 doit sa complexité en partie au caractère Minkowskien de cette variété. Le modèle jaugé $SL(2, \mathbb{R})/U(1)$, qui lui est directement relié, est en revanche une théorie Euclidienne, mais toujours non rationnelle. On peut donc espérer cerner les problèmes spécifiques de la direction temporelle en comparant les deux, et les isoler de la question de la non rationalité.

Une autre raison provient de l'exemple du cas compact. Dans ce cas, l'étude des D-branes dans un modèle jaugé G/H a permis de construire de nouvelles D-branes dans G lui-même, au point d'espérer réaliser l'ensemble des charges prédites par la K-théorie. Ces idées devraient être intéressantes aussi dans le cas non compact, où nous sommes cependant encore loin de leur réalisation explicite.

4.1 Les modèles de Wess-Zumino-Witten jaugés

Le quotient $SL(2, \mathbb{R})/U(1)$ qui nous intéresse est un exemple de modèle de Wess-Zumino-Witten jaugé. En l'occurrence, on jauge un sous-groupe $U(1)$ du modèle de Wess-Zumino-Witten associé au groupe $SL(2, \mathbb{R})$. Cette construction est connue depuis longtemps et nous allons en rappeler les principaux points saillants, en suivant entre autres [GQ92]. Elle est bien comprise dans les cas où l'on jauge un groupe compact, y compris en ce qui concerne la construction des D-branes. Nous insisterons donc sur les particularités du cas de $SL(2, \mathbb{R})/U(1)$.

4.1.1 Constructions générales

Considérons le modèle de Wess-Zumino-Witten décrivant les cordes fermées dans un groupe de Lie G , et un sous-groupe H de G . On peut introduire des champs de jauge A, \bar{A} pour les symétries locales de multiplication à gauche et à droite par des éléments de H ; ces champs sont des éléments de l'algèbre de Lie \mathfrak{h} de H . L'action jaugee, s'obtient à partir de l'action du modèle de Wess-Zumino-Witten (2.1) en remplaçant ∂g et $\bar{\partial} g$ par les dérivées covariantes $\partial g + Ag$ et $\bar{\partial} g - g\bar{A}$, et en ajoutant un terme quadratique en A . Cependant, cette action jaugee ne possède pas nécessairement la symétrie locale

$$g \rightarrow h_G^{-1}(z)gh_D(\bar{z}), \quad A \rightarrow h_G^{-1}(z)(A + \partial)h_G(z), \quad \bar{A} \rightarrow h_D^{-1}(\bar{z})(\bar{A} + \bar{\partial})h_D(\bar{z}). \quad (4.1)$$

Si le groupe H est non abélien, seule est réalisée la *symétrie vectorielle*,

$$H_V \quad : \quad g \rightarrow h^{-1}gh. \quad (4.2)$$

Si le groupe H est abélien, en plus de la symétrie vectorielle, on peut jaugeer la *symétrie axiale*,

$$H_A \quad : \quad g \rightarrow hgh. \quad (4.3)$$

Ces deux symétries sont reliées par un changement de signe dans l'algèbre de Lie du secteur Droit, en particulier $\bar{A} \rightarrow -\bar{A}$. Nous avons déjà rencontré une telle transformation dans le cas des cordes en espace plat dans la section 1.1.3, il s'agissait de la T-dualité. Dans le cas présent, il s'agit aussi de la T-dualité dans la description du modèle jaugeé en termes d'espace-temps.

Cette description s'obtient en effectuant l'intégrale sur les champs de jauge dans l'intégrale de chemin du modèle. On obtient ainsi un modèle sigma, dont la géométrie est celle du quotient G/H (où H agit sur G par symétrie vectorielle ou axiale selon le cas), et dont le dilaton est non trivial contrairement à celui du modèle de Wess-Zumino-Witten initial. Dans le cas où H est abélien, la symétrie (vectorielle ou axiale) qui n'a pas été jaugee reste une symétrie globale du quotient.

Notons que, même dans le cas non-abélien, il peut exister d'autres quotients que le quotient vectoriel, appelés quotients asymétriques. On les obtient en utilisant des automorphismes de H (voir [QS03]). La théorie conforme correspondante est alors hétérotique : les secteurs droit et gauche sont différents. En revanche, dans le cas du

modèle jaugé vectoriel, la théorie conforme décrivant la propagation des cordes fermées s'obtient en utilisant la même algèbre chirale $A(G/H)$ dans les deux secteurs. Il en va évidemment de même pour le modèle jaugé axial dans le cas abélien, puisque sa théorie conforme est identique à celle du modèle jaugé vectoriel qui lui est T-dual.

Nous n'allons pas décrire explicitement l'algèbre chirale $A(G/H)$. Nous nous contenterons de mentionner qu'elle s'obtient à partir du produit $\hat{\mathfrak{g}} \otimes \hat{\mathfrak{h}}$ en imposant certaines contraintes, et que les générateurs de Virasoro de $A(G/H)$ sont donnés par

$$L_n^{A(G/H)} = L_n^{\hat{\mathfrak{g}}} - L_n^{\hat{\mathfrak{h}}} . \quad (4.4)$$

Dans cette formule, l'idée de soustraire les degrés de liberté correspondant au sous-groupe H apparaît clairement. Les représentations de $A(G/H)$ s'obtiennent en décomposant celles de $\hat{\mathfrak{g}}$ en représentations de $\hat{\mathfrak{h}}$,

$$\hat{R}_\lambda^{\hat{\mathfrak{g}}} = \bigoplus_{\mu} \hat{R}_{(\lambda,\mu)}^{A(G/H)} \otimes \hat{R}_\mu^{\hat{\mathfrak{h}}} , \quad (4.5)$$

où l'on a indicé par λ et μ les représentations de $\hat{\mathfrak{g}}$ et $\hat{\mathfrak{h}}$ respectivement.

La théorie conforme correspondant au modèle de Wess-Zumino-Witten jaugé vectoriellement a pour fonction de partition l'invariant modulaire diagonal de l'algèbre chirale $A(G/H)$. Dans le cas compact, elle est rationnelle, et la théorie de Cardy permet de construire certaines D-branes. Nous verrons plus loin l'exemple du quotient $SU(2)/U(1)$.

4.1.2 Cordes fermées dans $SL(2, \mathbb{R})/U(1)$

Pour trouver la géométrie de l'espace-temps associé au modèle de Wess-Zumino-Witten jaugé $SL(2, \mathbb{R})/U(1)$, il faut d'abord connaître l'action des symétries vectorielle et axiale dans $SL(2, \mathbb{R})$. Cette action s'exprime simplement dans les coordonnées globales (ρ, θ, t) . Rappelons que le temps t de $SL(2, \mathbb{R})$ est périodique. Considérons maintenant le sous-groupe $U(1)$ de $SL(2, \mathbb{R})$ formé des matrices

$$h = \begin{pmatrix} \cos t & \sin t \\ -\sin t & \cos t \end{pmatrix} . \quad (4.6)$$

Alors l'action axiale de ce sous-groupe sur $SL(2, \mathbb{R})$ correspond à la translation du temps t , alors que l'action vectorielle correspond à la rotation de l'angle θ .

La géométrie du modèle jaugé axial est régulière, puisque l'action axiale est sans point fixe. Il s'agit du trou noir bidimensionnel à deux dimensions, connu sous le nom

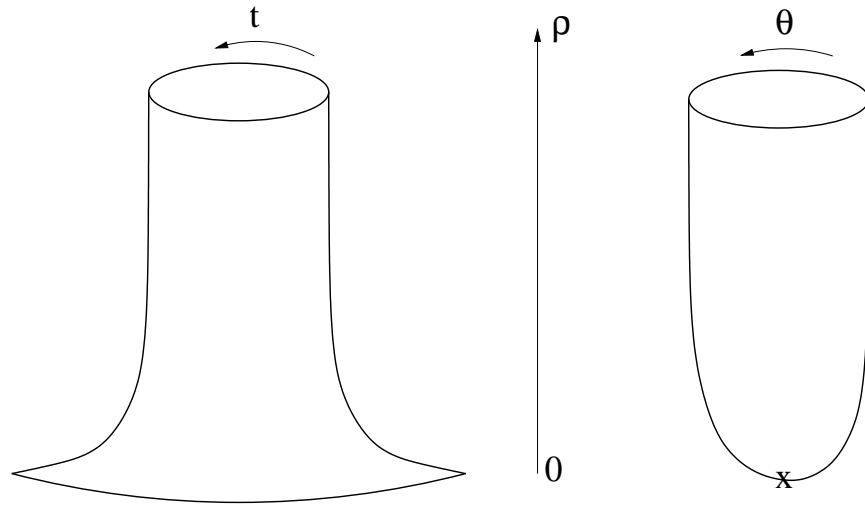


FIG. 4.1 – La trompette et le cigare sont deux géométries T-duales.

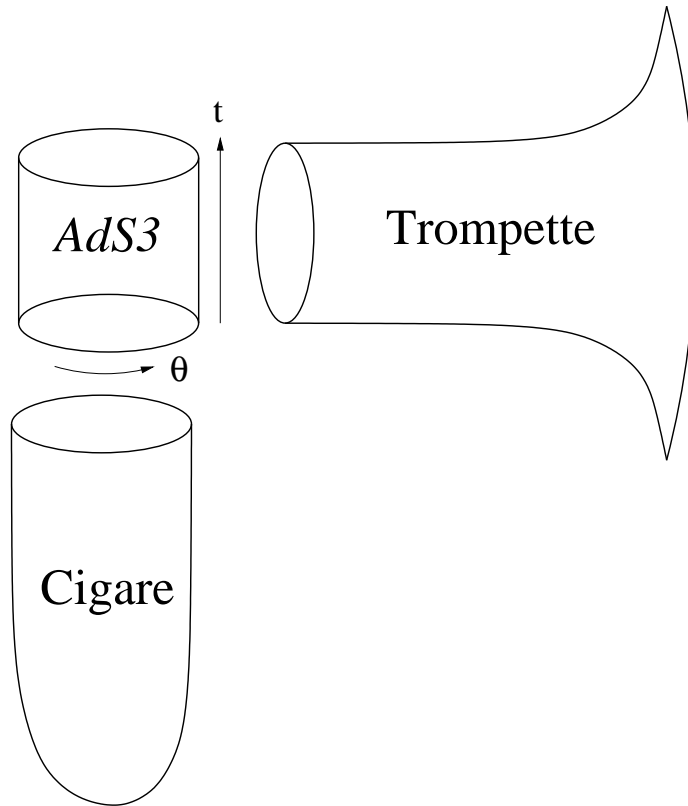


FIG. 4.2 – La trompette et le cigare s'obtiennent en jaugeant respectivement les directions θ et t d' AdS_3 .

de «cigare». C'est une solution de la supergravité avec une métrique non triviale et un dilaton non constant créé lors du jaugeage, alors que le champ $H = dB$ disparaît pour des raisons purement dimensionnelles. Le modèle jaugé vectoriel, lui, donne une géométrie appelée «trompette» dont la métrique et le dilaton sont singuliers en $\rho = 0$. En voici des expressions explicites :

$$SL(2, \mathbb{R}) \quad : \quad ds^2 = k (d\rho^2 - \cosh^2 \rho dt^2 + \sinh^2 \rho d\theta^2) \quad (4.7)$$

$$\text{Cigare} \quad : \quad ds^2 = k (d\rho^2 + \tanh^2 \rho d\theta^2) \quad ; \quad e^\Phi = \frac{e^{\Phi_0}}{\cosh \rho} \quad (4.8)$$

$$\text{Trompette} \quad : \quad ds^2 = k (d\rho^2 + \coth^2 \rho dt^2) \quad ; \quad e^\Phi = \frac{e^{\Phi_0}}{\sinh \rho}. \quad (4.9)$$

Remarquons que dans le cas de la trompette, lorsqu'on jauge la direction euclidienne θ , la signature de la direction t change et devient euclidienne.

La figure 4.1.2 représente le cigare et la trompette et met en évidence leur caractère T-dual. La figure 4.1.2 montre, elle, comment les deux se déduisent d' AdS_3 .

Le modèle jaugé est bien décrit par la géométrie du cigare dans la limite semi-classique $k \rightarrow \infty$. En revanche, la trompette n'est pas une bonne description de la théorie des cordes même dans cette limite, à cause non seulement de sa singularité en $\rho = 0$, mais aussi de la périodicité $\frac{2\pi}{k}$ de l'angle t . Cette périodicité provient de la définition précise du modèle jaugé, et correspond à ce qu'on obtient en appliquant la T-dualité au cigare dans la direction θ . Pour des travaux récents sur l'image par T-dualité de la version supersymétrique du cigare, voir [Ton03, HK01].

On peut se faire une idée assez précise du spectre des cordes fermées dans le cigare par l'analyse harmonique. Dans la limite semi-classique, les états de corde dont la masse tend vers zéro se réduisent aux fonctions sur le cigare (nous vérifierons explicitement ce principe général quand nous connaîtrons le spectre exact). En présence d'un dilaton, leur énergie est mesurée par le Laplacien ^{†1}

$$\Delta = \frac{1}{e^{-2\Phi} \sqrt{\det g}} \partial_\mu e^{-2\Phi} \sqrt{\det g} g^{\mu\nu} \partial_\nu. \quad (4.10)$$

Dans les cas de $SL(2, \mathbb{R})$, du cigare et de la trompette, cet opérateur vaut

$$k \Delta_{SL(2, \mathbb{R})} = \partial_\rho^2 + (\coth \rho + \tanh \rho) \partial_\rho + (\tanh^2 \rho - 1) \partial_t^2 + (\coth^2 \rho - 1) \partial_\theta^2,$$

$$k \Delta_{\text{cigare}} = \partial_\rho^2 + (\coth \rho + \tanh \rho) \partial_\rho + \coth^2 \rho \partial_\theta^2,$$

$$k \Delta_{\text{trompette}} = \partial_\rho^2 + (\coth \rho + \tanh \rho) \partial_\rho + \tanh^2 \rho \partial_t^2.$$

^{†1}Cela peut se déduire de l'action de la supergravité.

On cherche des fonctions propres simultanées de $\Delta, \partial_t, \partial_\theta$ de valeurs propres $-4E, ip, in$ respectivement. Ce sont des fonctions hypergéométriques du type

$$K_{np}^j = e^{ipt+in\theta} \cosh^p \rho \sinh^{|n|} \rho F \left(\frac{|n|+p}{2} + j + 1, \frac{|n|+p}{2} - j, |n| + 1 ; -\sinh^2 \rho \right) \quad (4.11)$$

avec, selon le cas,

$$SL(2, \mathbb{R}) \quad : \quad E_{SL(2, \mathbb{R})} = -\frac{j(j+1)}{k}, \quad (4.12)$$

$$\text{Cigare} \quad : \quad p = 0, \quad E_{\text{cigare}} = -\frac{j(j+1)}{k} + \frac{n^2}{4k}, \quad (4.13)$$

$$\text{Trompette} \quad : \quad n = 0, \quad E_{\text{trompette}} = -\frac{j(j+1)}{k} + \frac{p^2}{4k}. \quad (4.14)$$

La positivité de l'énergie, et le comportement à l'infini des fonctions d'ondes (dont la norme L^2 doit être finie pour les états liés, et diverger comme $\int 1$ pour les états asymptotiques), définissent les valeurs permises des paramètres j, n, p . Dans le cas du cigare, on trouve $j \in -\frac{1}{2} + i\mathbb{R}$, ce qui correspond aux représentations continues de $SL(2, \mathbb{R})$. Dans la trompette, il existe de plus des états liés $j \in \mathbb{R}$, qui correspondent aux représentations discrètes de $SL(2, \mathbb{R})$. La positivité de l'énergie impose alors $|j| < \frac{|p|}{2}$.

La T-dualité, en général, échange les modes d'impulsion et les modes d'enroulement. Les fonctions sur la trompette décrivent donc les modes d'enroulement de la théorie des cordes dans le cigare. On a en fait $p = kw$, où $w \in \mathbb{Z}$ est le nombre d'enroulement.

Les résultats exacts de [DVV92, HPT02] confirment cette image géométrique. On trouve en effet un spectre formé d'états continus et discrets. Il s'obtient en appliquant des opérateurs de création à des modes zéros, qui sont paramétrés par j, n, w et sont des vecteurs propres de L_0 et \bar{L}_0 de valeurs propres

$$L_0 = -\frac{j(j+1)}{k-2} + \frac{(n+kw)^2}{4k}, \quad (4.15)$$

$$\bar{L}_0 = -\frac{j(j+1)}{k-2} + \frac{(n-kw)^2}{4k}. \quad (4.16)$$

L'énergie totale d'un mode zéro, $\frac{1}{2}(L_0 + \bar{L}_0)$, se réduit aux expressions semi-classiques dans le cigare et la trompette (respectivement $p = 0$ et $n = 0, p = kw$), à la renormalisation $k \rightarrow k - 2$ près.

Dans le cas des états continus, $j \in -\frac{1}{2} + i\mathbb{R}$ et toutes les valeurs de n, w apparaissent dans le spectre, avec cependant une densité d'états non triviale. En revanche, les états discrets sont soumis à des contraintes d'unitarité et de positivité de l'énergie.

La contrainte d'«unitarité renforcée» exige $-\frac{k-1}{2} < j < -\frac{1}{2}$ (dans [DVV92], seule $-\frac{k}{2} < j < -\frac{1}{2}$ était exigée). On doit avoir de plus $|kw| > |n|$, et $-j + \frac{1}{2}(|n| - |kw|)$ doit être un entier positif. Ceci revient à demander que $(j, \frac{\pm n + kw}{2})$ soient le spin et le moment magnétiques d'états de D_j^- .

L'énoncé de ces contraintes achève notre rapide exposition du spectre des cordes fermées du modèle jaugé $SL(2, \mathbb{R})/U(1)$.

4.1.3 Cordes et D-branes dans les quotients compacts

Le modèle jaugé le plus simple est $SU(2)/U(1)$. De plus, il s'agit d'un prolongement analytique du cigare. Nous allons donc en rappeler quelques caractéristiques [MMS01].

D'abord, la géométrie est celle d'une cloche. Il s'agit topologiquement d'un disque, mais le terme cloche est utilisé pour insister sur la divergence de la métrique et du dilaton au bord,

$$\text{Cloche} \quad : \quad ds^2 = k (dr^2 + \tan^2 r d\phi^2) \quad ; \quad e^\Phi = \frac{e^{\Phi_0}}{\cos r}, \quad (4.17)$$

avec $r \in [0, \frac{\pi}{2}]$. La T-dualité est plus simple que dans le cas de $SL(2, \mathbb{R})/U(1)$, puisque la Cloche est T-duale à son propre orbifold par \mathbb{Z}_k (rappelons que k doit être entier dans le cas compact), où \mathbb{Z}_k agit par translations d'angle $\frac{2\pi}{k}$ de ϕ .

Rappelons que l'orbifold est l'opération de la théorie des cordes qui correspond au quotient de l'espace-temps par un groupe de symétries discret. Cette opération est un peu plus compliquée que la simple quantification supplémentaire des impulsions qui la caractérise au niveau des particules ponctuelles ; par exemple elle engendre l'apparition d'«états tordus» dans le spectre, et modifie la quantification du nombre d'enroulement, qui peut être fractionnaire et non plus entier. Ce phénomène est similaire à l'apparition de poids fractionnaires symétriques dans le spectre des D-branes en forme de classes de ω -conjugaison (voir la section 2.2.2).

Au niveau de la théorie conforme, cela signifie que la théorie $SU(2)/U(1)$ (des «parafermions compacts») est identique à son orbifold par \mathbb{Z}_k . Sa fonction de partition est :

$$Z^{\text{cloche}}(q) = \sum_{j=0}^{\frac{k}{2}} \sum_{n=-k}^{k+1} |\chi_{(j,n)}(q)|^2, \quad (4.18)$$

où n indice les représentations de l'algèbre des courants $\widehat{u}(1)$, et le spin j correspond aux représentations de $\widehat{su}(2)$. Les caractères $\chi_{(j,n)}$ des représentations de l'algèbre chirale

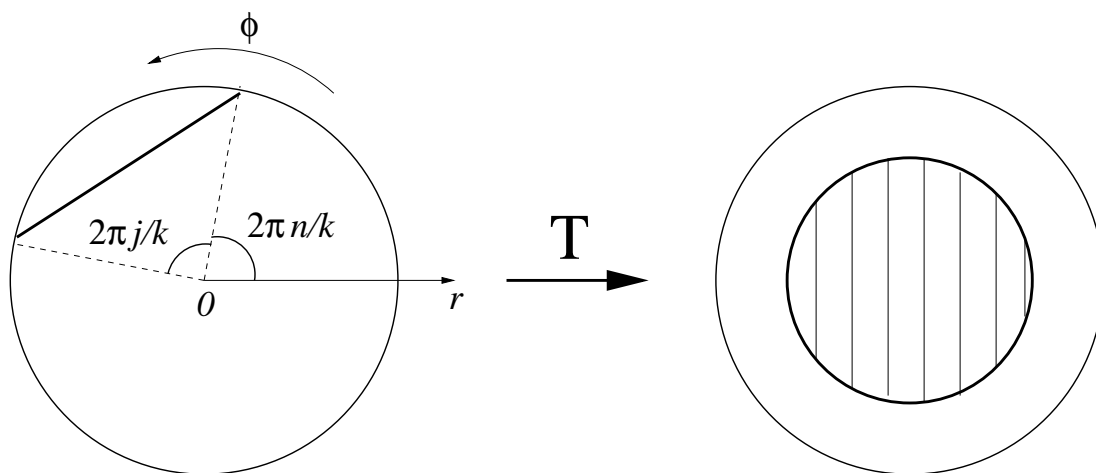


FIG. 4.3 – Une D1-brane de paramètres (j, n) dans la cloche, et une B-brane obtenue par T-dualité.

$A(SU(2)/U(1))$ sont définis à partir de la relation générale (4.5), en décomposant les caractères de $\widehat{su}(2)$,

$$\chi_j^{SU(2)}(q, z) = \sum_{n=-k}^{k+1} \chi_{(j,n)}(q) \chi_n^{U(1)}(q, z), \quad (4.19)$$

où la variable supplémentaire z des *caractères non spécialisés* $\chi(q, z)$ permet de prendre en compte une isométrie $U(1)$ de générateur J^3 ,

$$\chi(q, z) = \text{Tr} q^{L_0 - \frac{c}{24}} z^{J_0^3}. \quad (4.20)$$

En l'occurrence, l'isométrie $U(1)$ choisie pour définir le caractère spécialisé $\chi_j^{SU(2)}(q, z)$ est le groupe $U(1)$ qui apparaît dans $SU(2)/U(1)$.

Considérons maintenant les D-branes dans la cloche. On peut construire les états de Cardy, qui correspondent à des D-branes préservant la symétrie $A(SU(2)/U(1))$, appelées parfois les A-branes ou D-branes de type A. Elles sont indicées par les représentations (j, n) de $A(SU(2)/U(1))$. Géométriquement, ce sont des D1-branes, dont la longueur dépend de j et l'orientation dépend de n . Les deux sont quantifiées (voir la figure 4.1.3).

Il existe nécessairement d'autres D-branes dans la théorie, comme le montre l'application d'un orbifold \mathbb{Z}_k suivi de la T-dualité. En effet, cette opération donne la même théorie de cordes fermées, mais transforme les D1-branes de type A en D2-branes localisées près du centre $r = 0$ de la cloche. Ces D-branes de type B sont instables et

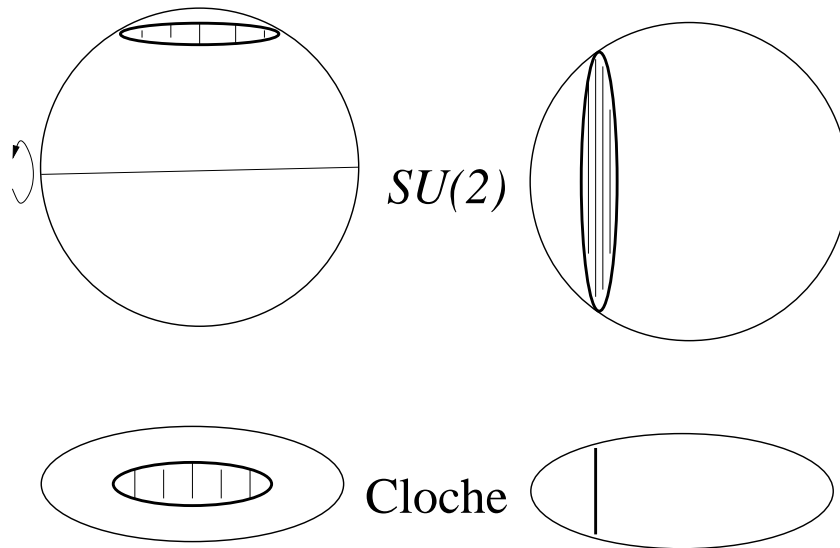


FIG. 4.4 – Les D-branes dans la cloche s’obtiennent à partir des D-branes S^2 dans $SU(2)$. Ici $SU(2)$ est représenté comme une sphère pleine, et l’axe de rotation qui définit la direction jaugée $U(1)$ est représenté.

brisent la symétrie $A(SU(2)/U(1))$. La situation est analogue aux D-branes dans $U(1)$: les états de Cardy correspondent aux D0-branes, mais la T-dualité les transforme en d’autres D-branes qui brisent la symétrie chirale.

Les B-branes dans la cloche sont indicées par j , qui correspond à leur rayon. Si l’on considère la cloche comme un $SU(2)$ aplati, on peut voir ces B-branes comme des D-branes S^2 aplaties. D’ailleurs, les D1-branes de type A «descendant» également de D-branes S^2 de $SU(2)$, mais symétriques par rapport à la direction $U(1)$ jaugée (voir la figure 4.1.3).

Ces résultats peuvent se généraliser à de nombreuses théories conformes rationnelles correspondant à des quotients de groupes compacts, éventuellement asymétriques [QS03]. Les B-branes peuvent être obtenues par la théorie de Cardy, à condition de l’appliquer à une algèbre chirale plus petite que $A(G/H)$.

4.2 Résultats semi-classiques sur les D-branes dans $SL(2, \mathbb{R})/U(1)$

L’étude semi-classique des D-branes dans $SL(2, \mathbb{R})/U(1)$ peut nous donner des indications intéressantes sur leur existence et leurs propriétés. Naturellement, nous ne

nous attendons pas à trouver des résultats exacts comme dans les variétés de groupe, puisque déjà au niveau des cordes fermées les états d'enroulement n'ont pas d'équivalent semi-classique.

Cette section se base sur des résultats non publiés, obtenus pour partie en collaboration avec A. Fotopoulos, C. Bachas et M. Petropoulos.

4.2.1 La géométrie des D-branes

Les D-branes dans le cigare que nous allons discuter seront représentées dans la figure 4.2.1, qui montrera en outre comment elles descendent de D-branes dans AdS_3 .

Nous commençons par rechercher des D0-branes ponctuelles. L'action de Born-Infeld se réduit alors à $e^{-\Phi} = e^{-\Phi_0} \cosh \rho$. Donc, la D0-brane ne peut exister qu'au sommet $\rho = 0$ du cigare.

Le cas des D1-branes se traite facilement en utilisant la variable $u = \sinh \rho$. Alors, les champs de fond du cigare deviennent

$$\text{Cigare : } ds^2 = \frac{du^2 + u^2 d\theta^2}{1 + u^2} \quad , \quad e^\Phi = (1 + u^2)^{-\frac{1}{2}} \quad . \quad (4.21)$$

L'action de Born-Infeld pour une D1-brane dans ces coordonnées est

$$S^{\text{BI}} \propto \int \sqrt{u'^2 + u^2 \theta'^2} \quad . \quad (4.22)$$

Donc les D1-branes sont des lignes droites dans le plan (u, θ) , leur équation dans les coordonnées d'origine (ρ, θ) est donc

$$\sinh \rho \sin(\theta - \theta_0) = \text{constante} = \sinh r. \quad (4.23)$$

Comme les A-branes dans la cloche, ces D1-branes ont deux paramètres (un radial r et un angulaire θ_0), qui ne sont cependant pas quantifiés. Ils correspondent aux paramètres des D-branes AdS_2 dans AdS_3 dont nos D1-branes descendent. Ces D-branes AdS_2 sont en effet invariantes par l'isométrie (axiale) de translation temporelle qui est jaugée pour obtenir le cigare $SL(2, \mathbb{R})/U(1)$. L'intuition géométrique, selon laquelle on peut alors projeter la D-brane AdS_2 dans la variété quotient, est justifiée au niveau de la théorie conforme dans le cas compact (nous avons vu celui de $SU(2)/U(1)$), et on s'attend donc à ce qu'elle soit valable aussi pour le cigare. On peut en fait définir une procédure correspondante de projection de l'état de bord [PST02], que nous mettrons à profit pour décrire la théorie conforme au bord associée à ces D1-branes.

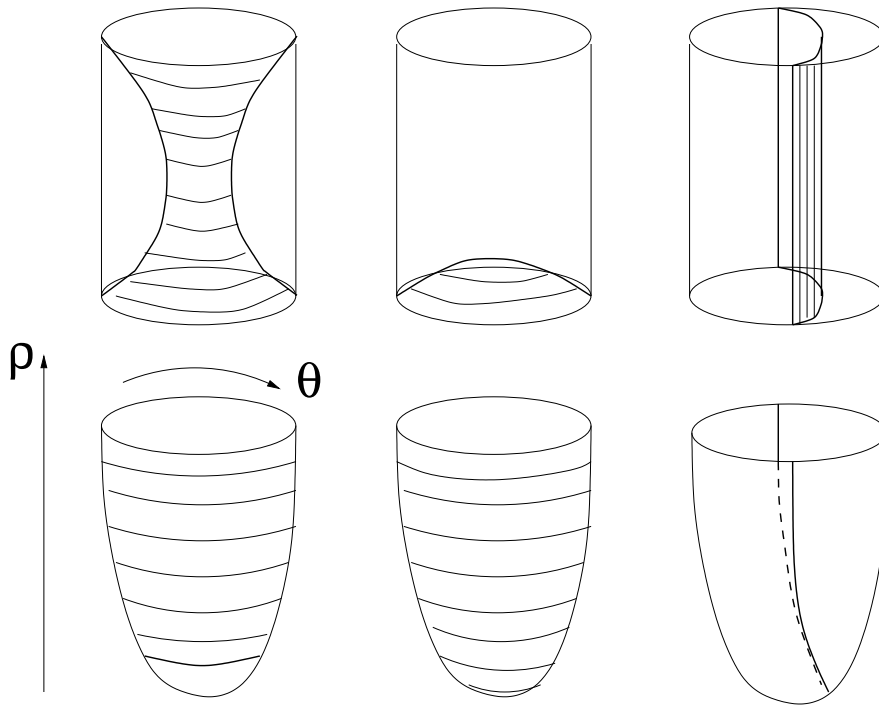


FIG. 4.5 – Les D-branes dS_2 , H_2 et AdS_2 dans AdS_3 , et les D-branes dans le cigare qui leur correspondent.

Les D2-branes dans le cigare, elles, sont l'équivalent des B-branes dans la cloche. Comme ces dernières, nous pouvons les décrire comme des solutions des équations de Born-Infeld. Nous pouvons aussi les déduire de certaines D-branes dans AdS_3 , qui ne sont pas invariante par la translation temporelle que nous jaugeons : les classes de conjugaison H_2 et dS_2 . Nous nous attendons donc à trouver des D2-branes recouvrant tout le cigare descendant des H_2 , et des D2-branes dans la région $\rho \geq \text{constante}$ descendant des dS_2 .

L'action des D2-branes dans le cigare est :

$$S^{\text{BI}} \propto \int \cosh \rho \sqrt{\tanh^2 \rho + F_{\rho\theta}^2}. \quad (4.24)$$

La solution dépend d'un paramètre β ,

$$F_{\rho\theta}^2 = \frac{\beta^2 \tanh^2 \rho}{\cosh^2 \rho - \beta^2}. \quad (4.25)$$

Dans le cas $\beta \leq 1$ (on pose $\beta = \sin r$), le champ F est bien défini pour toute valeur de ρ . On peut même l'intégrer pour trouver le champ A tel que $F = dA$. Si l'on suppose

$A_\rho = 0$ et que l'on exige par régularité $A_\theta(\rho = 0) = 0$, on trouve

$$A_\theta(\rho) = r - \arctan \left(\frac{\tan r}{\sqrt{1 + \frac{\sinh^2 \rho}{\cos^2 r}}} \right). \quad (4.26)$$

Ainsi, le paramètre r correspond à la valeur du champ A_θ à l'infini. En fait, on peut même l'identifier comme le paramètre de la D-brane H_2 de AdS_3 dont descend notre D2-brane, si l'on écrit l'équation de la D-brane H_2

$$\cosh \rho \cos t = \sin r. \quad (4.27)$$

En effet, la densité de la D-brane qui descend de cette D-brane H_2 peut se calculer géométriquement comme $\int dt \delta(g(t, \rho, \theta) \in H_2(r)) = \frac{\cos r}{\sqrt{\cosh^2 \rho - \sin^2 r}}$. La distribution $\delta(g \in H_2(r))$ mesure en effet l'appartenance du point g d' AdS_3 à la D-brane H_2 de paramètre r , dont la densité est constante par symétrie $SL(2, \mathbb{R})$. Or la densité de la D2-brane de paramètre r dans le cigare peut s'estimer au moyen du *dilaton de cordes ouvertes* [SW99],

$$e^{\Phi_{\text{ouv}}} = e^\Phi \sqrt{\det(\hat{g} + F)\hat{g}^{-1}} = \frac{1}{\sqrt{\cosh^2 \rho - \sin^2 r}}, \quad (4.28)$$

qui concorde avec l'expression déduite de la D-brane $H_2(r)$.

Le cas $\beta > 1$ donne des D-branes qui ne couvrent pas tout le cigare, car F doit être réel d'où $\cosh \rho \geq \beta$. Nous n'épiloguerons pas sur la relation avec les D-branes dS_2 dans AdS_3 . Nous allons plutôt décrire les D-branes T-duales dans la trompette. Bien qu'incorrecte à cause de la divergence du dilaton en $\rho = 0$, cette description permet de mieux comprendre la géométrie, voire la dynamique, des D-branes dans le cigare.

Les D0-branes dans la trompette ne peuvent vivre ailleurs que sur la singularité $\rho = 0$. Mais alors leur action est nulle, et de toute façon on ne fait plus confiance à la description semi-classique. Les D1-branes, elles, sont facilement décrites en coordonnées $(v = \cosh \rho, t)$, où l'action de Born-Infeld devient simplement : $S^{\text{BI}} \propto \int \sqrt{dv^2 + v^2 dt^2}$. Les D1-branes sont donc des lignes droites ^{‡2} dans ce «plan percé», le disque $v \leq 1$ n'étant pas physique. Une D1-brane qui rencontre ce disque est T-duale d'une D2-brane recouvrant le cigare, et une D1-brane qui ne le rencontre pas est T-duale d'une D2-brane d'équation $\rho \geq \text{constante}$ recouvrant partiellement le cigare (voir la figure 4.2.1).

^{‡2}Sauf des D1-branes en forme d'arcs de cercle $\rho = 0$, mais elles vivent dans la région de fort couplage et leur interprétation physique est très douteuse.

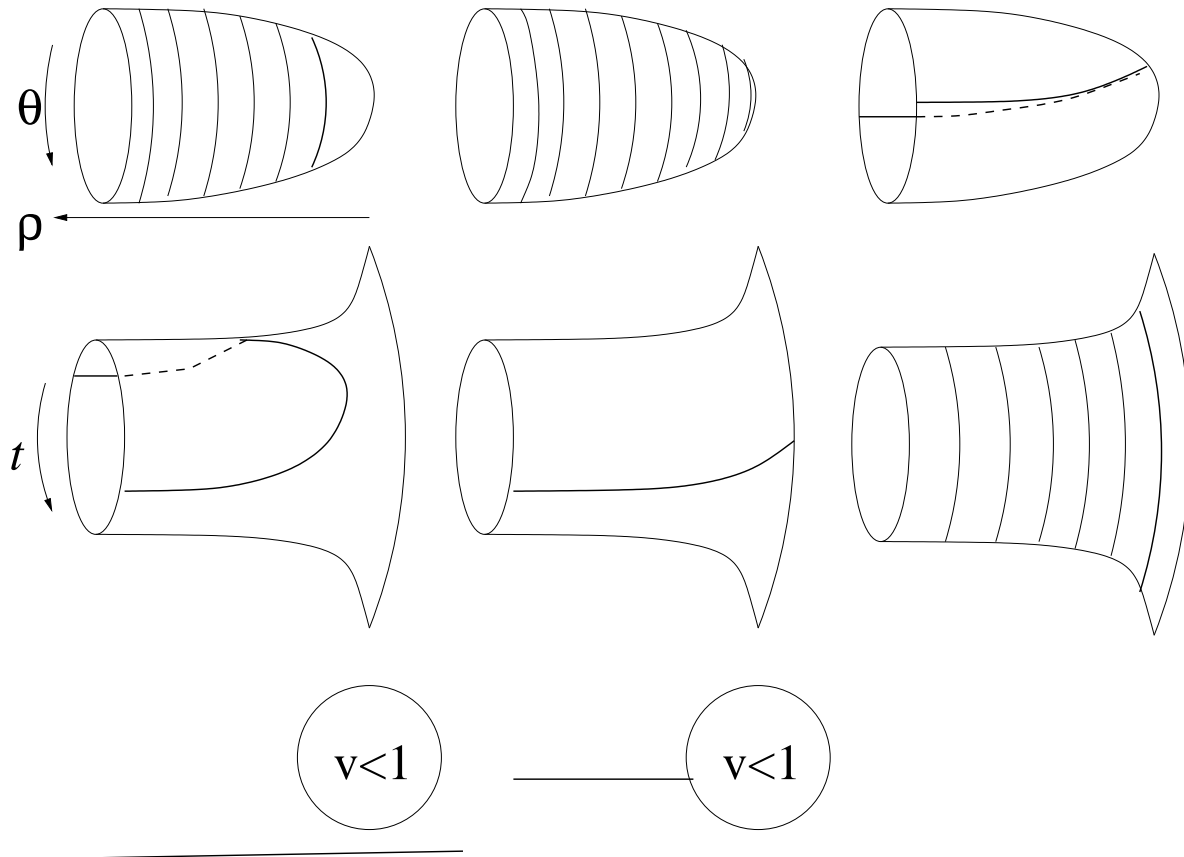


FIG. 4.6 – Les D-branes dans le cigare et les D-branes correspondantes dans la trompette. Les D1-branes dans la trompette sont en outre tracées comme des droites dans le plan $(v = \cosh \rho, t)$, qui rencontrent ou non le cercle limite $\rho = 0$.

4.2.2 Les états liés D2-D0

On peut se demander si, à l'image de phénomènes qui se produisent dans $SU(2)$ [BDS00, ARS00] et $SU(2)/U(1)$, il est possible de former des D2-branes dans le cigare comme états liés de D0-branes. On peut d'abord remarquer que l'énergie d'une D2-brane couvrant le cigare est infinie alors que celle d'une D0-brane est finie. Une question plus pertinente est donc : peut-on former un état lié d'une D2-brane (de paramètre r) avec N_{D0} D0-branes ? Le calcul de la charge $\int_{D2} F$, dont chaque D0-brane porte une unité, nous donne le paramètre r' de la nouvelle D2-brane ainsi créée,

$$r' - r = \frac{2\pi}{k} N_{D0}. \quad (4.29)$$

On peut montrer que la formation de cet état lié est énergétiquement possible, $E(r') \leq E(r) + N_{D0}E(D0)$.

Bien sûr, il serait intéressant de retrouver cette quantification de r au niveau des états de bord, comme c'est le cas pour les D-branes dans $SU(2)$ et $SU(2)/U(1)$. Cependant, il est tout aussi possible (et nous verrons des indications dans ce sens) que les théories conformes au bord correspondant à toutes les valeurs de r soient cohérentes, mais que seules des familles de D-branes quantifiées vérifiant (4.29) puissent coexister.

Cependant, le domaine physique du paramètre r est $r \in [0, \frac{\pi}{2}]$. Que se passe-t-il donc si l'on ajoute plus de D0-branes que r n'en peut absorber ? Bien que nos approximations semi-classiques ne soient alors plus valables, elles nous fournissent une image géométrique de ce qui peut se produire. En effet, la famille des D2-brane de paramètre $\beta > 1$ fournit des candidats naturels pour le devenir de notre D2(r)-brane. Quand r atteint $\frac{\pi}{2}$, le champ F sur la D2-brane devient critique et le «claquage» ainsi produit se traduit vraisemblablement par le détachement de la D2-brane du point $\rho = 0$. Ce phénomène se visualise bien dans le cas T-dual de la trompette. Cependant, la charge $\int_{D2} F$ ne dépend plus de β pour $\beta > 1$; la D2-brane ne peut donc plus former d'états liés avec des D0-branes supplémentaires. Ceci n'est pas surprenant, puisqu'elle ne recouvre plus le voisinage de $\rho = 0$ et n'interagit donc plus fortement avec les D0-branes qui y seraient localisées.

4.2.3 Le spectre et les enroulements demi-entiers

Nous avons constaté, au cours de notre étude des D-branes symétriques dans les variétés de groupes, que la dynamique des fluctuations quadratiques de l'action de Born-Infeld était régie par le Laplacien de la métrique de corde ouverte. Ce résultat

correspond à ce qu'on attend en général pour le spectre des cordes ouvertes en présence d'un champ F [SW99]. Nous allons ici emprunter un raccourci et étudier directement le spectre du Laplacien de corde ouverte des D-branes dans le cigare. Cela permet de déterminer quelles représentations apparaissent dans le spectre et avec quelle multiplicité, sans cependant vérifier la structure des modes zéro de chaque représentation. L'analyse complète des fluctuations de l'action de Born-Infeld a par ailleurs été effectuée par A. Fotopoulos [Fot03].

En présence d'un dilaton, le Laplacien de corde ouverte est :

$$\Delta_{\text{ouv}} = \frac{1}{e^{-2\Phi_{\text{ouv}}} \sqrt{\det g_{\text{ouv}}}} \partial_{\mu} e^{-2\Phi_{\text{ouv}}} \sqrt{\det g_{\text{ouv}}} g_{\text{ouv}}^{\mu\nu} \partial_{\nu} \quad , \quad (4.30)$$

où nous avons déjà défini $e^{\Phi_{\text{ouv}}}$, eq. (4.28), et nous définissons la métrique de corde ouverte,

$$g_{\text{ouv}} = \hat{g} - F \hat{g}^{-1} F. \quad (4.31)$$

Pour la D2-brane qui couvre le cigare, ces objets valent,

$$ds_{\text{ouv}}^2 = \frac{k}{\cosh^2 \rho - \sin^2 r} (\cosh^2 \rho d\rho^2 + \sinh^2 \rho d\theta^2) \quad , \quad e^{\Phi_{\text{ouv}}} = \frac{e^{\Phi_0}}{\sqrt{\cosh^2 \rho - \sin^2 r}}, \quad (4.32)$$

dont on déduit

$$k\Delta_{\text{ouv}} = \frac{2}{\sinh 2\rho} \partial_{\rho} \tanh \rho (\cosh^2 \rho - \sin^2 r) \partial_{\rho} + \frac{\cosh^2 \rho - \sin^2 r}{\sinh^2 \rho} \partial_{\theta}^2. \quad (4.33)$$

L'introduction de la variable $y = \sinh^2 \rho / \cos^2 r$ permet d'éliminer le paramètre r , et de se ramener à l'analyse harmonique sur le cigare que nous avons déjà évoquée. Mais comme la variable radiale physique reste ρ , les coefficients de réflexion auront un facteur dépendant de r . Plus précisément, le Laplacien en termes de y est $k\Delta_{\text{ouv}} = 4\partial_y y(y+1)\partial_y + \frac{y+1}{y}\partial_{\theta}^2$, les fonctions propres sont donc des fonctions hypergéométriques qui se comportent à l'infini comme

$$\Gamma(n+1) \left[\frac{\Gamma(-2j-1)}{\Gamma(-j+n/2)^2} y^{-j-1} + \frac{\Gamma(2j+1)}{\Gamma(j+1+n/2)^2} y^j \right], \quad (4.34)$$

où l'énergie est $-j(j+1)$, et le moment angulaire n . Ainsi, l'amplitude de réflexion est

$$R(j, n|r) = (\cos^2 r)^{2j+1} R(j, n|0), \quad (4.35)$$

ce qui donne un terme $\log \cos r$ dans la densité d'états.

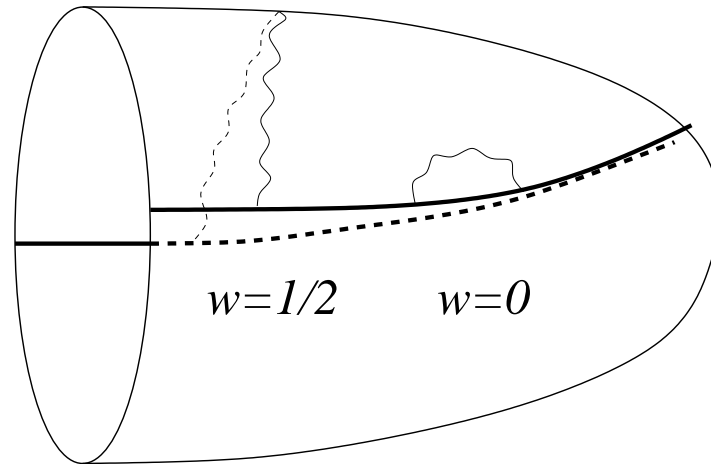


FIG. 4.7 – Une D1-brane dans le cigare, et deux états de cordes ouvertes d’enroulements $w = \frac{1}{2}$ et $w = 0$.

Considérons maintenant une D1-brane dans le cigare. L’analyse harmonique nous donne également la dépendance de la densité spectrale vis-à-vis du paramètre radial, soit un terme $\log \cosh r$. Cependant, la géométrie nous suggère qu’il existe d’autres états que les états d’enroulement zéro, ces autres états ne s’identifient pas avec des fonctions dans la limite semi-classique. En effet, une D1-brane a deux branches à l’infini et il peut donc exister non seulement des états d’enroulement entier comme c’est le cas pour les cordes fermées, mais aussi des états d’enroulement demi-entier correspondant à des cordes ouvertes s’étirant entre les deux branches de la D1-brane (voir la figure 4.2.3). Certes, ce nombre d’enroulement demi-entier n’est pas conservé, puisqu’il n’a aucun fondement topologique. Sa situation est donc similaire à celle du nombre d’enroulement w des cordes fermées dans $SL(2, \mathbb{R})/U(1)$ (qui est entier), mais aussi du flot spectral w dans $SL(2, \mathbb{R})$ qui lui correspond directement.

Ces considérations géométriques suggèrent donc qu’il existe des états d’enroulement demi-entier dans le spectre des cordes ouvertes sur une D1-brane de $SL(2, \mathbb{R})/U(1)$, dont la densité spectrale n’a pas *a priori* de limite semi-classique. Donc, elle peut différer de celle des cordes ouvertes ne s’enroulant pas. Nous allons maintenant confirmer ces prédictions par un calcul exact de l’amplitude du cylindre.

4.3 Construction d'états de bord

Notre stratégie pour construire les D-branes dans $SL(2, \mathbb{R})/U(1)$ va consister à «descendre» les états de bord connus dans H_3 , après avoir effectué une rotation de Wick ($p \rightarrow ip$). Elle s'inspire des constructions équivalentes dans le cas des modèles jaugés compacts. Nous n'essaierons donc pas d'évaluer directement les contraintes de factorisation dans le modèle jaugé $SL(2, \mathbb{R})/U(1)$, ce qui serait difficile techniquement et n'apporterait pas suffisamment d'informations, à cause du caractère compliqué de l'algèbre chirale $A(SL(2, \mathbb{R})/U(1))$ et de la possibilité pour les D2-branes de briser cette symétrie. Nous faisons confiance à la procédure de déduction à partir des D-branes dans H_3 , pour garantir la cohérence de nos constructions.

Les résultats exposés dans cette section sont issus d'un travail, non encore publié, effectué en collaboration avec V. Schomerus.

4.3.1 Les D1-branes

Une expression pour l'état de bord d'une D1-brane dans le cigare a déjà été conjecturée dans [PST02]. On part de l'état de bord d'une D-brane AdS_2 dans H_3 , écrit sous forme de la fonction à un point d'un état propre Φ_{np}^j d'impulsion p et de moment angulaire n , voir la formule (3.57). On peut interpréter cet état comme un état de nombre d'enroulement w dans le cigare, à la condition $p = ikw$. Il reste à transformer le facteur $\delta(p)$, qui reflète l'invariance par translation temporelle de la D-brane AdS_2 , en un facteur $\delta_{w,0}$, qui signifie que la D1-brane dans le cigare ne se couple qu'aux états d'enroulement nul. On obtient donc :

$$\langle \Phi_{n,w}^j(z) \rangle_{D1(r)} = \frac{e^{-r(2j+1)} + (-1)^n e^{r(2j+1)}}{\Gamma(1 + j + \frac{n}{2})\Gamma(1 + j - \frac{n}{2})} \Gamma(1 + b^2(2j + 1))\Gamma(2j + 1) \frac{2^{-\frac{3}{4}} b^{-\frac{1}{2}} \nu_b^{j+\frac{1}{2}} \delta_{w,0}}{|z - \bar{z}|^{2\Delta_j}} \quad (4.36)$$

En principe, cette formule n'est valable que pour la série continue $j \in -\frac{1}{2} + i\mathbb{R}$, la série discrète n'apparaissant pas dans le spectre des cordes dans H_3 . Mais, dans $SL(2, \mathbb{R})/U(1)$, tous les états discrets ont un enroulement w non nul (cela découle de la contrainte $|kw| > |n|$ que nous avons énoncée), et il est naturel de supposer que leur fonction à un point en présence d'une D1-brane est nulle.

Le calcul du diagramme du cylindre diffère du calcul analogue dans H_3 essentiellement ^{†3} pour la raison suivante : l'entier n n'est plus l'indice d'un état d'une

^{†3}Une différence inessentielle est la quantification de $p = ikw$, qui n'apparaît que dans un facteur global.

représentation de spin j de l'algèbre chirale, mais sert maintenant lui-même à indiquer les représentations. En particulier, l'énergie L_0 dépend de n , ce qui affecte les caractères $\chi_{(j,n)}^{SL(2,\mathbb{R})/U(1)}(q) = q^{b^2 P^2 + n^2/4k} / \eta(\tau)^2$. La somme sur n ne donne donc pas un facteur infini.

On calcule donc

$$Z_{D1(r)}^{\text{cyl}}(\tilde{q}) \propto \int dP \sum_{n \in \mathbb{Z}} \chi_{(-\frac{1}{2}+iP, n)}^{SL(2,\mathbb{R})/U(1)}(\tilde{q}) \left| \left\langle \Phi_{n0}^{-\frac{1}{2}+iP} \left(\frac{i}{2} \right) \right\rangle_{D1(r)} \right|^2. \quad (4.37)$$

Nous effectuons toujours implicitement un calcul relatif, en soustrayant $Z_{D1(0)}^{\text{cyl}}$, pour régulariser la même divergence du volume que dans le cas de la D-brane AdS_2 dans H_3 .

Nous obtenons

$$\begin{aligned} Z_{D1(r)}^{\text{cyl}}(\tilde{q}) \propto & \int dP \frac{1}{\sinh 2\pi b^2 P \sinh 2\pi P} \\ & \times \left[(\cosh^2 \pi P \cos^2 2rP + \sinh^2 \pi P \sin^2 2rP) \sum_{n \in \mathbb{Z}} \tilde{q}^{\frac{n^2}{4k}} \right. \\ & \left. + (\cosh^2 \pi P \cos^2 2rP - \sinh^2 \pi P \sin^2 2rP) \left(\sum_{n \in 2\mathbb{Z}} - \sum_{n \in 2\mathbb{Z}+1} \right) \tilde{q}^{\frac{n^2}{4k}} \right]. \end{aligned}$$

Nous avons donc deux termes à calculer, avec des dépendances en n différentes. Par resommation de Poisson de \sum_n , le premier terme correspond à des états de nombre d'enroulement $w \in \mathbb{Z}$, et le second à des états de nombre d'enroulement $w \in \mathbb{Z} + \frac{1}{2}$. Ces deux secteurs auront évidemment des densités d'états différentes. On peut poursuivre le calcul et montrer que la densité d'états du secteur $w \in \mathbb{Z}$ est la même que celle des cordes ouvertes sur une D-brane $AdS_2(r)$ dans AdS_3 , alors que la densité d'état du secteur $w \in \mathbb{Z} + \frac{1}{2}$ est $N(P|r, -r)$, dont nous rappelons l'expression,

$$N(P|r, -r) = \frac{1}{2\pi i} \frac{\partial}{\partial P} \log \frac{S'_k \left(\frac{r}{\pi b^2 + P} + P \right)}{S'_k \left(\frac{r}{\pi b^2 - P} \right)} + r - \text{ indép.}, \quad (4.38)$$

où la fonction S'_k est définie par la formule (3.46). Nous avons donc

$$Z_{D1(r)}^{\text{cyl}}(\tilde{q}) = Z_{D1(r)}^{\text{ouv}}(q) \propto \int dP' \frac{q^{b^2 P'^2}}{\eta(\tau)^2} \left[N(P'|r, r) \sum_{w \in \mathbb{Z}} q^{kw^2} + N(P'|r, -r) \sum_{w \in \mathbb{Z} + \frac{1}{2}} q^{kw^2} \right] \quad (4.39)$$

Cela correspond bien à l'intuition géométrique que les cordes d'enroulement $w = \frac{1}{2}$ vivant sur une D1-brane dans le cigare descendent des cordes de flot spectral $w = \frac{1}{2}$ vivant sur une D-brane AdS_2 dans H_3 .

On peut en outre considérer les limites semi-classiques des densités d'états mises en jeu. En se concentrant sur les termes qui dépendent de r , on trouve

$$\lim_{b \rightarrow 0} N(P|r, r) = \frac{1}{\pi} \int_0^\infty \frac{dt}{t} \left(\frac{\cos \frac{2tr}{\pi}}{\sinh t} - \frac{1}{t} \right). \quad (4.40)$$

Après différentiation par rapport à r et utilisation de l'identité $\frac{2}{\pi} \int_0^\infty dt \frac{\sin \frac{2tr}{\pi}}{\sinh t} = \tanh r$, on aboutit à la conclusion que la dépendance en r de $\lim_{b \rightarrow 0} N(P|r, r)$ est un terme $\log \cosh r$, ce qui concorde avec le calcul semi-classique de l'amplitude de réflexion évoqué dans la section précédente.

4.3.2 Les D2-branes qui recouvrent le cigare

Le cas des D2-branes dans le cigare est *a priori* beaucoup plus compliqué que celui des D1-branes. En effet, ces D-branes sont similaires aux B-branes dans $SU(2)/U(1)$; les D-branes H_2 d' AdS_3 dont elles descendent ne sont pas invariantes par l'isométrie que l'on jauge. De surcroît, cette isométrie agit dans une direction temporelle, ce qui requiert de prolonger analytiquement des états de bord de H_3 , et de quantifier leur impulsion, $p = ikw$. Comme si cela ne suffisait pas, on s'attend de plus à ce que nos D2-branes se couplent à des états d'enroulement, car elles sont invariantes par la rotation du cigare (en outre, ces couplages découlent de couplages géométriques des D-branes H_2 d' AdS_3 , qui sont non nuls dans la limite semi-classique). Cela nous oblige en principe à inclure une contribution non nulle des représentations discrètes dans l'état de bord.

Nous n'essaierons pas d'aborder les difficultés conceptuelles liées à ces problèmes, ni de justifier théoriquement la procédure de construction de l'état de bord que nous utiliserons. Nous nous contenterons de constater que, par une espèce de miracle calculatoire, *toutes ces difficultés n'ont pas d'impact sur le calcul de l'amplitude du cylindre*, au point que ce calcul ne nous permettra même pas de déterminer si les représentations discrètes doivent contribuer à l'état de bord ! Ce calcul sera validé par diverses propriétés de la densité des cordes ouvertes sur la D2-brane qu'il permet de déterminer, notamment sa limite semi-classique et son comportement quand le paramètre r de la D-brane s'approche de sa valeur maximale.

La forme de la fonction à un point de la D2-brane que nous conjecturons est :

$$\langle \Phi_{nw}^j(z, \bar{z}) \rangle_{D2(r)} = 2\pi \delta_{n,0} \left[C_j(kw) e^{-ir(2j+1)} + C_j(-kw) e^{ir(2j+1)} \right] \frac{\nu_b^{j+\frac{1}{2}} \Gamma(1 + b^2(2j+1))}{(z - \bar{z})^{2h_{nw}^j}} \quad (4.41)$$

où nous utilisons la fonction

$$C_j(p) = \frac{\Gamma(2j+1)\Gamma(-j+p/2)}{2\Gamma(j+1+p/2)}. \quad (4.42)$$

La fonction à un point (4.41) s'obtient à partir de celle de la D-brane H_2 dans H_3 , elle-même déduite de la D-brane AdS_2 dans H_3 par simple rotation, en écrivant $p = ikw$ et en effectuant la rotation de Wick $r \rightarrow ir$. Elle ne vaut en principe que pour les états Φ_{nw}^j continus.

On pourrait cependant l'utiliser pour conjecturer la fonction à un point des états discrets, par prolongement analytique de j . En fait, si l'on considère plutôt l'état de bord d'une D-brane, H_2 dans $SL(2, \mathbb{R})$, ce prolongement analytique est parfaitement en accord avec la limite semi-classique (limite où le couplage d'un état à une D-brane devient l'intégrale d'une fonction sur une sous-variété). Une analyse précise des pôles des expressions mises en jeu montre qu'il faut attribuer chacun des deux termes de l'équation (4.41) à l'une des séries discrète D_j^+ ou D_j^- . Ainsi, la fonction à un point d'un opérateur dans la série discrète D_j^+ est :

$$\langle \Phi_{0p}^{j,+}(z, \bar{z}) \rangle_{D2(r)} = \frac{\Gamma(2j+1)\Gamma(-j+p/2)}{\Gamma(j+1+p/2)} \pi e^{ir(2j+1)} \frac{\nu_b^{j+\frac{1}{2}} \Gamma(1+b^2(2j+1))}{(z-\bar{z})^{2h_{0p}^j}}. \quad (4.43)$$

Nous pouvons avoir confiance en cette formule dans le cas de la D-brane H_2 dans $SL(2, \mathbb{R})$. Mais la géométrie de la D-brane est très liée à la périodicité 2π de la direction t (par exemple, quand $r \rightarrow \frac{\pi}{2}$, la D-brane H_2 tend vers le cône de lumière). Ainsi, la fonction à un point d'un état discret est le résidu d'un pôle de la fonction à un point d'un état continu. Mais, dans le cigare, la quantification n'est plus $p \in \mathbb{Z}$ mais $p = kw, w \in \mathbb{Z}$, où k n'a pas à être entier. Les pôles de l'état de bord (4.41) ne correspondent alors à rien de physique, et il est plus naturel de supposer que la D2-brane ne se couple pas aux états discrets. Cependant, le calcul qui suit ne permet pas de mettre cette conjecture à l'épreuve.

Dans le calcul du diagramme du cylindre à partir de ces états de bord, la régularisation consistant à travailler modulo des termes indépendants de r joue un rôle crucial. En effet, elle va nous permettre d'ignorer la quantification $p = kw$, ainsi que la contribution éventuelle des représentations discrètes. Cette dernière ne dépend en effet pas de r , puisque $|e^{ir(2j+1)}|^2 = 1$. Quant à la dépendance en p , elle ne joue aucun rôle comme le montre l'identité

$$|\langle \Phi_{0p}^j(z = \frac{i}{2}) \rangle_{D2(r)}|^2 \simeq \frac{1}{\sinh \pi 2P} \frac{\sinh^2 r}{\sinh \pi b^2} \frac{2P}{2P} + r - \text{indep.} \quad (4.44)$$

Le calcul du diagramme du cylindre est donc identique au calcul équivalent dans le cas de la D-brane AdS_2 dans H_3 , modulo le prolongement analytique $r \rightarrow ir$, et son résultat est

$$Z_{D2(r)}^{cyl}(\tilde{q}) = Z_{D2(r)}^{ouv}(q) \propto \sum_{n \in \mathbb{Z}} q^{\frac{n^2}{4k}} \int dP' \frac{q^{b^2 P'^2}}{\eta(\tau)^2} N(P'|ir, ir). \quad (4.45)$$

La partie « $U(1)$ » de $SL(2, \mathbb{R})/U(1)$ se factorise donc. Elle nous apprend que sur la D2-brane vivent des états d'impulsion quantifiée, similaires aux états de cordes fermées correspondants. En revanche, les états asymptotiques de cordes fermées d'enroulement non nul n'ont pas d'équivalent dans le spectre de la D2-brane. Ce résultat était prévisible : une corde ouverte enroulée autour de la D2-brane peut se contracter sous l'effet de sa propre tension.

Il reste à évaluer les termes dépendant de r de la densité spectrale $N(P|ir, ir)$, donnés par la dérivée par rapport à P de

$$\log S_k\left(\frac{ir}{\pi b^2} + P\right) - \log S_k\left(\frac{ir}{\pi b^2} - P\right) = i \int_0^\infty \frac{dt}{t} \left(\frac{\sin 2tb^2 P \cosh \frac{2tr}{\pi}}{\sinh b^2 t \sinh t} - \frac{2P}{t} \right). \quad (4.46)$$

On constate que cette intégrale converge pour $r < \frac{\pi}{2}(1 + b^2)$. Or, dans notre définition semi-classique de la D-brane, le paramètre r était restreint à l'intervalle $[0, \frac{\pi}{2}]$, dont la borne supérieure était la «limite de claquage», correspondant à une valeur critique du champ F . Ce comportement est donc confirmé par notre calcul exact du spectre des cordes ouvertes, à une correction $\frac{\pi b^2}{2} = \frac{\pi}{2} \frac{1}{k-2}$ près.

La limite semi-classique de $N(P|ir, ir)$ coïncide en fait avec la prédiction de l'analyse harmonique, $\log \cos r$. Nous considérons cet accord comme un argument en faveur de notre expression pour l'état de bord (4.41).

Nous achevons cette discussion de la D2-brane dans le cigare par une remarque. Si la différence des paramètre de deux D2-branes obéit à une condition de quantification,

$$r - r' = \pi b^2 N_{D0}, \quad (4.47)$$

analogue à la condition déjà considérée (4.29), alors la différence $N(P|ir, ir) - N(P|ir', ir')$ se simplifie,

$$N(P|ir, ir) - N(P|ir', ir') = 2\pi i b^2 \sum_{l=0}^{N_{D0}-1} \frac{\sin 2\pi b^2 (\frac{1}{2} + l + \frac{r'}{\pi b^2})}{\cosh 2\pi b^2 P + \cos 2\pi b^2 (\frac{1}{2} + l + \frac{r'}{\pi b^2})}. \quad (4.48)$$

Cette expression possède N_{D0} pôles pour des valeurs imaginaires de P , qui correspondent à des représentations unitaires. Cette remarque joue en faveur de l'existence du

processus de formation d'états liés entre une D2-brane et des D0-branes, mais sa signification exacte reste à préciser.

Chapitre 5

Variations sur le thème D3/NS5

Dans ce chapitre, nous utiliserons les «modèles jouets» des chapitres précédents, c'est-à-dire des modèles de théorie des cordes relativement simples à basse dimension, pour construire des modèles plus «réalistes», solutions de la théorie des cordes supersymétrique à dix dimensions.

Ainsi, nous allons étudier les D-branes, et plus particulièrement les D3-branes, dans des «espaces de NS5-branes». Ces D-branes permettent de réaliser géométriquement divers phénomènes intéressants des théories de jauge supersymétriques et de la Petite Théorie des Cordes. Certains espaces de NS5-branes pourront être reliés (par T-dualité) au cigare, et cette correspondance sera aussi valable pour les D-branes. Nous allons donc montrer comment les D-branes du chapitre précédent apparaissent dans ce nouveau contexte.

5.1 D-branes et jeux de construction

Nous avons introduit les Dp -branes comme les sources des p -branes noires. Ces dernières sont des configurations non triviales de l'espace-temps, qui ont un grand intérêt tant conceptuel que phénoménologique, de par leurs propriétés thermodynamiques, holographiques, et leur analogie avec les trous noirs ordinaires. L'étude de la dynamique des Dp -branes est essentielle pour la compréhension de ces objets ; en outre, les configurations de Dp -branes permettent de construire des modèles pour la cosmologie et la physique des hautes énergies.

Cette section sera donc consacrée à l'exposition de certains résultats importants de la dynamique des Dp -branes, que nous utiliserons par la suite.

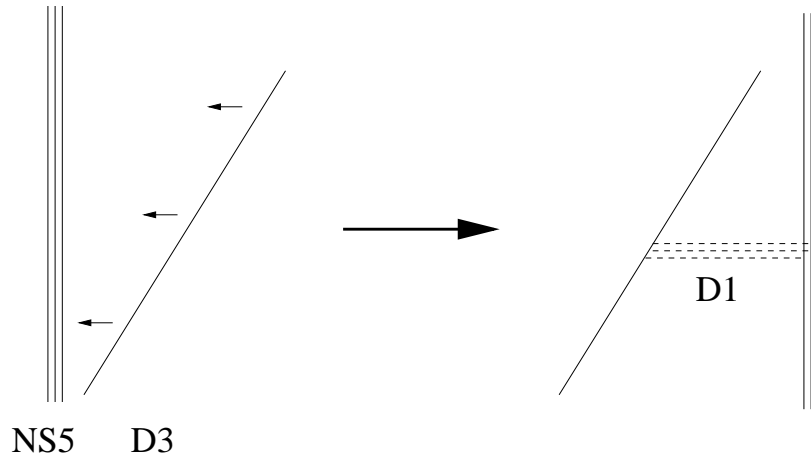


FIG. 5.1 – Un exemple de l'effet Hanany-Witten

5.1.1 Branologie

Nous allons d'abord tirer quelques conséquences de la définition des D-branes et de leurs propriétés de transformation par les dualités de la théorie des cordes.

Une corde fondamentale peut par définition aboutir sur une Dp -brane quelconque, ce que nous noterons $F1 \rightarrow Dp$. Dans le cas de la théorie de type IIB, on peut obtenir par S-dualité des conséquences de ce fait, par exemple $D1 \rightarrow NS5$ ou $D1 \rightarrow D3$. En appliquant deux T-dualités, puis une S-dualité, on obtient $D3 \rightarrow NS5$, où la D3-brane a 2+1 directions le long de la NS5-brane et une direction transverse. Par T-dualité on obtient, en théorie de type IIA, $D4 \rightarrow NS5$.

Une D1-brane peut donc aboutir d'un côté sur une D3-brane, de l'autre sur une NS5-brane. Hanany et Witten [HW97] ont montré que cette configuration pouvait résulter du passage de la D3-brane à travers la NS5-brane (en supposant que la D3-brane ait 2+1 direction parallèle à la NS5-brane et 1 direction orthogonale). La création d'une D1-brane lors du croisement de la D3-brane et de la NS5-brane découle de la conservation de la charge. Ainsi, si une D3-brane croise plusieurs NS5-branes superposées, il se créera autant de D1-branes (voir la figure 5.1.1).

Nous venons d'utiliser la possibilité de superposer des NS5-branes, de même que nous avons déjà considéré des superpositions de D-branes. D'ailleurs, les solutions de supergravité de p -branes noires ne sont valables que dans la limite d'un grand nombre de Dp -branes superposées. Plus généralement, il est possible de former des états liés en superposant des objets de nature différente. Par exemple, on peut montrer qu'un système de cordes F1 et de D1-branes parallèles brise la supersymétrie, mais qu'il existe

un état lié supersymétrique d'énergie inférieure portant les mêmes charges. Ces mêmes critères d'énergie et de charge nous ont servi au précédent chapitre à argumenter en faveur de la formation d'un état lié entre une D2-brane et des D0-branes dans le cigare, état lié que nous avons identifié comme une autre D2-brane.

Dans certaines limites, il est possible d'étudier ces phénomènes au moyen d'actions effectives des D-branes. Par exemple, la formation des D2-branes symétriques de $SU(2)$ comme états liés de D0-branes a été décrite dans [ARS00]. Myers a donné une explication de la formation d'états liés dans un contexte assez général en termes d'effet diélectrique [Mye99]. Plus précisément, un ensemble de Dp -branes peut former un état lié en présence d'un champ $C^{(p+3)}$, à cause d'un couplage qui apparaît dans le terme de Wess-Zumino de l'action effective non-abélienne des Dp -branes (alors que nous avons vu que, dans l'action effective abélienne, une Dp -brane ne se couplait qu'aux formes de Ramond-Ramond de degré au plus $p + 1$). Ce phénomène peut aussi se produire en présence d'un champ $H = dB$. Nous verrons plus loin un exemple de formation d'état lié de D1-branes avec une D3-brane en présence d'un champ H , que nous attribuerons à l'effet Myers.

5.1.2 Constructions à base de NS5-branes

La réalisation de théories de jauge non-abéliennes au moyen de cordes ouvertes s'étirant entre différentes D-branes est un intérêt primordial des configurations de D-branes superposées, juxtaposées ou aboutissant les unes sur les autres. Nous avons déjà mentionné la possibilité d'obtenir des théories de jauge $U(N)$ au moyen de N D-branes superposées. Mais, dans des constructions plus compliquées, le nombre de D-branes peut aussi s'interpréter comme le nombre de saveurs et non plus le rang du groupe de jauge (auss appelé nombre de couleurs). C'est le cas dans une configuration de la théorie de type IIA proposée dans [EGK⁺00], construite à partir de NS5-branes.

Cette configuration met en jeu, entre autres, des D4-branes aboutissant sur des NS5-branes. On peut considérer les D4-branes comme des branes-tests de masse faible, tout en prenant en compte la déformation de l'espace-temps créée par les NS5-branes (si elles sont assez nombreuses). Alors les D4-branes s'étendent le long de la direction radiale de la 5-brane noire ainsi créée. Donc, elles ne disparaissent pas lorsqu'on applique la limite d'horizon proche. Rappelons que la limite d'horizon proche de la 5-brane noire créée par les NS5-branes est l'espace $\mathbb{R}^{1,5} \times SU(2) \times \mathbb{R}_\Phi$. Les D4-branes s'étendent dans cette limite sur trois des quatre directions transverses $SU(2) \times \mathbb{R}_\Phi$, et leur géométrie

est $S^2 \times \mathbb{R}_\Phi$ où S^2 est une classe de conjugaison de $SU(2)$ dont le paramètre, quantifié, correspond au nombre de D4-branes.

Un inconvénient majeur de cette configuration de NS5-branes superposées est la divergence du dilaton dans la région proche des sources. Comme e^Φ est le couplage des cordes, on ne peut se fier à la théorie des cordes perturbatives pour étudier cette région. Il est possible de régulariser cette divergence en séparant les NS5-branes. Plutôt que de les placer sur une sphère [KKPR03], nous allons les disposer sur un cercle [Sfe99]. La limite d'horizon proche de l'espace-temps ainsi créé est reliée au cigare, et nous pourrions obtenir certaines D-branes dans le cigare de même que nous avons obtenu les D-branes de $SU(2)$ quand les NS5-branes étaient superposées. Le rapport avec le cigare est connu depuis longtemps [OV96], mais nous lui donnerons une interprétation géométrique en termes de T-dualité, qui permettra d'étudier plus aisément les D-branes.

Cependant, avant de traiter explicitement le cas des NS5-branes sur un cercle et d'étudier les D-branes dans la solution de supergravité correspondante dans la section 5.4, nous allons faire une digression sur la dynamique des D-branes, notamment dans le cas des espaces créés par des NS5-branes, qui seront systématiquement présentés dans le paragraphe 5.3.1.

5.2 Actions effectives et géométrie

Dans cette section, nous allons introduire une formulation de la dynamique de Born-Infeld proposée dans [Rib03a]. La motivation originale de cette formulation était la détermination de corrections dérivatives à l'action effective des D-branes dans les théories des cordes supersymétriques, en présence de torsion $H = dB$. Ce problème peut être abordé du point de vue de la géométrie non-commutative et même non-associative [CS02]. L'approche que j'ai essayé de mettre en œuvre avec A. Fotopoulos consistait à généraliser directement les tenseurs de la géométrie des surfaces plongées, qui apparaissent dans les corrections gravitationnelles déjà connues. Mais il s'est révélé que les tenseurs ainsi construits permettaient de former trop de combinaisons différentes, pour que l'on puisse déterminer les corrections dominantes à l'aide des quelques diagrammes de cordes que l'on sache évaluer explicitement.

Il n'en reste pas moins quelques résultats suggestifs, dont la formulation de la dynamique de Born-Infeld au moyen d'une généralisation de la seconde forme fondamentale. Cette formulation a l'avantage d'être invariante de jauge, ce qui la rend pratique pour effectuer des calculs dans des cas particuliers comme nous le verrons par la suite.

5.2.1 Géométrie riemannienne des surfaces plongées

Nous allons décrire quelques objets caractérisant la géométrie d'une surface Br plongée dans une variété de dimension supérieure. Naturellement, nous appliquerons ces concepts aux D-branes plongées dans l'espace-temps.

Choisissons des coordonnées x^i sur Br , et notons $X^\mu(x^i)$ son plongement dans une variété munie d'une métrique $g_{\mu\nu}$, et de la connexion riemannienne correspondante $\Gamma(g)$. Le premier objet que l'on puisse définir est la *métrique induite*, que nous avons utilisée fréquemment,

$$\hat{g}_{ij} = g_{\mu\nu} \partial_i X^\mu \partial_j X^\nu. \quad (5.1)$$

Cette métrique munit Br d'une structure de variété riemannienne, dont on peut calculer le tenseur de *courbure intrinsèque*,

$$(R_T)_{ijkl} = R(\Gamma(\hat{g}))_{ijkl}. \quad (5.2)$$

Nous allons maintenant définir les quantités qui caractérisent le plongement proprement dit. Soit $\xi^{\mu a}$ une base du fibré normal à Br (une collection de vecteurs ξ^a de composantes $\xi^{\mu a}$), on a pour tout a la relation d'orthogonalité $\xi^{\mu a} g_{\mu\nu} \partial_i X^\nu = 0$. On définit la *connexion de spin*

$$\omega_i^{ab} = \frac{1}{2} \xi_\mu^{[a} (\partial_i + \Gamma(g)_{\rho\nu}^\mu \partial_i X^\rho) \xi^{\nu b]}, \quad (5.3)$$

dont la courbure est la *courbure extrinsèque* de Br ,

$$(R_N)_{ij}{}^{\mu\nu} = (\partial_{[i} \omega_{j]}^{ab} - \omega_{[i}^{ac} \omega_{j]}^{bc}) \xi_a^\mu \xi_b^\nu. \quad (5.4)$$

Les courbures intrinsèque et extrinsèque R_T et R_N , dont les indices sont mis pour «Tangent» et «Normal», sont reliées au tenseur de courbure de l'espace $R(\Gamma(g))_{\mu\nu\rho\sigma}$ par les équations de Gauss et Codazzi. Pour les écrire, nous aurons besoin de la *seconde forme fondamentale* de Br ,

$$\Omega(X, g)_{ij}^\mu = \partial_i \partial_j X^\mu + \Gamma_{\nu\rho}^\mu(g) \partial_i X^\nu \partial_j X^\rho - \Gamma(\hat{g})_{ij}^k \partial_k X^\mu. \quad (5.5)$$

Cet objet permet essentiellement d'évaluer la différence entre le transport parallèle le long de Br selon la connexion $\Gamma(\hat{g})$, et le transport parallèle dans l'espace tout entier. Il est automatiquement *transverse*, soit $\Omega(X, g)_{ij}^\mu g_{\mu\nu} \partial_k X^\nu = 0$ pour tout k . La seconde forme fondamentale est nulle dans le cas des sous-variétés *totalelement géodésiques*, telles que toute géodésique pour $\Gamma(\hat{g})$ sur Br soit également une géodésique de l'espace-temps.

Donc, à l'aide de cette seconde forme fondamentale, nous écrivons les équations de Gauss et Codazzi,

$$(R_T)_{ijkl} = R(\Gamma(g))_{\mu\nu\rho\sigma} \partial_i X^\mu \partial_j X^\nu \partial_k X^\rho \partial_l X^\sigma + g_{\mu\nu} \Omega(X, g)_{[lj}^\mu \Omega(X, g)_{k]i}^\nu, \quad (5.6)$$

$$(R_N)_{ij}{}^{\mu\nu} = R(\Gamma(g))^{\mu\nu}{}_{\rho\sigma} \partial_i X^\rho \partial_j X^\sigma - \hat{g}^{kl} \Omega(X, g)_{jk}^{[\mu} \Omega(X, g)_{il}^{\nu]}. \quad (5.7)$$

En s'inspirant de ces équations, on peut introduire [BBG99] un tenseur de courbure à deux indices \bar{R} ,

$$\bar{R}^{\mu\nu} = \hat{g}^{ij} R(\Gamma(g))^{\mu\nu}{}_{\rho\sigma} \partial_i X^\rho \partial_j X^\sigma + \hat{g}^{ij} \hat{g}^{kl} \Omega(X, g)_{ik}^\mu \Omega(X, g)_{jl}^\nu. \quad (5.8)$$

Ce tenseur n'a pas d'interprétation géométrique particulière, mais son introduction simplifiera l'écriture des corrections à l'action de Born-Infeld.

Nous allons maintenant voir comment ces objets apparaissent dans la dynamique des D-branes et dans les corrections à leur action effective, dans le cas où ces D-branes sont de simples sous-variétés ($F=0$) d'un espace-temps sans champ B .

5.2.2 Corrections gravitationnelles et courbure extrinsèque

L'action de Born-Infeld, dans le cas où $B = \Phi = 0$ et $F = 0$, est simplement le volume de la D-brane,

$$S^{\text{BI}} \propto \int dx^i \sqrt{\det \hat{g}}. \quad (5.9)$$

Les équations du mouvement de cette action équivalent à l'annulation de la trace de la seconde forme fondamentale,

$$\hat{g}^{ij} \Omega(X, g)_{ij}^\mu = 0. \quad (5.10)$$

Cette condition est beaucoup plus faible que la condition d'être totalement géodésique, $\Omega(X, g) = 0$.

Les corrections dominantes à l'action de Born-Infeld ont été déterminées dans [BBG99, Fot01] dans le cas où $B = 0$ (on suppose aussi l'annulation du dilaton et des champs de Ramond-Ramond), et $F = 0$ sur la D-brane. Ces hypothèses ramènent la dynamique des D-branes à un problème purement géométrique, où la métrique est le seul champ physique à intervenir. Nous appellerons donc les corrections à l'action effective dans ce cas des *corrections gravitationnelles*.

Nous avons déjà mentionné que les corrections à l'action de Born-Infeld formaient un développement en puissances de α' , chaque puissance de α' correspondant à deux

dérivées appliquées aux champs physiques (les dérivées viennent deux par deux, car il faut pouvoir contracter les indices). On s'attendrait donc à ce que les corrections dominantes aient deux dérivées, et un facteur α' , de plus que l'action de Born-Infeld elle-même. C'est effectivement le cas dans la théorie des cordes bosoniques ; mais, dans le cas supersymétrique qui nous intéresse, ces corrections à deux dérivées sont nulles. Ceci est lié à l'invariance par T-dualité des actions effectives. En effet, les corrections en $O(\alpha')$ aux transformations de T-dualité sont nulles dans les théories des cordes supersymétriques, mais pas dans le cas bosonique. Ainsi, dans ce dernier cas, des corrections en $O(\alpha')$ à l'action de Born-Infeld sont engendrées par la transformation de T-dualité de cette action.

Nous donnons l'expression de ces corrections gravitationnelles sous la forme des deux termes dominants de l'action effective d'une D-brane,

$$S = S^{\text{BI}} + S^{\text{cor}} = T_p \int dx^i \sqrt{\det \hat{g}} - T_p \frac{\pi^2 \alpha'^2}{48} \int dx^i \sqrt{\det \hat{g}} \times \\ \times [(R_T)_{ijkl}(R_T)^{ijkl} - 2(R_T)_{ij}(R_T)^{ij} - (R_N)_{ij}{}^{\mu\nu}(R_N)^{ij}{}_{\mu\nu} + 2\bar{R}_{\mu\nu}\bar{R}^{\mu\nu}] \quad (5.11)$$

On retrouve dans cette expression les objets géométriques que nous avons définis au paragraphe 5.2.1. Nous allons maintenant voir une généralisation de ces objets géométriques (mais, hélas, pas de l'action effective des D-branes) dans le cas $H = dB \neq 0$.

5.2.3 Une généralisation non commutative de la seconde forme fondamentale

On considère maintenant un espace-temps muni de champs de fond non triviaux g, B, Φ . En particulier, $H = dB$ est non nul. Nous avons déjà défini la connexion

$$\Gamma = \Gamma(g) - \frac{1}{2}H, \quad (5.12)$$

qui permet d'écrire certaines corrections à l'action de la supergravité. Nous allons maintenant introduire d'autres objets géométriques qui généralisent ceux du paragraphe 5.2.1. L'objet essentiel sera une généralisation Ω de la seconde forme fondamentale $\Omega(X, g)$, qui sera transverse comme $\Omega(X, g)$, correspondra naturellement à Γ comme $\Omega(X, g)$ correspondait à $\Gamma(g)$, et surtout nous permettra d'écrire les équations du mouvement de l'action de Born-Infeld sous la forme d'une trace mettant en jeu la métrique non symétrique $\hat{g} + \hat{B} + F$.

La seconde forme fondamentale mesure la différence entre le transport parallèle sur Br pour la métrique induite, et le transport parallèle dans l'espace-temps. Si nous définissons maintenant ce dernier au moyen de la connexion Γ , il faut aussi généraliser la notion de transport parallèle sur la D-brane Br . Nous définissons donc la *connexion induite*,

$$\hat{\Gamma} = \Gamma(\hat{g}) - \frac{1}{2}\hat{H}, \quad (5.13)$$

où les indices sont levés par la métrique induite. Il est alors naturel d'écrire la généralisation de la seconde forme fondamentale,

$$\Omega_{ij}^\mu = \partial_i \partial_j X^\mu + \Gamma_{\nu\rho}^\mu \partial_i X^\nu \partial_j X^\rho - \hat{\Gamma}_{ij}^k \partial_k X^\mu, \quad (5.14)$$

dont la transversalité, $\Omega_{ij}^\mu g_{\mu\nu} \partial_k X^\nu = 0$, découle trivialement de celle de $\Omega(X, g)$.

Nous pouvons aussi généraliser les tenseurs R_T et R_N . L'analogue de R_T , encore appelé R_T , est simplement le tenseur de courbure de $\hat{\Gamma}$ au lieu de $\Gamma(\hat{g})$, et l'analogue de R_N est la courbure de la connexion de spin définie (via l'équation (5.3)) à partir de $\Gamma = \Gamma(g) - \frac{1}{2}H$ au lieu de $\Gamma(g)$. Alors, les équations de Gauss (5.6) et Codazzi (5.7) restent vraies, pourvu que l'on utilise Γ au lieu de $\Gamma(g)$ et la forme Ω (5.14) au lieu de $\Omega(X, g)$.

Il nous reste à interpréter physiquement ces constructions. Nous savons déjà que dans le cas $B = 0$, la dynamique de Born-Infeld se réduit à l'annulation de la trace de la seconde forme fondamentale. Essayons de généraliser ce résultat. Écrivons les équations du mouvement du plongement X^μ déduites du lagrangien de Born-Infeld $\mathcal{L}_{\text{BI}} = e^{-\Phi} \sqrt{\det(\hat{g} + \omega)}$. D'abord,

$$E_\mu = \frac{\delta \mathcal{L}_{\text{BI}}}{\delta X^\mu} - \partial_i \frac{\delta \mathcal{L}_{\text{BI}}}{\delta \partial_i X^\mu} \quad (5.15)$$

est l'équation du mouvement du plongement $X^\mu(x^i)$, qui généralise directement la minimisation du volume de Br . Cette équation a une propriété fort déplaisante : bien que l'action S^{BI} soit invariante par les transformations de jauge $B \rightarrow B + \Lambda$, $F \rightarrow F - \hat{\Lambda}$ avec Λ une deux-forme fermée, ce n'est pas le cas de E_μ , qui ne peut se réduire à une expression en termes des quantités invariantes $H = dB$ et $\omega = \hat{B} + F$. Or, la généralisation naturelle de l'équation (5.10) que nous serions tentés d'écrire est, si $\Phi = 0$,

$$[(\hat{g} + \omega)^{-1}]^{ji} \Omega_{ij}^\mu = 0, \quad (5.16)$$

qui est invariante de jauge, ce qui la distingue de l'équation du mouvement (5.15) du plongement X^μ .

Cependant, la dynamique de Born-Infeld présente une autre différence fondamentale avec le principe géométrique de minimisation du volume : l'existence de degrés de liberté supplémentaires, sous la forme d'un champ $F = dA$ sur Br . Les équations du mouvement de A_i sont

$$E^k = -\partial_i \frac{\delta \mathcal{L}_{\text{BI}}}{\delta F_{ik}}. \quad (5.17)$$

Ces équations sont elles-mêmes invariantes de jauge, et il est possible de les combiner avec les équation du mouvement de X^μ pour obtenir notre équation géométrique (5.16). Plus précisément, nous allons écrire une identité, valable pour toutes valeurs des champs de fond g, B, Φ et du champ sur la D-brane F ,

$$E^\mu + E^j (\omega_j^k \partial_k X^\mu - B_\nu^\mu \partial_j X^\nu) \quad (5.18)$$

$$= -\sqrt{\det(\hat{g} + \omega)} [(\hat{g} + \omega)^{-1}]^{ji} \left(\partial_i \partial_j X^\mu + \Gamma_{\nu\rho}^\mu \partial_i X^\nu \partial_j X^\rho - \hat{\Gamma}_{ij}^k \partial_k X^\mu \right) \quad (5.19)$$

$$- \sqrt{\det(\hat{g} + \omega)} (\partial^\mu \Phi - \hat{g}^{ij} \partial_i \Phi \partial_j X^\mu). \quad (5.20)$$

L'annulation de cette quantité définit la dynamique de Born-Infeld de manière invariante de jauge. On voit apparaître naturellement notre seconde forme fondamentale Ω_{ij}^μ (équation (5.14)), sous la forme de sa «trace» définie par la métrique non-symétrique $\hat{g} + \omega$. Il n'est cependant pas possible d'inclure les termes dus au dilaton (5.20) dans une redéfinition de Ω_{ij}^μ (malgré l'existence d'une connexion incluant le dilaton qui joue un certain rôle dans les corrections à la supergravité [GS87]).

Mentionnons enfin une autre manière de formuler la dynamique de Born-Infeld de façon invariante de jauge. Elle consiste à éliminer le champ A de la théorie, et à la reformuler directement en termes du champ $\omega = \hat{B} + F$. Ainsi, les équations du mouvement sont manifestement invariantes de jauge ; cependant, le fait de considérer ω comme un champ dynamique nous oblige à imposer la contrainte $d\omega = \hat{H}$ au moyen d'un multiplicateur de Lagrange C^{ijk} défini comme une trois-forme sur Br . L'action du système est donc

$$S(X^\mu, \omega, C) = \int dx^i e^{-\Phi} \sqrt{\det(\hat{g} + \omega)} + \lambda \int dx^i C^{ijk} (d\omega - \hat{H})_{ijk}. \quad (5.21)$$

L'équation du mouvement du plongement X^μ , après élimination du champ C à l'aide de l'équation du mouvement de ω , est alors

$$E^\mu - E^j B_\nu^\mu \partial_j X^\nu = 0. \quad (5.22)$$

Cette équation du mouvement apparaît par ailleurs dans la reformulation invariante de jauge de la dynamique des D-branes de Skenderis et Taylor [ST02].

5.3 L'origine des D3-branes

Nous allons utiliser l'équation de Born-Infeld covariante (5.18) pour étudier la dynamique des D3-branes dans certains espaces créés par des NS5-branes, en suivant [Rib03a]. Nous pourrions comparer cette dynamique avec une condition de supersymétrie en toute généralité, sans faire d'hypothèse sur la géométrie des D3-branes.

5.3.1 Les espaces de NS5-branes

Nous avons considéré dans le premier chapitre des solutions de la supergravité (1.23-1.25) définies par S-dualité à partir de configurations de D1 et D5-branes superposées. Nous savons maintenant que ces solutions sont créées par des cordes F1 et des NS5-branes. Dans le cas où les cordes sont absentes, $N_1 = 0$, ces solutions sont définies par une fonction $H_5 = 1 + \frac{N_5 g_s \alpha'}{r^2}$. Nous renotons cette fonction V et réécrivons les champs de fond dans les quatre directions euclidiennes transverses aux NS5-branes^{‡1}, paramétrées par X^μ avec $r^2 = X_\mu X^\mu$,

$$g_{\mu\nu} = g_s^{-1} V \delta_{\mu\nu}, \quad (5.23)$$

$$H_{\mu\nu\rho} = g_s^{-1} \epsilon_{\mu\nu\rho\sigma} \partial_\sigma V, \quad (5.24)$$

$$e^\Phi = g_s^{-1} V^{\frac{1}{2}}. \quad (5.25)$$

On remarque que la superposition de plusieurs NS5-branes revient à additionner les termes en $\frac{1}{r^2}$ des fonctions V qui les définissent. Ce phénomène se produit aussi pour la juxtaposition de NS5-branes parallèles, et on obtient toujours des solutions de la supergravité si l'on abandonne la quantification de N_5 . On peut même considérer des NS5-branes étalées sur des sous-variétés. En fait, n'importe quelle fonction harmonique V vérifiant $\partial_\mu \partial_\mu V = 0$ définit une solution de la supergravité via les équations (5.23-5.25).

Nous appellerons ces solutions des *espaces de NS5-branes*. L'étude des D-branes dans ces espaces est facile dans le cas des D0-branes, qui se réfugient aux maxima de V et sont donc attirées par les NS5-branes, et dans le cas de D1-branes, qui sont

^{‡1}Les autres directions sont plates et ont des champs de fond triviaux.

complètement indifférentes à la présence des NS5-branes et sont des droites. En effet, leur action de Born-Infeld est $\int \sqrt{dX^\mu dX^\mu}$. Pour les D-branes de dimension supérieure, l'analyse est compliquée par la présence du champ F , mais on peut s'attendre à ce qu'elles soient repoussées par les NS5-branes, entre autres effets.

5.3.2 Le cas des D3-branes

La géométrie d'une D3-brane s'étendant le long de 3 des 4 dimensions transverses peut se définir par l'annulation d'une fonction,

$$K(X^\mu) = 0. \quad (5.26)$$

Ainsi, le projecteur sur la D-brane s'écrit

$$P_{\mu\nu} = \delta_{\mu\nu} - \frac{\partial_\mu K \partial_\nu K}{\partial_\rho K \partial_\rho K}. \quad (5.27)$$

Précisons un peu nos conventions pour la contraction des indices. La métrique (5.23) a un facteur V mais nous lèverons les indices avec $\delta_{\mu\nu}$. De même, la métrique induite sur la D3-brane est $V \partial_i X^\mu \partial_j X_\mu$, mais nous lèverons les indices avec $\hat{g}_{ij} = \partial_i X^\mu \partial_j X_\mu$. Nous définissons de plus le tenseur unité complètement antisymétrique ϵ_{ijk} sur la D-brane tel que $\epsilon_{123} = \sqrt{\det \hat{g}}$.

Nous allons maintenant résoudre l'équation du mouvement (5.17) du champ A_i . Cette équation s'écrit explicitement comme suit :

$$\partial_i \sqrt{\det(\hat{g} + \omega)} [(\hat{g} + \omega)^{-1}]^{[j,i]} = 0. \quad (5.28)$$

À trois dimensions, les formes de degré deux sont duales de Hodge aux formes de degré un. Ainsi l'équation précédente équivaut-elle à la fermeture de la forme de degré un $\kappa_i dx^i$ telle que $\sqrt{\det(\hat{g} + \omega)} [(\hat{g} + \omega)^{-1}]^{[j,i]} = \epsilon^{ijk} \kappa_k$. Localement, nous pouvons donc écrire $\kappa_k = \partial_k \varphi$, et la solution générale de l'équation du mouvement du champ A_i est

$$\omega_{ij} = V \epsilon_{ijk} \frac{\partial^k \varphi}{\sqrt{1 - \hat{g}^{mn} \partial_m \varphi \partial_n \varphi}}, \quad (5.29)$$

où φ est une fonction quelconque sur la D-brane.

Cette solution ne satisfait cependant pas $d\omega = \hat{H}$, que nous devons imposer comme une contrainte,

$$\begin{aligned} & \left(P^{\mu\nu} + \frac{P^{\mu\mu'} \partial_{\mu'} \varphi P^{\nu\nu'} \partial_{\nu'} \varphi}{1 - P^{\alpha\beta} \partial_\alpha \varphi \partial_\beta \varphi} \right) \partial_\mu \partial_\nu K - \frac{\partial_\alpha K \partial^\alpha K}{\partial_\alpha K \partial^\alpha \varphi} \left(P^{\mu\nu} + \frac{P^{\mu\mu'} \partial_{\mu'} \varphi P^{\nu\nu'} \partial_{\nu'} \varphi}{1 - P^{\alpha\beta} \partial_\alpha \varphi \partial_\beta \varphi} \right) \partial_\mu \partial_\nu \varphi \\ & + \frac{\sqrt{\partial_\alpha K \partial^\alpha K} \sqrt{1 - P^{\alpha\beta} \partial_\alpha \varphi \partial_\beta \varphi}}{\partial_\alpha K \partial^\alpha \varphi} V^{-1} \partial_\mu V \partial_\mu K - \frac{\partial_\alpha K \partial^\alpha K}{\partial_\alpha K \partial^\alpha \varphi} P^{\mu\nu} V^{-1} \partial_\mu V \partial_\nu \varphi = 0. \end{aligned} \quad (5.30)$$

Cette contrainte porte sur la géométrie de la D3-brane, décrite par la fonction K (et le projecteur $P_{\mu\nu}$ qui en découle), sur la fonction φ qui paramétrise le champ ω sur la D3-brane, et dépend naturellement de l'espace-temps décrit par la fonction V .

Il reste à écrire l'équation du mouvement de X^μ . Avec une équation de Born-Infeld ordinaire, il faudrait commencer par trouver une expression du champ B , ce qui serait très difficile en toute généralité. En revanche, il est possible, au prix de calculs fastidieux mais directs, d'explicitier l'équation de Born-Infeld covariante (5.16),

$$\left(P^{\mu\nu} + \frac{P^{\mu\mu'} \partial_{\mu'} \varphi P^{\nu\nu'} \partial_{\nu'} \varphi}{1 - P^{\alpha\beta} \partial_\alpha \varphi \partial_\beta \varphi} \right) \partial_\mu \partial_\nu K + V^{-1} \partial_\mu V \partial_\mu K - \frac{\sqrt{\partial_\alpha K \partial^\alpha K}}{\sqrt{1 - P^{\alpha\beta} \partial_\alpha \varphi \partial_\beta \varphi}} P^{\mu\nu} V^{-1} \partial_\mu V \partial_\nu \varphi = 0. \quad (5.31)$$

Nous avons donc deux équations aux dérivées partielles du second ordre portant sur les fonctions K et φ . Ces équations ne dépendent que de l'information physique contenue dans ces fonctions : pour la fonction K , la sous-variété $K(X^\mu) = 0$, et pour la fonction φ , sa valeur sur cette sous-variété à une constante près (ainsi, seule la quantité $P^{\mu\nu} \partial_\mu \varphi$ intervient, bien que cela ne soit pas très explicite dans l'équation (5.30)).

Étudions maintenant les supersymétries préservées par notre D3-brane. Nous revenons donc au cadre de la théorie des cordes supersymétrique de type II à $10 = 1 + 9$ dimensions. Nous utiliserons ainsi les notations suivantes : soient ξ un spineur de $SO(1, 9)$, ξ_c son spineur conjugué et $\{\Gamma_0, \dots, \Gamma_9\}$ une famille de matrices vérifiant l'algèbre de Clifford. Nous avons surtout besoin de connaître les supersymétries préservées par notre espace de NS5-branes,

$$\xi = V^{\frac{1}{16}} \xi_0, \quad \xi_0 = \text{cst}, \quad \Gamma_{6789} \xi = -\xi_c. \quad (5.32)$$

Les spineurs préservés par une D3-brane, eux, vérifient l'équation

$$-i \sqrt{\det(1 + \hat{g}^{-1} \omega)} \xi = \Gamma_{0\mu\nu\rho} \epsilon^{ijk} \partial_i X^\mu \partial_j X^\nu \partial_k X^\rho \xi + \Gamma_{0\mu} \epsilon^{ijk} \partial_i X^\mu \omega_{jk} \xi_c, \quad (5.33)$$

où l'on identifie dans le second membre un premier terme «géométrique», et un second terme qui prend en compte la deux-forme invariante de jauge. Cette condition de supersymétrie ne dépend pas de la fonction V , qui décrit l'espace-temps, mais seulement des fonctions K et φ caractéristiques de la D3-brane, et nous allons la résoudre explicitement à l'aide d'un vecteur v^μ défini par

$$v^\mu = \frac{\sqrt{1 - P^{\alpha\beta} \partial_\alpha \varphi \partial_\beta \varphi}}{\sqrt{\partial_\alpha K \partial^\alpha K}} \partial^\mu K + P^{\mu\nu} \partial_\nu \varphi. \quad (5.34)$$

En effet, l'équation (5.33) se réécrit

$$-i\xi = v^\mu \Gamma_{0\mu} \Gamma_{6789} \xi, \quad (5.35)$$

Il s'agit donc de trouver un vecteur propre ξ de la matrice $v^\mu \Gamma_{0\mu} \Gamma_{6789}$ dans la représentation spinorielle, ce qui par invariance de Lorentz ne peut dépendre que de $v_\mu v_\mu$. Or la norme de v^μ vaut 1 pour toutes valeurs de K, φ . Ce vecteur propre existe en fait en chaque point, mais sa direction doit rester constante à cause de la condition de supersymétrie de l'espace-temps, $\xi = V^{\frac{1}{16}} \xi_0$. Donc, la condition de supersymétrie de la D3-brane équivaut à

$$v^\mu = \text{constante}. \quad (5.36)$$

Cette équation nous permet de déterminer $P^{\mu\nu} \partial_\mu \varphi$ en termes de K , et donc d'éliminer φ de nos équations (rappelons que $P^{\mu\nu} \partial_\mu \varphi$ contient toute l'information physique de φ , qui n'est *a priori* définie que sur la D3-brane). Ainsi, nous trouvons une formule pour le champ ω sur la D-brane en fonction de K ,

$$\omega = V \frac{\sqrt{\partial_\alpha K \partial^\alpha K}}{\partial_\beta K v^\beta} \epsilon_{ijk} \partial^k X_\mu v^\mu, \quad v^\mu \text{ constante}, \quad (5.37)$$

et nous pouvons réécrire les équations (5.30,5.31) qui sont maintenant identiques,

$$\begin{aligned} & \left(P^{\mu\nu} + \frac{\partial_\alpha K \partial^\alpha K}{(v^\beta \partial_\beta K)^2} P^{\mu\mu'} v_{\mu'} P^{\nu\nu'} v_{\nu'} \right) \partial_\mu \partial_\nu K + \\ & + \left(\partial^\mu K - \frac{\partial_\alpha K \partial^\alpha K}{v^\beta \partial_\beta K} P^{\mu\mu'} v_{\mu'} \right) V^{-1} \partial_\mu V = 0. \end{aligned} \quad (5.38)$$

Ces résultats peuvent se formuler de la façon suivante : modulo la contrainte $d\omega = \hat{H}$ et l'équation du mouvement du champ A_i sur la D-brane, les équations de Born-Infeld et la condition de supersymétrie sont équivalentes. Autrement dit, la condition de supersymétrie est une intégrale première du système d'équations différentielles du second ordre (5.30,5.31), qui a la propriété d'être indépendante de la fonction V (considérée comme un paramètre).

L'équation aux dérivées partielles (5.38) est en général compliquée à résoudre. Elle ne se réduit à une équation différentielle que dans des cas particuliers, par exemple dans le cas de l'espace créé par des NS5-branes superposées, traité dans [Pel00]. Alors on peut en effet supposer que K ne dépend que de V et de $v_\mu X^\mu$, et (5.38) se réduit à une équation différentielle sur la fonction F telle que $K = 0 \Leftrightarrow V = F(v_\mu X^\mu)$.

Nous allons donc voir comment on peut se faire une idée qualitative des D3-branes physiques, à partir de ces résultats.

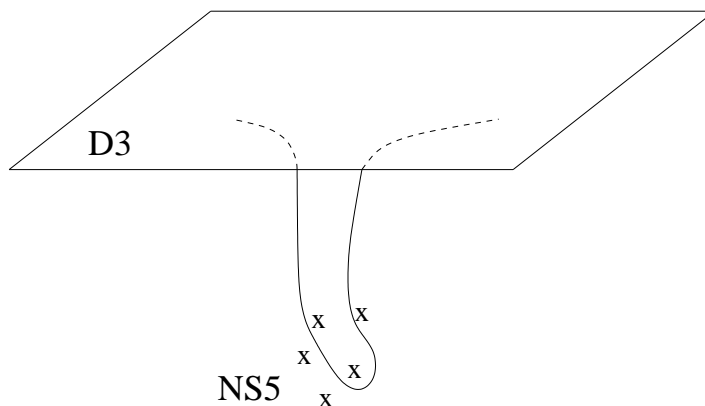


FIG. 5.2 – Une D3-brane se faufile entre les NS5-branes

5.3.3 Le comportement qualitatif des D3-branes

Le résultat déterminant pour le comportement des D3-branes est l'existence du vecteur constant v^μ . Pour bien comprendre son rôle, on peut considérer deux cas prototypiques d'espaces de NS5-branes.

Le premier cas est celui des espaces asymptotiquement plats, $\lim_{r \rightarrow \infty} V = 1$. Alors les D3-branes sont plates à l'infini et leur direction est donnée précisément par v^μ , soit $K = v_\mu X^\mu + O(1)$. Supposons que $V = 1 + O(\frac{1}{r^2})$, ce qui se produit si l'espace est créé par une configuration de NS5-branes toutes situées à distance finie. Dans ce cas, on peut préciser le comportement de K ,

$$K = v_\mu X^\mu \left(1 + \frac{\lambda}{r} + \frac{N_5 g_s \alpha'}{r^2} + O\left(\frac{1}{r^3}\right) \right), \quad (5.39)$$

où la constante λ est indépendante du nombre N_5 de NS5-branes. Elle est cependant quantifiée, par l'argument que nous avons exposé dans le chapitre 2 pour les D-branes contenant des sphères S^2 . En effet, près de l'infini, les tranches d'équations $r = \text{constante}$ sont justement de telles sphères. Si les NS5-branes sont toutes localisées (et non diluées), soit $V = 1 + \sum_{i=1}^{N_5} \frac{g_s \alpha'}{|X^\mu - a_i^\mu|^2}$, alors la D3-brane est entièrement déterminée par sa position à l'infini, plus des paramètres discrets qui mesurent la façon dont elle se faufile entre les NS5-branes. On constate ainsi que la D3-brane est repoussée par les NS5-branes, qu'elle doit contourner (voir la figure 5.3.3).

Le deuxième cas est $SU(2) \times \mathbb{R}_\Phi$, où le deuxième facteur est l'espace à une dimension du dilaton linéaire. Il correspond à $V \propto \frac{1}{r^2}$. Une D3-brane, pour être stable dans cet espace, doit recouvrir la direction du dilaton linéaire, et donc être du type $Br \times \mathbb{R}_\Phi$ où Br est une D2-brane dans $SU(2)$. Nous avons déjà étudié ces D2-branes, qui sont des classes de conjugaison. Elles correspondent à $K = \frac{v_\mu X^\mu}{r}$.

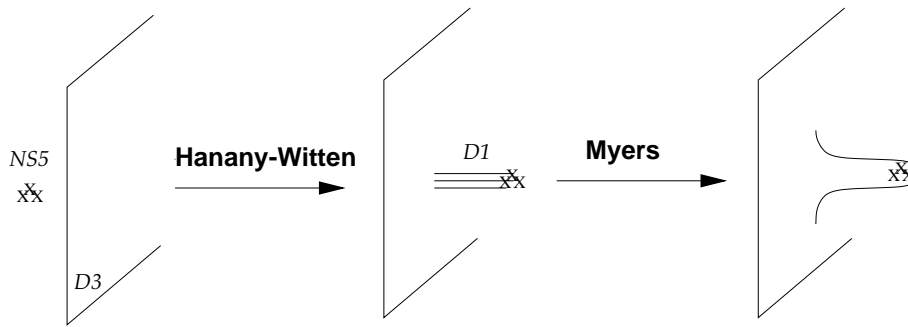


FIG. 5.3 – D1-branes formant un état lié avec la D3-brane qui les a engendrées

Nous voyons donc dans ces deux exemples que v^μ détermine la direction de la D3-brane, dont la géométrie est par ailleurs déterminée par d'autres paramètres, dont au moins un est quantifié. Ce paramètre quantifié est la charge de la D3-brane pour le champ $C^{(2)}$ de Ramond-Ramond.

Les D1-branes sont naturellement aussi chargées pour ce champ $C^{(2)}$ elles aussi, et ce sont des droites dans les espaces de NS5-branes. À toute D3-brane, on peut donc associer un certain nombre de D1-branes, dont la direction est donnée par v^μ . Dans notre deuxième cas prototypique, ces D1-branes sont du type $D0 \times \mathbb{R}_\Phi$. Notre D3-brane peut être considérée comme un état lié de ces D1-branes, car la D2-brane dans $SU(2)$ est un état lié de D0-branes et la direction \mathbb{R}_Φ est spectatrice.

Dans le premier de nos cas prototypique, un tel mécanisme intervient donc vraisemblablement^{‡2} aussi. Il s'agit précisément de la formation d'un état lié entre une D3-brane plate et plusieurs D1-branes qui aboutissent d'un côté sur cette D3-brane, de l'autre sur les NS5-branes. On peut créer de telles D1-branes par l'effet Hanany-Witten (voir la figure 5.3.3). Cependant, la formation de l'état lié n'est possible que si la D3-brane plate n'est pas trop éloignée des NS5-branes.

Nos calculs suggèrent que ces phénomènes peuvent se produire avec toute D3-brane dans tout espace de NS5-branes. En effet, à toute D3-brane nous pouvons associer un ensemble de D1-branes qui portent la même charge pour $C^{(2)}$ et préservent les mêmes supersymétries^{‡3}. Rappelons que le fondement de ce résultat est le haut degré de

^{‡2}Les calculs utilisant l'action de Born-Infeld non-abélienne, qui pourraient permettre de le démontrer, ne semblent pas faciles à effectuer car ils mettent en jeu des D-branes aboutissant sur d'autres D-branes.

^{‡3}Mais, réciproquement, un ensemble de D1-branes parallèles ne forme pas nécessairement un état lié.

supersymétrie des espaces-temps considérés, qui entraîne l'équivalence de la condition de supersymétrie avec les équations de Born-Infeld.

5.4 Des D-branes remarquables

Après avoir résolu ces questions plutôt techniques, nous revenons à un problème abordé au début de ce chapitre : écrire la solution de supergravité correspondant à des NS5-branes disposées en cercle, et étudier les D-branes dans cette configuration. Nous ferons le lien avec les D-branes dans le cigare, et évoquerons des résultats non publiés obtenus en collaboration avec C. Bachas, A. Fotopoulos et M. Petropoulos. Nous n'allons pas discuter en détail de ces résultats, mais plutôt essayer de montrer quelques propriétés remarquables qui font l'intérêt de cette étude.

Rappelons d'abord la géométrie créée par N groupes de k NS5-branes placées sur un cercle de rayon r_0 . Ce rayon sera mesuré en termes de la *longueur de corde* $\ell_s = \sqrt{\alpha'}$. Nous notons x_1, x_2, x_3, x_4 les coordonnées de l'espace transverse, nous omettons la partie parallèle aux NS5-branes qui est un simple $\mathbb{R}^{1,5}$. Le cercle en question a pour équation $x_3^2 + x_4^2 = r_0^2$, $x_1 = x_2 = 0$ et pour coordonnée angulaire ψ . La géométrie de l'espace transverse dépend d'une fonction harmonique V comme dans le paragraphe 5.3.1, qui vaut en l'occurrence [Sfe99]

$$V_{\text{cercle}} = 1 + \frac{kN\ell_s^2}{2r_0\sqrt{x_3^2 + x_4^2}\sinh x}\Lambda_N(x, \psi), \quad (5.40)$$

$$\Lambda_N(x, \psi) = \frac{\sinh Nx}{\cosh Nx - \cos N\psi}, \quad (5.41)$$

$$\cosh x = \frac{x_1^2 + x_2^2 + x_3^2 + x_4^2 + r_0^2}{2r_0\sqrt{x_3^2 + x_4^2}}. \quad (5.42)$$

La limite dans laquelle cet espace est relié au cigare est celle dans laquelle on obtient la «Petite Théorie des Cordes» [GK99],

$$\ell_s, \frac{x_i}{g_s}, \frac{r_0}{g_s} \text{ fixés, } g_s, x_i, r_0 \rightarrow 0. \quad (5.43)$$

Il est alors commode d'introduire des coordonnées

$$\begin{aligned} u_1 + iu_2 &= r_0 \sinh \rho \cos \theta e^{i\tau}, \\ u_3 + iu_4 &= r_0 \cosh \rho \sin \theta e^{i\psi}. \end{aligned} \quad (5.44)$$

La fonction harmonique qui définit l'espace de NS5-branes obtenu dans la limite (5.43) est

$$V_{\text{lim}} = \frac{kN}{\cosh^2 \rho - \sin^2 \theta} \Lambda_N(x, \psi). \quad (5.45)$$

Enfin, si l'on étale les NS5-branes sur le cercle (c'est-à-dire si l'on prend la limite $N \rightarrow \infty$), on peut remplacer la fonction Λ_N par 1 dans les expressions V_{lim} et V_{cercle} . En supposant aussi $k = 1$, on obtient l'espace suivant :

$$\begin{aligned} ds_{\text{étalé}}^2 &= N\ell_s^2 \left[d\rho^2 + d\theta^2 + \frac{\tan^2 \theta d\psi^2 + \tanh^2 \rho d\tau^2}{1 + \tanh^2 \rho \tan^2 \theta} \right] , \\ B_{\tau\psi} &= \frac{N\ell_s^2}{1 + \tanh^2 \rho \tan^2 \theta} , \\ e^{-2\Phi} &= \frac{e^{-2\Phi_0}}{\cos^2 \theta \cosh^2 \rho + \sin^2 \theta \sinh^2 \rho} . \end{aligned} \tag{5.46}$$

Cet espace jouit d'une symétrie $U(1)_\psi \times U(1)_\tau$, et est relié au cigare par la T-dualité le long de ces directions comme nous le verrons. Cependant, cette application de la T-dualité est naïve : le cigare doit en effet être relié aux NS5-branes localisées et non étalées. En fait, on s'attend à ce que l'application de la T-dualité au cigare donne l'espace défini par (5.45) à cause de corrections instantoniques, par un mécanisme similaire à celui de [Ton02]. Mais nous négligerons ces effets, car notre objectif principal est l'étude des D-branes.

Nous allons exprimer la T-dualité au moyen de paramètres T et U du tore (τ, ψ) , définis comme suit :

$$U\ell_s^2 = B_{\tau\psi} + i\sqrt{g_{\tau\tau}g_{\psi\psi}} \quad , \quad T = \frac{g_{\tau\psi} + i\sqrt{g_{\tau\tau}g_{\psi\psi}}}{g_{\tau\tau}} . \tag{5.47}$$

Les T-dualités T^τ et T^ψ seront suivies d'orbifolds dans ces mêmes directions. L'effet des orbifolds est de garder un rayon proportionnel à N pour ces directions, au lieu d'avoir un rayon en $1/N$ qui tende vers zéro quand $N \rightarrow \infty$. Rappelons que la cloche

est de même T-duale à son orbifold.

$$ds_{\text{étalé}}^2 = N\ell_s^2 \left[d\rho^2 + d\theta^2 + \frac{\tan^2 \theta d\psi^2 + \tanh^2 \rho d\tau^2}{1 + \tanh^2 \rho \tan^2 \theta} \right] , \quad B_{\tau\psi} = \frac{N\ell_s^2}{1 + \tanh^2 \rho \tan^2 \theta}$$

$$U\ell_s^2 = N \frac{1 + i \tanh \rho \tan \theta}{1 + \tanh^2 \rho \tan^2 \theta} , \quad T = i \coth \rho \tan \theta$$

$$T^\tau \quad \downarrow \quad \mathbb{Z}_N^\tau$$

$$ds^2 = N\ell_s^2 [d\rho^2 + d\theta^2 + \tan^2 \theta d\tau^2 + \coth^2 \rho (d\tau + d\psi)^2] , \quad B = 0$$

$$U\ell_s^2 = iN \coth \rho \tan \theta , \quad T = \frac{1 + i \tanh \rho \tan \theta}{1 + \tanh^2 \rho \tan^2 \theta}$$

$$T^\psi \quad \downarrow \quad \mathbb{Z}_N^\psi$$

$$ds^2 = N\ell_s^2 [d\rho^2 + d\theta^2 + \tan^2 \theta d\tau^2 + \tanh^2 \rho d\psi^2] , \quad B_{\tau\psi} = -N\ell_s^2$$

$$U\ell_s^2 = N(i \tanh \rho \tan \theta - 1) , \quad T = i \tanh \rho \cot \theta$$

Le résultat est le produit de la cloche et du cigare, avec un champ B constant que l'on peut supprimer par une transformation de jauge.

Nous pouvons suivre des D-branes au cours de ces transformations de T-dualité. En partant du produit de D2-branes dans la cloche et d'une D1-brane passant par le centre du cigare, on obtient ainsi des D3-branes dans la géométrie étalée (5.46). Dans le formalisme de la section précédente, cette famille est définie par des équations $K = \text{constante}$ et par un vecteur v^μ , avec

$$K = \cos \theta \cos(\tau - \tau_0) , \quad v^\mu = (\cos \tau_0, \sin \tau_0, 0, 0). \quad (5.48)$$

Ces D-branes sont donc des états liés de D1-branes orthogonales au plan du cercle des NS5-branes. Elles ont une propriété remarquable vis-à-vis de la troncation $\rho = \text{constante}$. Une tranche $\rho = \text{constante}$ de notre espace est une déformation de $SU(2)$; notre espace rassemble une famille de telles déformations dans une version euclidienne du «changement dynamique de topologie»[KK94], et l'intersection de nos D3-branes avec ces $SU(2)$ déformés donne des D-branes qui sont elles-mêmes des classes de conjugaison S^2 déformées (ces D-branes ont été étudiées dans [For02]).

Il existe d'autres D3-branes, correspondant à des D1-branes vivant dans le plan des NS5-branes et T-duales au produit d'une D2-brane recouvrant le cigare avec une

D1-brane formant un diamètre de la cloche. Les données correspondantes sont

$$K = \cosh \rho \cos(\psi - \psi_0) \quad , \quad v^\mu = (0, 0, \cos \psi_0, \sin \psi_0). \quad (5.49)$$

Il est cette fois naturel de considérer des tranches $\theta = \text{constante}$ de notre espace. Elles forment une famille de déformations de H_3 interpolant entre le cigare et la trompette, et nos D3-branes s'interprètent comme des D-branes dans chaque tranche. On peut aussi les obtenir en prenant la limite (5.43) de D-branes aboutissant sur les NS5-branes disposées en cercle (5.40).

L'espace (5.46), créé par des NS5-branes étalées sur un cercle dans la limite (5.43), fait donc le lien entre différents espaces courbes de la théorie des cordes. Cela permet de considérer une même D3-brane comme une famille de déformations de D-branes connues, un état de la Petite Théorie des Cordes, une D-brane dans le cigare, la limite d'une D-brane aboutissant sur une NS5-brane, ou un état lié de D1-branes. Cette multiplicité des points de vue permettra, je l'espère, d'exploiter toute la puissance de résultats, comme la construction d'états de bord dans le cigare.

Chapitre 6

Conclusion

À l'issue de cette thèse, je voudrais d'abord rappeler et mettre en perspective les principaux résultats obtenus.

D-branes dans les groupes. Les chapitres 2 et 3 ont vu l'utilisation parallèle de méthodes exactes et semi-classiques. La combinaison de ces méthodes nous a permis, à l'issue du chapitre 3, d'écrire le spectre complet des cordes ouvertes entre deux D-branes AdS_2 dans AdS_3 , en partie sous forme de conjecture. Nous avons vu explicitement que le secteur continu du spectre n'est correctement décrit par l'analyse semi-classique que dans la limite $k \rightarrow \infty$, et nous avons argumenté qu'en revanche la partie discrète ne recevait pas de corrections, comme dans le cas compact. La densité d'états du secteur continu de nombre d'enroulement demi-entier est donnée par la quantité $R(j|r, -r)$ que nous avons calculée (3.52).

L'étude des D-branes dans les groupes compacts nous a ainsi plus appris sur la validité des méthodes semi-classiques, que sur la structure de ces D-branes, qui avaient déjà été construites en théorie conforme. Cependant, nous avons découvert au passage une réalisation physique d'idées géométriques dues à Kirillov, sous la forme de l'expression du champ F (2.36). Nous avons aussi trouvé une expression explicite du champ B dans les groupes compacts.

Enfin, rappelons que la cohérence de la construction des D-branes AdS_2 dans une théorie conforme avec bord non rationnelle n'a pas été entièrement démontrée. Il reste beaucoup à faire dans ce domaine, et j'espère que l'analyse précise de l'analyticité des amplitudes de réflexion que j'ai présentée contribuera à la compréhension générale des hypothèses d'analyticité, qui jouent un rôle essentiel en théorie conforme non rationnelle.

D-branes dans $SL(2, \mathbb{R})/U(1)$ et des D3-branes remarquables. Le chapitre 4 présente un panorama général des D-branes dans $SL(2, \mathbb{R})/U(1)$, leur relation avec les D-branes dans $SL(2, \mathbb{R})$, et la construction de certaines d'entre elles. Ces D-branes sont reliées à des D3-branes dans des espaces de NS5-branes, comme on l'a montré au chapitre 5. En quelque sorte, ces D3-branes sont, à l'image des D-branes AdS_2 dans AdS_3 pour les chapitres 2 et 3, les objets qui devraient nous permettre d'effectuer la synthèse des résultats des chapitres 4 et 5.

Ces résultats comprennent une reformulation invariante de jauge de la dynamique de Born-Infeld, basée sur un objet géométrique prenant en compte le champ $H = dB$, la seconde forme fondamentale (5.14). L'invariance de jauge nous a évité d'avoir à expliciter le champ B comme au chapitre 2. Nous y avons gagné en faisabilité des calculs dans le cas général des D3-branes dans les espaces de NS5-branes (mais avons peut-être ainsi manqué l'apparition d'objets remarquables comme la forme F mentionnée ci-dessus), et avons pu montrer l'équivalence des équations de Born-Infeld avec une condition de supersymétrie (5.33). Il serait intéressant de relier l'interprétation en termes d'effet Myers qui en résulte avec la formation d'états liés de D2-branes et de D0-branes dans $SL(2, \mathbb{R})/U(1)$. Cependant, nous n'avons pas encore pu construire ces D0-branes dans $SL(2, \mathbb{R})/U(1)$, car les «miracles» qui simplifiaient le cas de la D2-brane ne se produisent plus dans leur cas. Ces difficultés techniques pourraient être résolues prochainement.

Nous laissons donc ces recherches dans un état certes moins achevé que nos travaux sur les D-branes dans les groupes, mais aussi plus riche de promesses d'applications, par exemple à la Petite Théorie des Cordes, ou à la théorie conforme avec bord non rationnelle correspondant aux déformations de $SU(2)$.

Quelques directions de recherche. L'interprétation des D-branes dans $SL(2, \mathbb{R})/U(1)$ en termes de Petite Théorie des Cordes pourrait trouver un parallèle dans l'interprétation holographique des D-branes dans $SL(2, \mathbb{R})$ en termes de théorie conforme. On sait déjà que les objets correspondants sont les «murs conformes perméables» construits par Bachas, de Boer, Dijkgraaf et Ooguri; il reste à utiliser toute la puissance des constructions exactes que nous avons présentées.

Si l'on arrivait à construire la D0-brane dans $SL(2, \mathbb{R})/U(1)$, on disposerait alors d'une liste complète d'états de bord préservant certaines symétries dans une théorie conforme non rationnelle. On pourrait alors chercher à généraliser la construction de Cardy, qui classe les états de bord symétriques dans les théories conformes rationnelles

en termes de données algébriques comme la matrice S , qui décrit la transformation modulaire des caractères. Il semble qu'on ne puisse pas définir une telle matrice dans le cas non rationnel, et que la transformation modulaire de caractères individuels n'ait pas nécessairement un sens. Cependant, les frères Zamolodchikov ont montré, dans le cadre de la théorie de Liouville sur une pseudosphère, que la construction d'états de bord intéressants découlait des fonctions à trois points et des matrices de fusion mettant en jeu un champ dégénéré. La relation entre la structure de la théorie dans la masse et les D-branes est donc plus compliquée que dans le cas de Cardy. En outre, la construction des frères Zamolodchikov repose sur une auto-dualité particulière à la théorie de Liouville. Dans le cas du cigare, il n'existe qu'une dualité conjecturale avec la théorie de sin-Liouville, dont les conséquences restent à explorer.

La D2-brane dans $SL(2, \mathbb{R})/U(1)$ que nous avons construite «descend» d'une brane H_2 dans $SL(2, \mathbb{R})$, dont on pourrait achever la construction en précisant le rôle des représentations discrètes. Cette brane H_2 est plus précisément une S-brane, ou brane de genre espace. La construction exacte d'un tel objet dans un espace-temps courbe serait très intéressante, dans le but de comprendre le rôle du temps en théorie des cordes. Cette compréhension, du point de vue de la théorie conforme, pourrait reposer sur la construction de la théorie de Liouville dépendant du temps. Celle-ci pourrait servir de base à l'étude des espaces-temps courbes minkowskiens, de même que la théorie de Liouville est la base de la compréhension des espaces-temps courbes euclidiens, y compris H_3 . Un pas intéressant dans ce sens a été fait dans un article tout récent de Schomerus. Cependant, il semble que la rotation de Wick n'ait pas nécessairement de sens dans des théories dépendant réellement du temps. Cela n'est pas très surprenant si l'on considère cette rotation comme l'expression de la symétrie de translation temporelle, qui est bien présente dans le cas d' AdS_3 , mais pas dans celui de la théorie de Liouville.

Références

- [ARS00] Anton Yu. Alekseev, Andreas Recknagel, and Volker Schomerus, *Brane dynamics in background fluxes and non-commutative geometry*, JHEP **05** (2000), 010.
- [AS99] Anton Yu. Alekseev and Volker Schomerus, *D-branes in the wzw model*, Phys. Rev. **D60** (1999), 061901.
- [AS02] Carlo Angelantonj and Augusto Sagnotti, *Open strings*, Phys. Rept. **371** (2002), 1–150.
- [Bac] C. Bachas, *Ads branes and holography*, Strings 2002, <http://www.damtp.cam.ac.uk/strings02/>.
- [Bac02] Constantin Bachas, *Asymptotic symmetries of ads(2) branes*.
- [BBG99] Constantin P. Bachas, Pascal Bain, and Michael B. Green, *Curvature terms in d-brane actions and their m-theory origin*, JHEP **05** (1999), 011.
- [BCZ85] Eric Braaten, Thomas L. Curtright, and Cosmas K. Zachos, *Torsion and geometrostasis in nonlinear sigma models*, Nucl. Phys. **B260** (1985), 630.
- [BdBDO02] C. Bachas, J. de Boer, R. Dijkgraaf, and H. Ooguri, *Permeable conformal walls and holography*, JHEP **06** (2002), 027.
- [BDS00] C. Bachas, Michael R. Douglas, and C. Schweigert, *Flux stabilization of d-branes*, JHEP **05** (2000), 048.
- [BF82] Peter Breitenlohner and Daniel Z. Freedman, *Positive energy in anti-de sitter backgrounds and gauged extended supergravity*, Phys. Lett. **B115** (1982), 197.
- [BP01] C. Bachas and M. Petropoulos, *Anti-de-sitter d-branes*, JHEP **02** (2001), 025.
- [BRS01] Pedro Bordalo, Sylvain Ribault, and Christoph Schweigert, *Flux stabilization in compact groups*, JHEP **10** (2001), 036.
- [Car89] John L. Cardy, *Boundary conditions, fusion rules and the verlinde formula*, Nucl. Phys. **B324** (1989), 581.
- [Cou03] Nicolas Couchoud, *Anti-de sitter branes with new-schwarz and ramond-ramond backgrounds*.
- [CS02] Lorenzo Cornalba and Ricardo Schiappa, *Nonassociative star product deformations for d-brane worldvolumes in curved backgrounds*, Commun. Math. Phys. **225** (2002), 33–66.

- [DVV92] Robbert Dijkgraaf, Herman Verlinde, and Erik Verlinde, *String propagation in a black hole geometry*, Nucl. Phys. **B371** (1992), 269–314.
- [EGK⁺00] Shmuel Elitzur, Amit Giveon, David Kutasov, Eliezer Rabinovici, and Gor Sarkissian, *D-branes in the background of ns fivebranes*, JHEP **08** (2000), 046.
- [FFFS00] Giovanni Felder, Jurg Frohlich, Jurgen Fuchs, and Christoph Schweigert, *The geometry of wzw branes*, J. Geom. Phys. **34** (2000), 162–190.
- [For02] Stefan Forste, *D-branes on a deformation of $su(2)$* , JHEP **02** (2002), 022.
- [FOS94] Jose M. Figueroa-O’Farrill and Sonia Stanciu, *Nonsemisimple sugawara constructions*, Phys. Lett. **B327** (1994), 40–46.
- [FOS00] Jose Miguel Figueroa-O’Farrill and Sonia Stanciu, *More d -branes in the nappi-witten background*, JHEP **01** (2000), 024.
- [Fot01] A. Fotopoulos, *On $(\alpha')^{**2}$ corrections to the d -brane action for non-geodesic world-volume embeddings*, JHEP **09** (2001), 005.
- [Fot03] Angelos Fotopoulos, *Semiclassical description of d -branes in $sl(2)/u(1)$ gauged wzw model*, Class. Quant. Grav. **20** (2003), S465–S472.
- [GK99] Amit Giveon and David Kutasov, *Little string theory in a double scaling limit*, JHEP **10** (1999), 034.
- [GKS01] Amit Giveon, David Kutasov, and Adam Schwimmer, *Comments on d -branes in $ads(3)$* , Nucl. Phys. **B615** (2001), 133–168.
- [GQ92] Paul Ginsparg and Fernando Quevedo, *Strings on curved space-times : Black holes, torsion, and duality*, Nucl. Phys. **B385** (1992), 527–557.
- [GRW02] M. R. Gaberdiel, A. Recknagel, and G. M. T. Watts, *The conformal boundary states for $su(2)$ at level 1*, Nucl. Phys. **B626** (2002), 344–362.
- [GS87] David J. Gross and John H. Sloan, *The quartic effective action for the heterotic string*, Nucl. Phys. **B291** (1987), 41.
- [GTTNB01] Krzysztof Gawedzki, Ivan Todorov, and Pascal Tran-Ngoc-Bich, *Canonical quantization of the boundary wess-zumino-witten model*.
- [GW86] Doron Gepner and Edward Witten, *String theory on group manifolds*, Nucl. Phys. **B278** (1986), 493.
- [HK01] Kentaro Hori and Anton Kapustin, *Duality of the fermionic $2d$ black hole and $n = 2$ liouville theory as mirror symmetry*, JHEP **08** (2001), 045.
- [HPT02] Amihay Hanany, Nikolaos Prezas, and Jan Troost, *The partition function of the two-dimensional black hole conformal field theory*, JHEP **04** (2002), 014.
- [HW97] Amihay Hanany and Edward Witten, *Type iib superstrings, bps monopoles, and three-dimensional gauge dynamics*, Nucl. Phys. **B492** (1997), 152–190.
- [Kir99] A. A. Kirillov, *Merits and demerits of the orbit method*, Bull. Amer. Math. Soc. **36** (1999), 433.

- [KK94] Elias Kiritsis and Costas Kounnas, *Dynamical topology change in string theory*, Phys. Lett. **B331** (1994), 51–62.
- [KKPR03] E. Kiritsis, C. Kounnas, P. M. Petropoulos, and J. Rizos, *Five-brane configurations without a strong coupling regime*, Nucl. Phys. **B652** (2003), 165–195.
- [Lew92] David C. Lewellen, *Sewing constraints for conformal field theories on surfaces with boundaries*, Nucl. Phys. **B372** (1992), 654–682.
- [LOP02] Peter Lee, Hiroshi Ooguri, and Jong-won Park, *Boundary states for $ads(2)$ branes in $ads(3)$* , Nucl. Phys. **B632** (2002), 283–302.
- [LOPT01] Peter Lee, Hiroshi Ooguri, Jong won Park, and Jonathan Tannenhauer, *Open strings on $ads(2)$ branes*, Nucl. Phys. **B610** (2001), 3–48.
- [MMS01] Juan M. Maldacena, Gregory W. Moore, and Nathan Seiberg, *Geometrical interpretation of d -branes in gauged wzw models*, JHEP **07** (2001), 046.
- [MO01] Juan M. Maldacena and Hiroshi Ooguri, *Strings in $ads(3)$ and $sl(2,r)$ wzw model. i*, J. Math. Phys. **42** (2001), 2929–2960.
- [MO02] ———, *Strings in $ads(3)$ and the $sl(2,r)$ wzw model. iii : Correlation functions*, Phys. Rev. **D65** (2002), 106006.
- [MOS01] Juan M. Maldacena, Hiroshi Ooguri, and John Son, *Strings in $ads(3)$ and the $sl(2,r)$ wzw model. ii : Euclidean black hole*, J. Math. Phys. **42** (2001), 2961–2977.
- [Mye99] Robert C. Myers, *Dielectric-branes*, JHEP **12** (1999), 022.
- [OV96] Hiroshi Ooguri and Cumrun Vafa, *Two-dimensional black hole and singularities of cy manifolds*, Nucl. Phys. **B463** (1996), 55–72.
- [Pel00] Oskar Pelc, *On the quantization constraints for a $d3$ brane in the geometry of $ns5$ branes*, JHEP **08** (2000), 030.
- [Pet99] P. Marios Petropoulos, *String theory on $ads(3)$: Some open questions*.
- [Pol98] J. Polchinski, *String theory*, Cambridge University Press, 1998.
- [Pon02] Benedicte Ponsot, *Monodromy of solutions of the knizhnik-zamolodchikov equation : $Sl(2,c)/su(2)$ $wznw$ model*, Nucl. Phys. **B642** (2002), 114–138.
- [PR01] P. M. Petropoulos and S. Ribault, *Some remarks on anti-de sitter d -branes*, JHEP **07** (2001), 036.
- [PS03] Benedicte Ponsot and Sebastian Silva, *Are there really any $ads(2)$ branes in the euclidean (or not) $ads(3)$?*, Phys. Lett. **B551** (2003), 173–177.
- [PSS96] G. Pradisi, A. Sagnotti, and Ya. S. Stanev, *Completeness conditions for boundary operators in $2d$ conformal field theory*, Phys. Lett. **B381** (1996), 97–104.
- [PST02] B. Ponsot, V. Schomerus, and J. Teschner, *Branes in the euclidean $ads(3)$* , JHEP **02** (2002), 016.
- [QS03] Thomas Quella and Volker Schomerus, *Asymmetric cosets*, JHEP **02** (2003), 030.

- [Rib02] Sylvain Ribault, *Ads(2) d-branes in ads(3) spacetime*.
- [Rib03a] ———, *D3-branes in ns5-branes backgrounds*, JHEP **02** (2003), 044.
- [Rib03b] ———, *Two ads(2) branes in the euclidean ads(3)*, JHEP **05** (2003), 003.
- [Sch02] Volker Schomerus, *Lectures on branes in curved backgrounds*, Class. Quant. Grav. **19** (2002), 5781–5847.
- [Sfe99] Konstadinos Sfetsos, *Branes for higgs phases and exact conformal field theories*, JHEP **01** (1999), 015.
- [ST02] Kostas Skenderis and Marika Taylor, *Branes in ads and pp-wave spacetimes*, JHEP **06** (2002), 025.
- [Sta00] Sonia Stanciu, *A note on d-branes in group manifolds : Flux quantization and d0-charge*, JHEP **10** (2000), 015.
- [Sta01] ———, *An illustrated guide to d-branes in su(3)*.
- [SW99] Nathan Seiberg and Edward Witten, *String theory and noncommutative geometry*, JHEP **09** (1999), 032.
- [Tes99] J. Teschner, *On structure constants and fusion rules in the sl(2,c)/su(2) wznw model*, Nucl. Phys. **B546** (1999), 390–422.
- [Tes00] ———, *Operator product expansion and factorization in the h-3+ wznw model*, Nucl. Phys. **B571** (2000), 555–582.
- [Tes01a] ———, *Crossing symmetry in the h(3)+ wznw model*, Phys. Lett. **B521** (2001), 127–132.
- [Tes01b] ———, *Liouville theory revisited*, Class. Quant. Grav. **18** (2001), R153–R222.
- [Ton02] David Tong, *Ns5-branes, t-duality and worldsheet instantons*, JHEP **07** (2002), 013.
- [Ton03] ———, *Mirror mirror on the wall : On two-dimensional black holes and liouville theory*.

Résumé

Cette thèse est consacrée à l'étude et à la construction de D-branes dans certains espaces-temps courbes de la théorie des cordes. D'une part, ces objets sont décrits de façon géométrique, comme des sous-variétés soumises à la dynamique effective de Born-Infeld. D'autre part, ils peuvent être construits de manière exacte dans la théorie conforme avec bord.

Nous utilisons et comparons ces deux approches, en y apportant des améliorations techniques comme l'écriture invariante de jauge de la dynamique de Born-Infeld, et la formulation de critères d'analyticité précis pour la densité de cordes ouvertes sur certaines D-branes.

Nos résultats comprennent la description effective des D-branes symétriques dans les groupes compacts, la détermination du spectre complet des cordes ouvertes des D-branes AdS_2 dans AdS_3 , la construction exacte de D-branes dans le «cigare» $SL(2, \mathbb{R})/U(1)$, et la description géométrique de l'ensemble des D3-branes dans des espaces-temps créés par des NS5-branes.

Abstract

This thesis is devoted to the construction and study of D-branes in some curved space-times in string theory. On the one hand, those D-branes are described geometrically as submanifolds subject to Born-Infeld effective dynamics. On the other hand, they can be built microscopically using boundary conformal field theory.

We use and compare those two approaches. We also improve them technically : we rewrite Born-Infeld dynamics in a gauge-invariant way, and formulate precise analyticity requirements for the density of open strings on certain D-branes.

Our results include the effective description of symmetric D-branes in compact groups, the determination of the complete spectrum of open strings on AdS_2 D-branes in AdS_3 , the exact construction of some D-branes in the cigar $SL(2, \mathbb{R})/U(1)$, and a geometric description of all D3-branes in NS5-brane backgrounds.